

# جامعة الجزائر 3

# كلية العلوم الاقتصادية والعلوم التجارية وعلوم التسيير قسم العلوم الاقتصادية

مطبوعة موجهة لطلبة السنة الثانية ماستر علوم اقتصادية تخصص: تحليل اقتصادي واستشراف

# طرق التنبؤ

من إعداد: د.موهوني مليكة أستاذة محاضرة أ

السنة الجامعية 2021 -2021

f	المقدمةالمقدمة
الخطي	الفصل الأول: أشكال دوال الانحدار الخطي وغير
2	عهيدعهيد
2	ما هو تحليل الانحدار؟
2	الانحدار الخطي
3	تقدير معالم نموذج الانحدار الخطي
4	الانحدار غير الخطي
4	النماذج اللوغاريتمية المزدوجة: Double-log
5	مثال تطبيقي
	النماذج اللوغاريتمية — الخطية Log-lin
	مثال تطبيقيمثال تطبيقي
	نموذج Lin-log
	مثال تطبيقيمثال تطبيقي
10	النماذج المعكوسة Reciprocal models
	مثال تطبيقيمثال تطبيقي
	نماذج الانحدار كثيرات الحدود Polynomial regression models
12	مثال تطبيقيمثال تطبيقي
الها	الفصل الثاني: المعادلات الآنية وطرق استخدام
15	تمهيد
15	بعض الأمثلة عن نماذج المعادلات الآنية
16	النموذج العام
18	الصيغة الهيكلية والصيغة المختصرة

مشكل التعريف أو التحديد: Le problème de l'identification
شروط التعريف أو التحديد: Les conditions d'identification
طرق تقدير نموذج المعادلات الآنية
طريقة المربعات الصغرى غير المباشرة (MCI)طريقة المربعات الصغرى غير المباشرة
طريقة المربعات الصغرى المضاعفة (DMC)
طريقة المربعات الصغرى الثلاثية (TMC)
تطبيقات
نموذج الاقتصاد الكلي لكينز
غوذج كلاين Klein نموذج كلاين
الفصل الثالث: منهجية بوكس-جينكينز للأجل القصير
عهيد
السلاسل الزمنية المستقرة والغير مستقرة
مفهوم السلسلة الزمنية المستقرة
أهمية السلسلة الزمنية المستقرة
أنواع السلاسل الزمنية الغير المستقرة
اختبارات الاستقرارية
منهجية بوكس–جينكينز
النماذج اللاموسمية
النماذج الموسمية
مراحل تطبيق طريقة بوكس جينكينز
المرحلة الأولى: التشخيص
الم حلة الثانية: مرحلة التقدر Estimation

شخيصي Diagnostic شخيصي	المرحلة الثالثة: مرحلة الفحص الت
42 Prévisi	المرحلة الرابعة: مرحلة التنبؤ. ion
على معطيات اقتصادية	نطبيق طريقة بوكس- جنكينز
لرابع: نموذج الانحدار الذاتي المتجه VAR	الفصل
74	عهيد
74	الشكل العام
76v	إيجابيات وسلبيات نماذج AR/
ية	فاذج VAR واختبارات السبب
	ختبار جرانجر Granger للسببي
79	ختبار سببية Sims
80	مثال تطبيقي
81	ديناميكية نموذج VAR
81vm.	كتابة نموذج VAR على شكل A
82Impulse Response Fonction A	
83Variance	نفكيك التباين Décomposition
84	مثال تطبيقي
لانحدار ا <b>لذاتي V</b> AR	خطوات نمذجة نماذج شعاع ال
86	ختبارات قبلية
87	اختبارات بعدية
88	مثال تطبيقي
99 102	

#### المقدمة

يهدف التحليل الاقتصادي إلى البحث في العلاقات التابعية بين الظواهر؛ أي البحث في العلاقات السببية بين الظواهر الاقتصادية، ويعمل على إرجاع الظاهرة الاقتصادية إلى عناصرها الأساسية التي يمكن فهمها أكثر من فهم الظاهرة ككل، ومن ثم صياغة فرضية تفسير هذه الظاهرة على أساس العلاقة السببية.

تساعد الطرق الكمية على تحليل ونمذجة مختلف الظواهر الاقتصادية الواقعية تحليلا كميا، وذلك باستخدام أساليب الاستقراء الإحصائي المناسبة، بمدف التنبؤ واتخاذ القرارات الإستراتيجية ورسم السياسات الاقتصادية.

حرصنا عند إعداد هذه المطبوعة لتغطية مقرر "طرق التنبؤ" على أن تكون موضوعاتها مبسطة ومختصرة ومدعمة بأمثلة اقتصادية، اعتمادا على البرنامج المقرر لطلبة السنة الثانية ماستر في كلية الاقتصاد، تخصص تحليل اقتصادي واستشراف، حيث اعتمدنا في إعدادها على العديد من المراجع العالمية المذكورة فيها.

وقد تم عرض تلك الموضوعات ضمن أربعة فصول وهي:

- الفصل الأول: أشكال دوال الانحدار الخطى وغير الخطى.
  - الفصل الثاني: المعادلات الآنية وطرق استخدامها
  - الفصل الثالث: المعادلات الآنية وطرق استخدامها
  - الفصل الرابع: نموذج الانحدار الذاتي المتجه VAR

نأمل أن نكون قد وفقنا في عرض هذه الفصول، كما نأمل من القراء الكرام أن يوافونا بأية ملاحظة قد تكون مفيدة لنا.

# الفصل الأول:

أشكال دوال الانحدار الخطي وغير الخطي

#### تمهيد

يعتبر تحليل الانحدار من الموضوعات الهامة التي لا غنى عنها للباحثين في المجالات العلمية المختلفة ومن ثم فإنه يتعين على المهتمين ببناء النماذج الاقتصادية الإلمام الكافي بالفرضيات التي يجب توافرها في حالة تقدير نماذج الانحدار الخطية باستخدام طريقة المربعات الصغرى، حيث أن إغفال فرض أو أكثر من هذه الفروض يترتب عليه أخطاء في تقدير المعالم ودرجة معنوياتها، وتكون التوقعات متحيزة. ومن ناحية أخرى فعندما لا يكون النموذج المراد تقديره خطية فإننا نكون بحاجة إلى التعرف على الطرق المختلفة لتقدير معالم العلاقات الغير الخطى.

سنتطرق في هذا الفصل إلى أشكال الانحدار الخطية وغير الخطية وبالأخص النماذج الخطية في المعلمات ولكن ليست بالضرورة خطية في المتغيرات<sup>1</sup>، و ونوضح كيفية التعامل معها، وقبل هذا ارتأينا أن نقدم أولا مفهوما لتحليل الانحدار.

### ما هو تحليل الانحدار؟

تحليل الانحدار يهتم بوصف وتقييم العلاقة بين متغير ( عادة يسمى المتغير التابع) وواحد أو أكثر لمتغيرات أخرى ( تسمى عادة المتغيرات المفسرة أو المتغيرات المفسرة ب $X_{\rm n}...X_2$  .

فبصفة عامة تنقسم نماذج الانحدار إلى قسمين، نماذج الانحدار البسيط ونماذج الانحدار المتعدد. بالنسبة لنموذج الانحدار البسيط فهو عبارة عن نموذج يتكون من متغير مستقل واحد قد يكون هذا النموذج خطيًا إذا كانت العلاقة بين المتغيرين المدروسين معبر عنها في شكل معادلة خط مستقيم، ويكون غير خطي إذا كانت العلاقة من نوع اخر. أما نموذج الانحدار المتعدد هو الذي يتكون من أكثر من متغير مستقل يكون نموذج الانحدار المتعدد بدوره خطيًا أو غير خطي ، وقبل تقدير العلاقة بين المتغير التابع والمتغير المستقل أو ( المتغيرات المستقلة)، يجب أولا البحث عن أنسب الصيغ الرياضية التي تعبر عن هذه العلاقة تعبيراً دقيقاً.

## الانحدار الخطى

يكتب الشكل العام لنموذج الانحدار الخطى على النحو التالي:

$$Y_t = \beta_0 + \beta_1 X_1 + \dots + \beta_k X_k + \mu_t \dots (1), t = 1, \dots n$$

والذي يكتب على الشكل المصفوفي كما يلي:

$$Y = X\beta + \mu$$

3

<sup>1</sup> هناك حالات قد تضطر فيها إلى دراسة نماذج الانحدار التي لا تكون خطية في المعلمات، لمعلومات أكثر أنظر كتاب:

Gujarati Damodar, Traduction de la 4ème édition américaine par Bernier Bernard, Econométrie, édition de Boeck, 1<sup>ére</sup> édition, Bruxelles, Belgique, 2004, Chapitre 14, p563.

حيث:

Y: شعاع عمودي ذو البعد  $(n \times 1)$ ، يعرف بالمتغير التابع، X: مصفوفة أبعادها  $(n \times k + 1)$  تحتوي على مشاهدات المتغيرات المستقلة يحتوي عمودها الأول على قيم الواحد الصحيح ليمثل الحد الثابت، B: شعاع عمودي أبعاده  $(k+1\times 1)$  يحتوي على المعلمات المراد تقديرها، هذا الشعاع يحوي على الحد الثابت  $\beta_0$  و معاملات الميل أبعاده  $(k+1\times 1)$  يشعاع الأخطاء أبعاده  $(n \times 1)$ ، الذي يشمل كل المتغيرات التي لا يمكن إدراجها في النموذج لعدم توفر البيانات أو خطأ القياس في البيانات.

بشكل عام المتغيرة Y يفترض أن تكون عشوائية، يمكن قياسها بأربعة مقاييس مختلفة: مقياس النسبة، مقياس الفترة، المقياس الترتيبي، المقياس الوصفي. أما المتغيرات المستقلة فيمكن هي أيضا قياسها بهذه المقاييس، غير أنه في العديد من التطبيقات يتم قياسها بمقاييس النسبة أو الفترة. في النموذج القياسي نفرض أن المتغيرات غير عشوائية، بمعنى أن قيمها ثابتة.

بالنسبة لمعاملات الانحدار، يفترض أن تكون أرقاما ثابتة وليست عشوائية، على الرغم من أننا لا نعرف قيمها الفعلية، بل يتم تقديرها.

### تقدير معالم نموذج الانحدار الخطي

توجد عدة طرق لتقدير نماذج الانحدار الخطي من بينها طريقة المربعات الصغرى(OLS) وطريقة المعقولية العظمى (ML)، وتعتبر طريقة (OLS) الطريقة الشائعة للتقدير التي تعتمد على تصغير مجموع مربعات البواقي، وتستند على مجموعة من الفرضيات الأساسية والمتمثلة فيما يلي :

- ،  $E(\mu)=0$  القيمة المتوقعة للخطأ العشوائي يساوي الصفر  $\checkmark$
- $\checkmark$  ثبات تباين المتغيرات العشوائية أي: $E(\mu\mu')=\delta^2 I$  ، وهي فرضية تجانس التباين لمختلف الحدود العشوائية وهذا كفيل بإبعاد الحالة التي تكون فيها الأخطاء تتبع تغيرات قيم المتغيرات المفسرة.
  - $cov(\mu_i,\mu_j)=0 \ \ \forall \ i \neq j$  عدم ارتباط الأخطاء:
- رتبة المصفوفة X هي k وعدد المشاهدات هي n ومنه يجب أن يكون عدد المعلمات المطلوب تقديرها أقل من عدد المشاهدات وهي الحالة التي تلغى الارتباط الخطى للمتغيرات المفسرة.

وبتحقق هذه الفرضيات، توفر لنا هذه الطريقة تقديرات لمعلمات الانحدار التي تحتوي على الخصائص الإحصائية التالية:

- ✓ المقدرات خطية أي أنها دوال خطية في المتغير التابع Y.
- ✓ غير متحيزة وذات أقل تباين ما يجعلها مقدرات كفؤة Efficient estimator.

✓ باختصار مقدرات طریقة المربعات الصغری أفضل مقدرات خطیة غیر متحیزة ( Best Linear ( BLUE ) . Unbiased Estimator

# الانحدار غير الخطى

سنناقش في هذا العنصر بعض النماذج غير الخطية في المتغيرات ولكنها خطية في المعلمات من بين هذه النماذج نذكر منها:

- ✓ النماذج اللوغاريتمية المزدوجة،
  - ✓ نماذج من نوع Log-lin،
  - ✓ نماذج من نوع lin-Log،
    - ٧ النماذج المعكوسة،
- ✓ نماذج الانحدار كثيرات الحدود،
- √ نموذج Log-lin ذو متغير اتجاه تربيعي.

وسنحاول توضيحها من خلال بعض الأمثلة.

### 1. النماذج اللوغاريتمية المزدوجة: Double-log

نأخذ مثالا عن دالة كوب دوغلاس Cobb-Douglas التي تربط بين الإنتاج وعوامله، والتي تعطى بالعلاقة التالية:

$$Q_{t} = \beta_{0} L_{t}^{\beta_{1}} K_{t}^{\beta_{2}} \varepsilon_{t} \dots \dots (2)$$

-حيث:  $Q_t$ : يمثل الإنتاج عند الفترة K، t متغيرة رأس المال و L: متغيرة العمل.

هذا النموذج غير خطي في المعلمات، وتقديره يتطلب تقنيات تقدير غير خطية، غير أنه إذا أخذنا لوغاريتم هذه الدالة فإننا نحصل على الصيغة التالية:

$$lnQ_{t} = A + \beta_{1}lnL_{t} + \beta_{2}lnK_{t} + ln\varepsilon_{t} ... ... (3)$$

 $A = \ln \beta_0$  و مثل اللوغاريتم الطبيعي، و In عثل اللوغاريتم

هذه المعادلة خطية في المعلمات وبالتالي معادلة خطية على الرغم من أنما غير خطية في المتغيرات.

تعرف المعادلة (3) بالنموذج اللوغاريتمي اللوغاريتمي log-log أو اللوغاريتمي المزدوج Double log أو اللوغاريتمي الخطي log-log أو بنموذج ذو مرونة ثابتة Constant elasticity model² لأن كل من المتغير التابع والمتغيرات المستقلة في شكل لوغاريتمي.

5

<sup>&</sup>lt;sup>2</sup> Gujarati Damodar, Econometrics by example, Second Edition, New York, USA, 2015 P 29.

الخاصية الأساسية لهذه النماذج، أن معاملات الانحدار يمكن تفسيرها على أنها مرونات. فالمتغيرة  $\beta_1$  مثلا تمثل المرونة الجزئية للإنتاج فيما يتعلق بمدخلات العمل، مع الإبقاء على جميع الأخرى ثابتة (متغيرة رأس المال)، نفس التفسير بالنسبة للمتغيرة  $\beta_2$  التي تمثل المرونة الجزئية للإنتاج فيما يتعلق بمدخلات رأس المال، مع الإبقاء على جميع الأخرى ثابتة (متغيرة العمل).

بما أن هذه المرونات تكون ثابتة على طول سلسلة المشاهدات فغن هذا النموذج يعرف أيضا بنموذج المرونة الثابتة.

خاصية أخرى لدالة Cobb-Douglas هي أن مجموع معاملات الميل الجزئية  $(\beta_1+\beta_2)$  يعطي معلومات حول العوائد إلى الحجم أي استجابة المخرجات للتغير النسبي في المدخلات فإذا كان:

- بنفس بنفس زيادة المخلات بقيمة معينة سيؤدي إلى زيادة المخلات بنفس  $eta_1+eta_2=1$  بنفس القيمة.
- يودة أقل في نادة المخلات بقيمة معينة سيؤدي إلى زيادة أقل في  $eta_1+eta_2<1$  الإنتاج.
- نيادة أكثر في المخلات بقيمة معينة سيؤدي إلى زيادة أكثر في  $(\beta_1+\beta_2)$  بيادة أكثر في الإنتاج.

مثال تطبيقي: لتوضيح طريقة تقدير دالة الإنتاج Cobb-Douglas، نقدم في الجدول التالي بيانات (بآلاف الدولارات) عن الإنتاج Q، رأس المال K والعمالة L ل 25 مؤسسة:

المؤسسة	1	2	3	4	5	6	7
K	8	9	4	2	6	6	3
L	23	14	38	97	11	43	93
Q	106	81,08	72,8	57,34	66,79	98,23	82,68
المؤسسة	8	9	10	11	12	13	14
K	6	8	8	4	8	3	6
${f L}$	49	36	43	61	31	57	97
Q	99,77	110	118,93	95,05	112,83	64,54	137,22
المؤسسة	15	16	17	18	19	20	21
K	4	2	3	3	9	3	1
L	93	72	61	97	89	25	81
Q	86,17	56,25	81,1	65,23	149,56	65,43	36,06
المؤسسة	22	23	24	25			
K	4	2	3	6			
${f L}$	11	64	10	71			
Q	56,92	49,59	43,21	121,24			

و نرید:

- تقدير الدالة،
- إعطاء تحليل اقتصادي للمعالم،
  - معلومة حول عوائد الإنتاج.

دالة الإنتاج لـ Cobb-Douglas تعطى حسب العلاقة (2)، وحتى نتمكن من تقديرها بطريقة ols يجب تحويلها إلى الشكل الخطى بالصيغة التالى:

$$lnQ_{t} = A + \beta_{1}lnL_{t} + \beta_{2}lnK_{t} + ln\varepsilon_{t} ... ... (3)$$

 $A=\ln eta_0$  حيث:  $\ln$  يمثل اللوغاريتم الطبيعي، و

بالاستعانة بمبرمج Eviews10، ولتقدير المعلمات نضغط على:

Quick  $\rightarrow$  Estimate equation  $\rightarrow$ 

وفي الخانة: Equation Specification نكتب المعادلة التالية:

 $\log(Q) c \log(L) \log(K)$ 

ثم نضغط على ok تظهر لنا النتائج التالية:

Dependent Variable: LOG(Q) Method: Least Squares Date: 06/19/22 Time: 09:59

Sample: 125

Included observations: 25

Variable	Coefficient	Std. Error	t-Statistic	Prob.
C LOG(L) LOG(K)	2.481079 0.257335 0.640111	0.128619 0.026959 0.034731	19.29016 9.545404 18.43063	0.0000 0.0000 0.0000
R-squared Adjusted R-squared S.E. of regression Sum squared resid Log likelihood F-statistic Prob(F-statistic)	0.941558 0.936245 0.092223 0.187112 25.71306 177.2195 0.000000	Mean dependent var S.D. dependent var Akaike info criterion Schwarz criterion Hannan-Quinn criter. Durbin-Watson stat		4.375734 0.365243 -1.817045 -1.670780 -1.776477 2.544657

### تفسير النتائج

Durbin-Watson لا تكون مفيدة دائما في البيانات المقطعية، ففي بعض الأحيان تدل على أخطاء في توصيف النموذج $^{3}$ .

تكتب دالة الإنتاج المقدرة بالصيغة التالية:

$$\hat{Q}_{t} = 11,94L_{t}^{0,257}K_{t}^{0,6401}$$

$$\beta_0 = e^{2,4810} = 11,94$$

معامل InL حوالي 0,26، أي زيادة مدخلات العمل بنسبة 1%، فان الناتج يرتفع بنسبة 0,26، مع الإبقاء على مدخلات رأس المال ثابتة، وبالمثل مع الإبقاء على مدخلات العمل ثابتة، زيادة مدخلات رأس المال بنسبة على مدخلات رأس المال تساهم بنسبة أكبر من الزيادة في مدخلات العمالة.

بالنسبة لعوائد الإنتاج هل هي ثابتة أم لا، نختبر الفرضية التالية:

$$\begin{cases} H_0: \beta_1 + \beta_2 = 1 \\ H_1: \beta_1 + \beta_2 < 1 \end{cases}$$

نحسب إحصائية ستودنت التالية:

$$T_{\rm C} = \frac{\widehat{\beta}_1 + \widehat{\beta}_2 - 1}{\sqrt{V(\widehat{\beta}_1 + \widehat{\beta}_1)}}$$

$$V(\hat{\beta}_1 + \hat{\beta}_1) = V(\hat{\beta}_1) + V(\hat{\beta}_2) + 2COV(\hat{\beta}_1, \hat{\beta}_2)$$

يمكننا استخراج مصفوفة التباينات والتباينات المشتركة للمعلمتين من المبرمج وهذا بإتباع الخطوات التالية:

 $View \rightarrow Covariance\ matrix$ 

	С	LOG(L)	LOG(K)
С	0.01654282	-0.0031866	-0.0028694
LOG(L)	-0.0031866	0.00072679	0.00030010
LOG(K)	-0.0028694	0.00030010	0.00120623

ومنه:

$$V(\hat{\beta}_1 + \hat{\beta}_1) = 0.00072679 + 0.00120623 + 2 \times 0.00030010 = 0.02449$$

$$T_{\rm C} = \frac{0.64 + 0.25 - 1}{\sqrt{0.024}} = -4.49$$

بمقارنة هذه القيمة مع القيمة المجدولة لستودنت  $T_{22}^{0.05}=T_{22}^{0.05}$ ، نرفض الفرضي المعدومة وبالتالي هذه الدالة  $T_{22}^{0.05}=T_{22}^{0.05}$ ، تتتميز بعوائد الحجم متناقصة.

\_

<sup>&</sup>lt;sup>3</sup> Idem, P 31.

### 2. النماذج اللوغاريتمية - الخطية Log-lin

تسمى أيضا بنماذج النمو Growth models، وقد تم صاغتها لقياس معدل نمو متغير اقتصادي، نظرا للأهمية الكبيرة لهذه المواضيع، من بين هذه النماذج نأخذ مثال للنموذج الذي يقيس معدل نمو الناتج الداخلي الخام GDP خلال فترة مثلا من 1960 إلى غاية 2018 والذي يكتب بالصيغة التالية:

$$GDP_{t} = GDP_{1960}(1 + r)^{t} \varepsilon_{t} \dots (4)$$

حيث: 1 يمثل معدل النمو.

المعادلة (4) هي معادلة الفائدة المركبة المعروفة في مبادئ التمويل. ندخل اللوغاريتم على طرفي المعادلة ونتحصل على الصيغة التالية:

$$lnGDP_{t} = lnGDP_{1960} + tln(1 + r) + ln\varepsilon_{t}$$

وللتبسيط نكتبها على الشكل التالي:

$$lnGDP_{t} = \beta_{0} + \beta_{1}t + \mu_{t} \dots \dots (5)$$

المعادلة (5) تمثل نموذج انحدار خطي حيث المتغيرة المستقلة هنا تمثل الزمن t الذي يأخذ القيم 5,...,5، والذي يسمى بنموذج شبه لوغاريتمي لأن متغير واحد فقط (المتغير التابع) يظهر في شكل لوغاريتمي، بينما المتغير المستقل (الزمن) هو في الشكل الخطي.

المعامل  $eta_1$  هنا يقيس التناسب الثابت أو التغير النسبي في المتغير التابع عند تغير في المتغير المستقل:

$$eta_1 = rac{\mathit{GDP}_{\mathsf{Nisin}}$$
 التغير المطلق في المتغير المطلق في المتغير المطلق التغير المطلق في المتغير المتغير

نسبة النمو تحسب بضرب  $oldsymbol{eta}_1$  في 100، والتي تعرف أيضا باسم شبه المرونة للمتغير التابع فيما يتعلق بالمتغير المستقل.

# مثال تطبيقي

باستخدام البيانات على الناتج المحلي الإجمالي الحقيقي للجزائر خلال الفترة الممتدة من سنة 1991 إلى غاية 2020 نقدر النموذج الموضح في المعادلة 5، نتبع نفس خطوات التقدير السابقة إلا أن في الخانة: Equation Specification

ok غ نضغط log(Q) @Trend

ونتحصل على جدول المخرجات التالي:

Dependent Variable: LOG(PIB) Method: Least Squares Date: 06/19/22 Time: 15:37 Sample: 1 29 Included observations: 29						
Variable	Coefficient	Std. Error	t-Statistic	Prob.		
C @TREND	8.021939 0.033291	0.013897 0.000852	577.2417 39.07072	0.0000 0.0000		
R-squared Adjusted R-squared S.E. of regression Sum squared resid Log likelihood F-statistic Prob(F-statistic)	0.982620 0.981976 0.038391 0.039794 54.42501 1526.522 0.000000	Mean dependent var S.D. dependent var Akaike info criterion Schwarz criterion Hannan-Quinn criter. Durbin-Watson stat		8.488019 0.285962 -3.615518 -3.521221 -3.585985 0.293787		

بينت النتائج أنه من خلال فترة الدراسة، ارتفع PIB الحقيقي في الجزائر بمعدل 3,33% سنويا، معدل النمو هذا معنوى إحصائيا ( prob<0.05 ).

بالنسبة للثابت C: إذا أخذنا اللوغاريتم العكسى للقيمة 8,021939 سوف نتحصل على 3047,08، والتي تمثل القيمة الأولى لـ PIB لسنة 1991. كانت القيمة الفعلية لـ PIB لعام 1991 حوالي 3370,54مليار دولار.

يعطى المعامل  $\beta_1$  معدل النمو عند كل فترة زمنية معينة (معدل نقطى)، ولحساب معدل النمو على مدى فترة من الزمن والذي رمزنا له في المعادلة بـ 1 لدينا:

$$\hat{\beta}_1 = \ln(1+r) \Rightarrow r = e^{\hat{\beta}_1} - 1 = 0.03385 \approx 3.4\%$$

وهو تقريبا يساوي معدل النمو الحظي.

### 3. نموذج Lin-log

إذا كان الهدف هو قياس التغير المطلق في المتغير التابع بسبب التغير النسبي في المتغير المستقل فيمكننا تقدير النموذج التالي:

$$Y_t = \beta_1 + \beta_2 \ln X_t + u_t \dots (6)$$

تسمى المعادلة (6)نموذج  $\lim -\log$ . يمثل  $eta_2$  التغير في  $Y_{
m t}$  عندما يتغير المتقل بمقدار وحدة واحدة.

$$\beta_2 = \frac{\Delta Y}{\Delta \ln X} = \frac{\Delta Y}{\Delta X/X}$$

$$\Delta Y = \beta_2 (\Delta X/X) \dots (7)$$

إذن حسب العلاقة (7) التغير المطلق في  $(\Delta Y)$  يساوي الميل  $(\Delta Y)$  مضروبا في التغير النسبي لـ  $(\Delta Y)$  على سبيل إذا تغير  $\Delta X/_{Y}$  بنسبة 1% فإن التغير المطلق في Y هو 0,01. استخدم هذا النوع من النماذج في دوال إنفاق انجل Engel expedenditure fonctions حيث افترض هذا الأخير أن الإنفاق المخصص للغذاء يميل إلى الزيادة في شكل متتالية حسابية مع زيادة الإنفاق الكلي في شكل متتالية هندسية 4. بصيغة أخرى، حصة الإنفاق على الغذاء تزيد كلما زاد الإنفاق الكلي.

### مثال تطبيقي

من خلال المعطيات التالية والخاصة بالإنفاق الكلي Deptot والإنفاق الغذائي Depalim للعائلات الجزائرية سنحاول تقدير النموذج التالي:

 $Depalim_t = \beta_1 + \beta_2 ln Deptot_t + u_t$ 

نتائج التقدير موضحة في الجدول الموالى:

Method: Least Squares
Date: 08/19/22 Time: 19:42
Dample: 1 10
Included observations: 10

Variable	Coefficient	Std. Error	t-Statistic	Prob.
С	0.296570	0.091960	3.224989	0.0000
LOG(DEPTOT)	-0.054702	0.002025	27.01333	0.0000
R-squared	0.917075	Me an dependent var		47932495
Adjusted R-squared	0.906710	S.D. dependent var		31143485
3.E. of regression	9512296.	Akaike info criterion		35.15093
Sum squared resid	7.24E+14	Schwarz criterio	on	35.21144
og likelihood	-173.7548	Hannan-Quinn	criter.	35.08454
-statistic	88.47309	Durbin-Watson	stat	0.984417
Prob(F-statistic)	0.000013			

بينت النتائج أن جميع المعاملات المقدرة بشكل فردي معنوية إحصائيا. معامل الانحدار يقدر بـ  $\frac{0,055}{100}$  أي بنحو أنه إذا زاد إجمالي الإنفاق بنسبة 100 في المتوسط فإن حصة الإنفاق على الغذاء تتناقص بنحو  $\frac{0,055}{100}$  أي بنحو  $\frac{0,0005}{100}$ .

# 4. النماذج المعكوسة Reciprocal models

يكتب هذا النموذج بالصيغة الرياضية التالية:

$$Y_{t} = \beta_{1} + \beta_{2}(\frac{1}{X_{t}}) + u_{t} \dots (8)$$

حيث العلاقة بين المتغير التابع والمتغير المستقل علاقة معكوسة. هذا النموذج خطي في المعلمات ولكن غير خطي في X، يستعمل هذا النوع من النماذج لتقدير دوال فيليبس (Philips).

<sup>&</sup>lt;sup>4</sup> H.Working(1943), Statistical Laus of family expenditure, Journal of the American Statistical Association, Vol.38 ,pp 43-56.

من خلال هذه العلاقة نلاحظ أنه عندما تؤول قيم المتغيرة X إلى مالا نهاية فإن الحد  $\beta_2(\frac{1}{X_t})$  يقترب من الصفر، وبالتالي Y يقترب من القيمة  $\beta_1$  .

فيما يخص ميل المعادلة (8) فيكتب بالصيغة التالية:

$$\frac{dY_{\mathsf{t}}}{\mathrm{d}X_{\mathsf{t}}} = -\beta_2(\frac{1}{\mathrm{x}_{\mathsf{t}}^2})$$

فإذا كان:  $\beta_2$  موجبا، فإن الميل يكون سالبا، أما إذا كان  $\beta_2$  سالبا يكون الميل موجبا.

### مثال تطبيقى:

سنحاول تطبيق هذا النموذج على البيانات السابقة، يكتب النموذج على الشكل التالي:

$$Depalim_t = \beta_1 + \beta_2(\frac{1}{Deptot_t}) + u_t \dots (8)$$

وكانت نتائج التقدير:

Dependent Variable: DEPALIM Method: Least Squares Date: 06/19/22 Time: 20:03 Sample: 1 10 Included observations: 10

Variable	Coefficient	Std. Error	t-Statistic	Prob.
С	0.098762	0.009418	10.48651	0.0000
1/DEPTOT	1454.654	63.98768	22.73334	0.0000
R-squared	0.638370	Me an dependent var		47932495
Adjusted R-squared	0.593167	S.D. dependent var		31143485
S.E. of regression	19864401	Akaike info criterion		36.62361
Sum squared resid	3.16E+15	Schwarz criteri	on	36.68413
Log likelihood	-181.1181	Hannan-Quinn	criter.	36.55723
F-statistic	14.12208	Durbin-Watson	stat	0.859516
Prob(F-statistic)	0.005561			

0,099 نلاحظ أن معاملات الانحدار ذات دلالة إحصائية لأن ( 20.05). تشير قيمة القاطع والتي تقدر به 10,099 إلى أنه إذا زاد إجمالي النفقات الكلية بشكل غير نحائي، فسوف تستقر حصة الإنفاق على الغذاء في إجمالي النفقات في النهاية حوالي 10,099 الإشارة الموجبة لـ10,099 تشير إلى أن معدل تغير 10,099 بالنسبة للنفقات الإجمالية سيكون سالبا دوما.

# 5. نماذج الانحدار كثيرات الحدود Polynomial regression models

$$Y_t = \beta_0 + \beta_1 t + \beta_2 t^2 + u_t \dots (9)$$

المعادلة (9) هي دالة تربيعية أو ما يسمى بدالة كثير الحدود من الدرجة 2 في متغير الزمن t، هذه المعادلة خطية في المعلمات. المتغيرات t و t ذات علاقة دالية وستكون لها درجة ارتباط مرتفعة، لكن هذا لا يؤدي إلى خرق فرضية من فرضيات ols والمتمثلة في مشكل التعدد الخطي بين المتغيرات المستقلة Collinearity لأن t هي دالة غير خطية في الزمن.

من خلال المعادلة (9)، معدل التغير في Y يعطى بالطريقة التالية :

$$\frac{\mathrm{d}Y_{\mathrm{t}}}{\mathrm{d}t} = \beta_1 + 2\beta_2 t$$

يعتمد معدل التغير في Y على الزمن الذي يتم فيه قياس معدل التغير.

### مثال تطبيقي

باستخدام نفس البيانات السابقة والخاصة بالناتج المحلي الإجمالي الحقيقي للجزائر خلال الفترة الممتدة من سنة 1991 إلى غاية 2020 قمنا بتقدير النموذج الموضح في المعادلة 9 وكانت النتائج كما يلى:

Dependent Variable: PIB Method: Least Squares Date: 06/19/22 Time: 16:39

Sample: 129

Included observations: 29

Variable	Coefficient	Std. Error	t-Statistic	Prob.
C @TREND @TREND*@TREND	3068.211 90.88262 2.667375	77.61944 12.83383 0.442862	39.52890 7.081489 6.023039	0.0000 0.0000 0.0000
R-squared Adjusted R-squared S.E. of regression Sum squared resid Log likelihood F-statistic Prob(F-statistic)	0.989872 0.989093 149.0505 577617.4 -184.6901 1270.581 0.000000	Mean depende S.D. depende Akaike info cri Schwarz crite Hannan-Quin Durbin-Watso	nt var iterion rion n criter.	5050.090 1427.188 12.94414 13.08559 12.98844 0.333476

تكتب المعادلة المقدرة كما يلي:

$$\widehat{PIB}_t = 3068.211 + 90.882t + 2.6673t^2$$

نلاحظ أن جميع المعاملات المقدرة معنوية. معدل تغيير PIB يحسب باشتقاق المعادلة بالنسبة للزمن t أي:

$$\tfrac{dY_t}{dt} = \beta_1 + 2\beta_2 t$$

وهو موجب لأن كلا من  $eta_1$  و  $eta_2$  موجبان.

$$\frac{dY_t}{dt} = 90.882 + 2 \times 2.6673t = 90.882 + 5.3346t$$

حسب هذه المعادلة، يعتمد معدل التغيير في الناتج الداخلي الخام على الزمن الذي يتم فيه قياس معدل التغيير.

إذا أخذنا المشتقة الثانية لهذه المعادلة بالنسبة للزمن، نتحصل على القيمة 5.334، لذلك فإن معدل التغيير هذا يكون ثابتا عبر الزمن (القيمة الموجبة للمشتقة الثانية تدل على أن الناتج الداخلي الخام يزيد بمعدل متزايد).

## 6. نموذج Log-lin ذو متغير اتجاه تربيعي

يكتب هذا النموذج بالصيغة التالية:

$$lnY_t = \beta_0 + \beta_1 t + \beta_2 t^2 + u_t \dots (10)$$

يمكن حساب معدل تغير المتغيرة التابعة بالصيغة التالية:

$$\frac{\mathrm{d} \ln Y_{t}}{\mathrm{d} t} = \beta_{1} + 2\beta_{2} t$$

$$\frac{1}{Y_t} \frac{dY_t}{dt} = \beta_1 + 2\beta_2 t$$

إذن الفرق بين هذه المعادلة والمعادلة 9 أننا هنا نقيس معدل النمو في Y وليس معدل التغير.

### مثال تطبيقي

نستعين بنفس معطيات المثال السابق ونقدر المعادلة:

$$lnPIB_t = \beta_0 + \beta_1 t + \beta_2 t^2 + u_t$$

نتائج التقدير مدونة في الجدول التالي:

Dependent Variable: LOG(PIB) Method: Least Squares Date: 06/19/22 Time: 22:19

Sample: 129

Included observations: 29

Variable	Coefficient	Std. Error	t-Statistic	Prob.
C @TREND @TREND*@TREND	8.033055 0.030821 8.82E-05	0.020146 0.003331 0.000115	398.7349 9.252695 0.767486	0.0000 0.0000 0.4497
R-squared Adjusted R-squared S.E. of regression Sum squared resid Log likelihood F-statistic Prob(F-statistic)	0.983005 0.981698 0.038687 0.038913 54.74984 751.9378 0.000000	Mean dependent var S.D. dependent var Akaike info criterion Schwarz criterion Hannan-Quinn criter. Durbin-Watson stat		8.488019 0.285962 -3.568955 -3.427510 -3.524656 0.293131

حساب معدل نمو الناتج الداخلي الخام

$$\frac{_1}{^{PIB}_t}\frac{^{dPIB}_t}{^{dt}}=\beta_1+2\beta_2t$$

 $\frac{_{1}}{^{PIB}_{t}}\frac{^{dPIB}_{t}}{^{dt}}=0.030821+2\times0.0000882t$ 

يزيد معدل نمو الناتج الداخلي الخام بمعدل 0.0000882 لكل وحدة من الزمن.

# الفصل الثاني:

أشكال دوال الانحدار الخطي وغير الخطي

#### تمهيد

اقتصرنا في العنصر السابق على النماذج الاقتصادية المكونة من معادلة واحدة تحتوي متغيرا تابعا واحدا ومتغيرة مستقلة واحدة أو عدة متغيرات مستقلة، لكن في كثير من الأحيان علاقة السبب والتأثير باتجاه واحد لا معنى لها، هذا يحدث عندما تتحدد قيمة لا بواسطة قيم لا أي أن هناك علاقة ذات اتجاهين أو علاقة آنية بين المتغير التابع والمتغير المستقل، بصيغة أخرى يتكون النموذج من عدد من المتغيرات التي تتحدد آنيا بالمتغيرات المتبقية.

إذن في نماذج المعادلات الآنية نجد أكثر من معادلة واحدة، حيث نجد معادلة واحدة لكل متغير تابع (متغير داخلي) وكل معادلة مختلفة عن المعادلات الأخرى الموجودة في النظام، حيث لا يمكننا تقدير معادلة دون أخذ بعين الاعتبار المعادلات الأخرى الموجودة في النظام. في مثل هذه النماذج مسألة تقدير المعاملات تطرح بعض الحالات الخاصة والتي لا نجدها في حالة النموذج ذي المعادلة الواحدة، حيث بعض المتغيرات المستقلة تكون عشوائية وتكون مرتبطة بالخطأ العشوائي، في هذه الحالة نجد غياب فرضية عدم ارتباط المتغير المستقل بالحد العشوائي، وبالتالي المقدرات الناتجة عن تطبيق طريقة المربعات الصغرى ستكون متحيزة وغير متسقة، لذا وجب توفير تقنيات أخرى لحساب مقدرات لها الخصائص الإحصائية الكلاسيكية التي نرغب الحصول عليها.

# بعض الأمثلة عن نماذج المعادلات الآنية

# • نموذج العرض والطلب

من أهم النماذج في الاقتصاد الجزئي نموذج العرض والطلب حيث يتم تداخل تحديد السعر والكمية في النموذجين، فلدراسة الطلب على منتوج معين يجب دراسة العرض عليها وهذا لتداخل النموذجين معا. كما هو معروف فإن سعر السلعة والكمية المباعة تتحدد عن طريق التفاعل بين منحنى العرض والطلب لتلك السلعة، نفرض في هذا المثال أن منحنيات العرض والطلب خطية، يكتب النظام الآيي لهذا المثال كما يلى:

$$egin{aligned} Q_{dt} &= lpha_0 + lpha_1 P_t + arepsilon_{dt} &= lpha_0 + eta_1 P_t + arepsilon_{st} \end{aligned}$$
 دالة العرض  $Q_{st} = eta_0 + eta_1 P_t + arepsilon_{st}$  معادلة التوازن

 $: \mathcal{E} : t$  الكمية المطلوبة في الفترة  $: Q_{st} : t$  الكمية المعروضة في الفترة  $: Q_{at} : t$  الفترة في الفترة  $: Q_{at} : t$  الخطأ العشوائي،  $: Q_{at} : t$  معاملات النظام والتي تحقق بالنسبة لهذا المثال الخواص التالية:  $: Q_{at} : t$  معاملات النظام والتي تحقق بالنسبة لهذا المثال الخواص التالية:  $: Q_{at} : t$ 

نلاحظ من خلال هذا النظام الآني أن P و P متبادلتا التأثير ، على سبيل المثال المتغير العشوائي  $E_{at}$  يتغير بسبب تغير في المتغيرات التي تؤثر على الكمية مثل الدخل والذوق، فينتقل منحنى الطلب إلى أعلى إذا كانت موجبة والى اليسار

إذا كانت  $\mathcal{E}_{st}$  سالبة، انتقال المنحنى يؤدي إلى تغيير قيمة P و Q. نفس الشيء إذا تغيرت  $\mathcal{E}_{st}$  بسبب مثلا تغير Q و Q بسبب الاعتماد المتداخل بين Q و Q بسبب الاعتماد المتداخل بين Q و Q بسبب عدم تحقق و Q و Q بالمعادلة الأولى، Q و Q و Q و Q و Q بسبب عدم تحقق فرضية الاستقلالية بين المتغيرات المفسرة والمتغير العشوائي.

# • غوذج كينز لتحديد الدخل: يكتب النموذج كما يلي:

$$\left\{egin{aligned} C_t = eta_0 + eta_1 Y_t + arepsilon_t \ 0 < eta_1 < 1 \end{aligned}
ight.$$
 دالة الاستهلاك  $Y_t = C_t + I_t$  محددة الدخل

حيث: C : النفقات على الاستهلاك، Y: الدخل، I: الاستثمار.

المعلمة  $\beta_1$  عبارة عن الميل الحدي للاستهلاك والذي يتوقع ان تكون قيمته بين الصفر والواحد، المعادلة الثانية تحدد أن الدخل يساوي النفقات الاستهلاكية والاستثمار. من خلال هاتين المعادلتين نلاحظ أن  $\gamma$  و  $\gamma$  عير مستقلة عن بعضها البعض، أي أن  $\gamma$  تتأثر بالمعنى  $\gamma$  وهذه الأخيرة أي المتغيرة  $\gamma$  مرتبطة بالمتغير العشوائي  $\gamma$ ، أي أن طريقة MCO لا يمكن تطبيقها على مثل هذه النماذج.

## • نموذج السعر والأجور: يكتب النموذج كما يلي:

$$\begin{cases} W_t = \alpha_0 + \alpha_1 C H_t + \alpha_2 P_t + \epsilon_{1t} & \text{number } \\ P_t = \beta_0 + \beta_1 W_t + \beta_2 R_t + \beta_3 M_t + \epsilon_{2t} \end{cases}$$
 معادلة السعر

حيث: W: معدل التغير في الأجور، CH: معدل البطالة، P: معدل التغير في الأسعار، R: معدل التغير في تكلفة رأس المال، M: معدل التغير في الأسعار لعناصر الإنتاج المستوردة.

من خلال هاتين المعادلتين نلاحظ أن متغيرة معدل التغير في الأسعار  $P_t$  تدخل في معادلة الأجور ومتغيرة الأجور  $W_t$  تدخل في معادلة السعر، ثما يعني أن المتغيران ثنائيا التأثير، إذن المتغيرات المفسرة نتوقع أن تكون مرتبطة مع المتغيرات العشوائية ثما يخرق فرضيات طريقة المربعات الصغرى العادية ولا يمكن تطبيقها لتقدير النموذج. اقتصرنا فقط على هذه النماذج لكن توجد عدة أمثلة أخرى مثلا نموذج كل من IS و IS.

### النموذج العام

يمكن تعريف النموذج الآني على أنه: النظام الذي يكون فيه تأثير لا Y على الأقل على أحد المتغيرات المستقلة بالإضافة إلى التأثير الموجود من المتغيرات المفسرة على المتغير التابع. لبناء نموذج المعادلات الآنية يجب الفصل بين المتغيرات المحددة آنيا ( المتغيرات الحارجية). تعتبر مسألة تحديد المتغيرات الخارجية من الداخلية مهمة للغاية ، لأنه في حالة حدوث خطأ في المواصفات ، تصبح مقدرات المربعات

الصغرى المزدوجة (DMC) وطريقة المربعات الصغرى الثلاثية (TMC) متحيزة وليست متقاربة  $^5$ . في حالة وجود شك في حالة متغير، يمكن استخدام اختبار Hausman لتحديد ما إذا كان المتغير ( مجموعة المتغيرات) داخليًا أو خارجي  $^6$ .

كما هو الشأن بالنسبة لبناء أي نموذج بعض الشروط (بعض الفرضيات) يجب إدراجها:

- ✔ الشرط الأول هو أن عدد المتغيرات المراد تفسيرها يجب أن يساوي عدد المعادلات الداخلة في النموذج المدروس.
- ✓ الهدف من نموذج أبي هو تفسير بعض المتغيرات والتي نسميها متغيرات داخلية بواسطة سلسلة من المتغيرات تسمى بالمتغيرات الخارجية. تأخذ المتغيرات الخارجية قيمها خارج النظام، أما المتغيرات الداخلية تحدد آنيا عن طريق القيم التي تأخذها المتغيرات الخارجية والأخطاء انطلاقا من جملة المعادلات الآنية التي يظهرها النموذج.
- ✓ المتغيرات الخارجية تنقسم إلى صنفين: متغيرات خارجية ومتغيرات داخلية متأخرة زمنيا، والتي تظهر القيم السابقة للمتغيرات الداخلية.

بصفة عامة النظام العام لـ g معادلة هيكلية والذي يربط g متغيرة داخلية بـ k متغيرة مستقلة يكتب كما يلى:

$$\begin{cases} \beta_{11}y_{1t} + \beta_{12}y_{2t} + \dots + \beta_{1g}y_{gt} + \gamma_{11}x_{1t} + \gamma_{12}x_{2t} + \dots \gamma_{1k}x_{kt} = \epsilon_{1t} \\ \beta_{21}y_{1t} + \beta_{22}y_{2t} + \dots + \beta_{2g}y_{gt} + \gamma_{21}x_{1t} + \gamma_{22}x_{2t} + \dots \gamma_{2k}x_{kt} = \epsilon_{2t} \\ \vdots & \dots (I) \\ \beta_{g1}y_{1t} + \beta_{g2}y_{2t} + \dots + \beta_{gg}y_{gt} + \gamma_{g1}x_{1t} + \gamma_{g2}x_{2t} + \dots \gamma_{gk}x_{kt} = \epsilon_{gt} \end{cases}$$

.j=1,...k عي متغيرات خارجية:  $x_{jt}$  ، i=1,...g, t=1,...T: هي متغيرات خارجية:  $y_{it}$ : هي متغيرات مشاهدة.

 $\gamma_{jt}$  ،  $\beta_{it}$  نعض المعاملات الداخلية والخارجية لا تنتمي كلها في آن واحد إلى كل معادلة، لأن بعض المعادلات قد تكون عبارة عن تكون معدومة، معامل المتغيرات التابعة يساوي واحد، كما تجدر الإشارة إلى أن بعض المعادلات قد تكون عبارة عن متطابقات فقط.

جمل المعادلات (I) يمكن كتابته بالصيغة المصفوفية التالية:

$$B \times y + \gamma \times x = \varepsilon$$
  
 $(g \times g) (g \times 1) (g \times k) (k \times 1) (g \times 1)$ 

تسمى الصيغة (I) بالصيغة الهيكلية.

<sup>&</sup>lt;sup>5</sup> Cadoret Isabelle et autres, Econométrie appliquées, édition de Boeck, 1ere édition, Bruxelles, Belgique, 2004, p273.

<sup>&</sup>lt;sup>6</sup> Gujarati Damodar, Traduction de la 4ème édition américaine par Bernier Bernard, Econométrie, édition de Boeck, 1ère édition, Bruxelles, Belgique, 2004, p748.

### الصيغة الهيكلية والصيغة المختصرة للمعادلات

تسمى الصيغة (I) بالصيغة الهيكلية (Forme structurel) أي الشكل العام لنظام المعادلات الآنية، أما الصيغة المختصرة  $y_{it}$  بدلالة المتغيرات الخارجية  $x_{it}$  الخصاء العشوائية  $x_{it}$  فقط. فتكون للصيغة المختصرة العبارة التالية:

$$\begin{cases} y_{1t} = \pi_{11}x_{1t} + \pi_{12}x_{2t} + \cdots \pi_{1k}x_{kt} + v_{1t} \\ y_{2t} = \pi_{21}x_{1t} + \pi_{22}x_{2t} + \cdots \pi_{2k}x_{kt} + v_{2t} \\ \vdots & \dots \text{(II)} \\ y_{gt} = \pi_{g1}x_{1t} + \pi_{g2}x_{2t} + \cdots \pi_{gk}x_{kt} + v_{gt} \end{cases}$$

المعاملات  $v_{it}$  عدود الأخطاء.  $v_{it}$  معاملات الصيغة المختصرة و  $v_{it}$  حدود الأخطاء.

إن كل معادلة تحوي متغير داخلي واحد فقط وهو المتغير التابع، وكل المعادلات تحوي نفس المتغيرات المحددة سابقا، تقدير هذه المعاملات يكون سهلا إلا أن لا يوجد لها تفسير اقتصادي $^{7}$ .

يمكننا تقدير معاملات الصيغة المختصرة بتطبيق طريقة MCO لأن في هذه الحالة لا وجود لانتهاك الفرضيات الكلاسيكية والمتمثلة في فرضية ارتباط المتغيرات المستقلة بالخطأ العشوائي  $Cov(x_{it}, \epsilon_t) = 0$ .

بما أن جملة المعادلات (II) مستنتجة من الجملة (I)، فتوجد إمكانية ربط معاملات الصيغة المختصرة بمعاملات الصيغة الهنكلية:

$$(\mathbf{g} \times \mathbf{1})\mathbf{v} = \begin{pmatrix} \mathbf{v}_{1t} \\ \vdots \\ \mathbf{v}_{\mathbf{g}t} \end{pmatrix}$$
،  $(\mathbf{g} \times \mathbf{k})\boldsymbol{\pi} = \begin{bmatrix} \boldsymbol{\pi}_{11} & \cdots & \boldsymbol{\pi}_{1k} \\ \vdots & \ddots & \vdots \\ \boldsymbol{\pi}_{\mathbf{g}1} & \cdots & \boldsymbol{\pi}_{\mathbf{g}k} \end{bmatrix}$  :نضع

تكتب الجملة (II) على الشكل المصفوفي التالي:

$$\underbrace{Y}_{(g\times 1)} = \underbrace{\pi}_{(g\times k)} \underbrace{X}_{(k\times 1)} + \underbrace{V}_{(g\times 1)}$$
(\*)

إذا كانت المصفوفة  ${f B}$  غير شاذة وبالتالي تقبل معكوس، نضرب المعادلة  $({f I})$  بـ  ${f B}^{-1}$ :

$$Y + \beta^{-1} \gamma X = \beta^{-1} \varepsilon \beta^{-1} \beta$$
$$Y + \beta^{-1} \gamma X = \beta^{-1} \varepsilon$$
$$\Rightarrow Y = -\beta^{-1} \gamma X + \beta^{-1} \varepsilon$$

<sup>&</sup>lt;sup>7</sup> Giraud René & Chaix Nicole, Econométrie, édition presses universitaires de France, 1989, Paris, France, p231

$$v=B^{-1}\epsilon$$
 و مع المعادلة ( $^*$ ) نجد:  $\pi=-B^{-1}\gamma$  بالمطابقة مع المعادلة (

إذن يمكننا المرور من الصيغة الهيكلية إلى الصيغة المختصرة وهذا بمعرفة عناصر المصفوفة  $\bf B$ . كما يمكننا تطبيق طريقة المربعات الصغرى العادية لتقدير معاملات هذا النموذج، حيث يُفترض أن تكون الأخطاء مستقلة عن  $\bf X$ .

لتوضيح نقطة الانتقال من الشكل الهيكلي إلى الشكل المختصر نأخذ المثال التالي:

بحوزتنا نموذج العرض والطلب التالي:

$$egin{cases} Q_{dt} = lpha_1 + lpha_2 P_t + lpha_2 Y_t + \epsilon_{dt} & \text{eld.} \end{cases}$$
 دالة العرض  $Q_{st} = eta_1 + eta_2 P_t + \epsilon_{st} & \text{eld.} \end{cases}$  دالة العرض معادلة التوازن

المتغيرة الخارجية هي  $Y_t$ ، أماكل من  $P_t$  و Q هي متغيرات داخلية، حيث تحدد داخل السوق. الصيغة الهيكلية (FS) لمذا النظام تكتب كما يلى:

$$\begin{cases} Q_{dt} - \alpha_1 - \alpha_2 P_t - \alpha_3 Y_t = \epsilon_{1t} \\ Q_{st} - \beta_1 - \beta_2 P_t = \epsilon_{2t} \\ Q_{dt} - Q_{st} = 0 \end{cases}$$

$$B = \begin{pmatrix} 1 & -\alpha_2 \\ 1 & \beta_2 \end{pmatrix}; \quad \gamma = \begin{pmatrix} -\alpha_1 & -\alpha_3 \\ -\beta_1 & 0 \end{pmatrix}; \epsilon_t = \begin{pmatrix} \epsilon_{1t} \\ \epsilon_{2t} \end{pmatrix}$$

$$\vdots x_t = \begin{pmatrix} 1 \\ Y_t \end{pmatrix} y_t = \begin{pmatrix} Q_t \\ P_t \end{pmatrix}$$

$$B^{-1} = \frac{-1}{\alpha_2 - \beta_2} \begin{pmatrix} -\beta_2 & \alpha_2 \\ -1 & 1 \end{pmatrix}$$

$$\pi = \begin{bmatrix} \pi_{11} & \pi_{12} \\ \pi_{21} & \pi_{22} \end{bmatrix} = \frac{-1}{\alpha_2 - \beta_2} \begin{pmatrix} -\beta_2 & \alpha_2 \\ -1 & 1 \end{pmatrix} \begin{pmatrix} -\alpha_1 & -\alpha_3 \\ -\beta_1 & 0 \end{pmatrix}$$

$$= \frac{-1}{\alpha_2 - \beta_2} \begin{pmatrix} \alpha_1 \beta_2 - \alpha_2 \beta_1 & \alpha_3 \beta_2 \\ \alpha_1 - \beta_1 & \alpha_3 \end{pmatrix}$$

$$v = \begin{pmatrix} v_{1t} \\ v_{2t} \end{pmatrix} = B^{-1} \epsilon = \frac{-1}{\alpha_2 - \beta_2} \begin{pmatrix} -\beta_2 & \alpha_2 \\ -1 & 1 \end{pmatrix} \begin{pmatrix} \epsilon_{1t} \\ \epsilon_{2t} \end{pmatrix}$$

$$\Rightarrow v = \frac{1}{\alpha_2 - \beta_2} \begin{pmatrix} -\beta_2 \epsilon_{1t} + \alpha_2 \epsilon_{2t} \\ -\epsilon_{1t} + \epsilon_{2t} \end{bmatrix}$$

ومنه تكتب الصيغة المختصرة (FR) كما يلي:

$$\begin{cases} P_t = \frac{\alpha_1\beta_2 - \alpha_2\beta_1}{\alpha_2 - \beta_2} - \frac{\alpha_3\beta_2}{\alpha_2 - \beta_2} Y_t + \frac{-\beta_2\epsilon_{1t} + \alpha_2\epsilon_{2t}}{\alpha_2 - \beta_2} \\ Q_t = \frac{-\alpha_1 + \beta_1}{\alpha_2 - \beta_2} - \frac{\alpha_3}{\alpha_2 - \beta_2} Y_t + \frac{-\epsilon_{1t} + \epsilon_{2t}}{\alpha_2 - \beta_2} \end{cases}$$

والتي يمكن كتابتها على الشكل التالي:

$$\begin{cases} P_t = & \pi_{11} + \pi_{12} Y_t + v_{1t} \\ Q_t = & \pi_{21} + \pi_{22} Y_t + v_{2t} \end{cases}$$

$$\pi_{11} = \frac{\alpha_1\beta_2 - \alpha_2\beta_1}{\alpha_2 - \beta_2}; \ \pi_{12} = -\frac{\alpha_3\beta_2}{\alpha_2 - \beta_2}; \ \pi_{21} = \frac{-\alpha_1 + \beta_1}{\alpha_2 - \beta_2}; \ \pi_{22} = -\frac{\alpha_3}{\alpha_2 - \beta_2}$$

# مشكل التعريف أو التحديد: Le problème de l'identification

تتمثل مشكلة التعريف في إمكانية أو عدم إمكانية تقدير المعالم الهيكلية لنموذج المعادلات الآنية من معالم النموذج المختصر، وتظهر هذه المشكلة قبل القيام بعملية تقدير النموذج.

لتكن سلسلة المشاهدات  $(x_t, y_t)$  ونرغب في تقدير المعاملات  $(\beta, \gamma)$  للصيغة الهيكلية وكذلك بعض معاملات دالة التوزيع له  $(x_t, y_t)$  لكن للأسف تقديرها ليس ممكنا انطلاقا من الصيغة الهيكلية وذلك للأسباب التي ذكرت سابقا.

للتمكن من تطبيق طريقة المربعات الصغرى لنموذج خطي بغرض الحصول على مقدرات متماسكة، يكون من الضروري التعبير عن المتغيرة التابعة في النموذج بدلالة المتغيرات المستقلة، وهذه الأخيرة يجب أن لا تكون مرتبطة مع الحد العشوائي. فمن خلال الصيغة المختصرة التي تستجيب لفرضيات الانحدار المتعدد وخاصة فرضية عدم ارتباط المتغيرات المستقلة مع الأخطاء يمكننا تقدير معاملات الشكل الهيكلي، لكن في بعض الحالات تقدير معاملات الصيغة المختصرة لا يعطي بالضرورة قيمة وحيدة للمقدرات ( $\gamma$ و $\beta$ ) لكن سلسلة من القيم، أو في بعض الحالات لا يمكن تقديرها، وهنا يطرح مشكل التعريف أو التمييز للمعاملات ( $\gamma$ و $\beta$ ) انطلاقا من المعاملات  $\pi_{ii}$ .

ولتوضيح الفكرة نأخذ المثالين التاليين.

## • المثال الأول: حالة عدم التعريف La sous identification

نموذج العرض والطلب لسلعة معينة، نفرض أن الطلب  $Q_{at}$  والعرض  $Q_{st}$  لمادة معينة يتبع النموذج التالي:

$$\left\{ egin{aligned} Q_{dt} = lpha_0 + lpha_1 P_t + \epsilon_{1t} & \text{color} \ Q_{st} = eta_0 + eta_1 P_t + \epsilon_{2t} & \text{color} \ Q_{dt} = Q_{st} = Q_t \end{aligned} 
ight.$$
 دالة العرض  $Q_{dt} = Q_{st} = Q_t$  معادلة التوازن

نلاحظ من خلال هذا النموذج لا وجود لمتغيرة خارجية.

الصيغة المختصرة لهذا النظام تكتب كما يلي:

$$\begin{cases} P_{t} = \frac{\alpha_{0} - \beta_{0}}{\beta_{1} - \alpha_{1}} + \frac{\epsilon_{1t} - \epsilon_{2t}}{\beta_{1} - \alpha_{1}} \\ Q_{t} = \frac{\beta_{1}\alpha_{0} - \alpha_{1}\beta_{0}}{\beta_{1} - \alpha_{1}} + \frac{\beta_{1}\epsilon_{1t} - \alpha_{1}\epsilon_{2t}}{\beta_{1} - \alpha_{1}} \end{cases}$$

$$\Rightarrow \begin{cases} P_{t} = \pi_{11} + v_{1t} \\ Q_{t} = \pi_{21} + v_{2t} \end{cases}$$

من خلال الصيغة الهيكلية للنظام نريد تقدير 4 معاملات وهي ( $\alpha_0$ ,  $\alpha_1$ ,  $\beta_0$ ,  $\beta_1$ )، لكن من خلال الشكل من خلال الشكل المختصر يمكننا تقدير معلمتين فقط وهي ( $\pi_{11}$ ,  $\pi_{21}$ ) ، نستخلص أن المعاملات الأربعة للصيغة الهيكلية ليست كلها معرفة انطلاقا من الصيغة المختصرة، في هذه الحالة نقول أن النظام تحت معرف (La sous identification)، وبالتالي لا يوجد حل للنظام.

### • المثال الثاني:معرفة تماما La juste identification

 $Y_t$  نستعين بنفس النموذج السابق لكن نفرض في هذه الحالة أن الطلب تؤثر عليه متغيرة خارجية وهي الدخل البكتب النموذج كما يلي:

$$\begin{cases} Q_{dt} = \alpha_1 + \alpha_2 P_t + \alpha_3 Y_t + \epsilon_{dt} & \alpha_2 < 0, \alpha_3 > 0 \text{ .elbi ledit} \\ Q_{st} = \beta_1 + \beta_2 P_t + \epsilon_{st} & \beta_2 > 0 \end{cases}$$
 calc lie litelity of the contraction of the contraction

الصيغة المختصرة ستكون كالتالي:

$$\begin{cases} P_t = \frac{\alpha_1 \beta_2 - \alpha_2 \beta_1}{\alpha_2 - \beta_2} - \frac{\alpha_3 \beta_2}{\alpha_2 - \beta_2} Y_t + \frac{-\beta_2 \epsilon_{1t} + \alpha_2 \epsilon_{2t}}{\alpha_2 - \beta_2} \\ Q_t = \frac{-\alpha_1 + \beta_1}{\alpha_2 - \beta_2} - \frac{\alpha_3}{\alpha_2 - \beta_2} Y_t + \frac{-\epsilon_{1t} + \epsilon_{2t}}{\alpha_2 - \beta_2} \end{cases}$$

$$\pi_{11} = \frac{\alpha_1\beta_2 - \alpha_2\beta_1}{\alpha_2 - \beta_2}; \ \pi_{12} = - \ \frac{\alpha_3\beta_2}{\alpha_2 - \beta_2} \ ; \ \ \pi_{21} = \ \frac{-\alpha_1 + \beta_1}{\alpha_2 - \beta_2}; \ \pi_{22} = - \ \frac{\alpha_3}{\alpha_2 - \beta_2}$$

تطبيق طريقة المربعات الصغرى على الصيغة المختصرة تسمح لنا بتقدير المعاملات الأربعة  $\pi_{ij}$ ، لكن ومن خلال الصيغة الميكلية نريد تقدير خمس معاملات وهي:  $(\alpha_1,\alpha_2,\alpha_3,\beta_1,\beta_2)$ ، والملاحظ أن معاملات الصيغة المختصرة معطاة بدلالة معاملات الصيغة الهيكلية، من وجهة نظر أولى، تعريف معاملات الصيغة الهيكلية يبدو مستحيلا وذلك لان لدينا أربع معاملات فقط وخمسة مجاهيل، لكن إذا نظرنا بتمعن أكثر لمعاملات الصيغة المختصرة نلاحظ ما يلي:

$$\frac{\pi_{12}}{\pi_{22}} = \frac{-\frac{\alpha_3 \beta_2}{\alpha_2 - \beta_2}}{-\frac{\alpha_3}{\alpha_2 - \beta_2}} = \beta_2$$

إذن بقسمة  $\pi_{12}$  على  $\pi_{22}$  تسمح لنا بتعريف  $\pi_{2}$ ، وبمعرفة  $\pi_{2}$  يمكننا تعريف المعاملات الأخرى نقوم بعملية التعويض). فمعرفة المعاملات  $\pi_{ij}$  للصيغة المختصرة تسمح بتحديد معاملات الصيغة الهيكلية، إذن في هذه الحالة لا يوجد مشكل التعريف، والنظام معرف تماما).

### • المثال الثالث: فوق معرفة La sur identification

دعنا نعدل دالة الطلب، عن طريق إضافة المتغيرة Rt إلى المتغيرات السابقة:

$$\begin{cases} Q_{dt} = \alpha_1 + \alpha_2 P_t + \alpha_3 Y_t + \alpha_4 R_t + \epsilon_{dt} & \alpha_2 < 0, \alpha_3 > 0 \text{ clib in the limit} \\ Q_{st} = \beta_1 + \beta_2 P_t + \beta_3 P_{t-1} + \epsilon_{st} & \beta_2 > 0, \ \beta_3 > 0 \end{cases}$$
 دالة العرض 
$$Q_{dt} = Q_{st}$$
 معادلة التوازن

الصيغة المختصرة للنظام تكتب كما يلي:

$$\begin{cases} P_{t} = \pi_{0} + \pi_{1}Y_{t} + \pi_{2}P_{t-1} + \pi_{3}R_{t} + v_{1t} \\ Q_{t} = \pi_{4} + \pi_{5}Y_{t} + \pi_{6}R_{t} + \pi_{7}P_{t-1} + v_{2t} \end{cases}$$

$$\Pi_{0} = -\frac{\alpha_{1} - \beta_{1}}{\alpha_{2} - \beta_{2}}; \ \pi_{1} = \frac{\alpha_{3}}{\alpha_{2} - \beta_{2}}; \ \pi_{2} = \frac{\alpha_{4}}{\alpha_{2} - \beta_{2}}; \ \pi_{3} = \frac{\beta_{3}}{\alpha_{2} - \beta_{2}}; \ \pi_{4} = \frac{\alpha_{2}\beta_{1} - \alpha_{1}\beta_{2}}{\alpha_{2} - \beta_{2}},$$

$$\pi_{5} = \frac{\alpha_{3}\beta_{2}}{\alpha_{2} - \beta_{2}}; \ \pi_{6} = \frac{\alpha_{4}\beta_{2}}{\alpha_{2} - \beta_{2}}; \ \pi_{7} = \frac{\alpha_{2}\beta_{3}}{\alpha_{2} - \beta_{2}}$$

في هذه الحالة، لدينا ثمانية معاملات للصيغة المختصرة وسبعة معاملات للشكل الهيكلي، وبالتالي العديد من الحلول ممكنة، وبالتالي نقول أن النظام فوق معرف.

باختصار يمكننا أن نميز بين ثلاث حالات التحديد أو التعريف:

- 1. المعادلة محددة تماما Juste identifiée: أي أننا نتحصل على قيمة مقدرة واحدة فقط لكل معامل من معاملات انحدار هذه المعادلة، بصيغة أخرى في الحالة التي يكون فيها عدد المتغيرات الخارجية في المعادلة مساوية إلى عدد المتغيرات الداخلية في المعادلة ناقص واحد.
- 2. المعادلة فوق محددة Sur identifiée: في هذه الحالة نتحصل على أكثر من قيمة مقدرة واحدة لمعاملات المعادلة الهيكلية، بصيغة أخرى في الحالة التي يكون فيها عدد المتغيرات الخارجية في المعادلة أكبر من عدد المتغيرات الداخلية في المعادلة ناقص واحد.
- 3. المعادلة تحت محددة Sous identifiée: تسمى أيضا المعادلة غير محددة، في هذه الحالة لا يمكننا الحصول على أي قيمة مقدرة لمعاملات انحدار المعادلة، عدد المتغيرات الخارجية في المعادلة يكون أقل من عدد المتغيرات الداخلية في المعادلة مطروح منها واحد.

### شروط التعريف أو التحديد: Les conditions d'identification

من خلال معادلات الشكل المختصر يمكننا تحديد أو تعريف معادلة في نظام المعادلات الآنية، لكن العملية تستغرق وقتًا، تؤدي شروط التعريف إلى تخفيف العمل من خلال توفير طريقة منهجية. حيث يمكننا معرفة ما إذا كانت المعادلة في نموذج المعادلات الآنية محددة أو لا وذلك من خلال توفير الشرطين التاليين: شرط الدرجة وشرط الرتبة. ولتشخيص معادلة ما يجب أن يتحقق الشرطان معا، بحيث يتم تحقيق شرط الدرجة ومن ثم الانتقال إلى تحقيق شرط الرتبة، لكن لصعوبة تطبيق شرط الرتبة في نظام أيي يحوي العديد من المعادلات نكتفي فقط بشرط درجة 8. نذكر هنا أن عملية التحديد أو التعريف تتم معادلة بمعادلة.

### 1. شرط الدرجة

يعتبر هذا الشرط ضروريا للتحديد، وبطريقة مبسطة يمكننا تلخيص هذه الطريقة على النحو التالي<sup>9</sup>:

ليكن: G: عدد المتغيرات الداخلية الموجدة في النظام الآني أو في النموذج، أو بصيغة أخرى هو عدد المعادلات الموجودة في النظام.

- K: عدد المتغيرات الخارجية الموجودة في النظام الآيي.
- g: عدد المتغيرات الداخلية الموجدة في المعادلة محل التحديد.
- k : عدد المتغيرات الخارجية الموجودة في المعادلة محل التحديد.

نقول عن معادلة في نظام معادلات آنية أنها:

<sup>&</sup>lt;sup>8</sup> Gujarati Damodar, op.cit., p743.

<sup>&</sup>lt;sup>9</sup> Bourbonnais régis, Econométrie, édition Dunod, 9ème édition, Paris, France, 2015, p222

- G 1 = G g + K k عددة تماما إذا كان •
- G-1 < G-g+K-k فوق محددة إذا كان •
- G-1 > G-g+K-k : تحت محددة إذا كان

### 2. شرط الرتبة

سمي بذلك لأنه يعتمد على رتبة مصفوفة التي سنتكلم عليها في هذه النقطة، يعتبر هذا الشرط ضروري وكافي 10. يعتمد هذا الشرط على حصر كل المتغيرات التي لم تظهر في المعادلة الهيكلية المراد تحديدها (داخلية وخارجية)، ثم تشكيل مصفوفة A والمتكونة من معاملات هذه المتغيرات في المعادلات الأخرى، بعدها نقوم بحساب رتبة هذه المصفوفة أو محددها، إذا كان محدد المصفوفة أقل من عدد المتغيرات الداخلية في النموذج ناقص واحد فإن المعادلة محل الدراسة تعتبر غير محددة. أما إذا كانت رتبة المصفوفة ليس أقل من عدد المتغيرات الداخلية في النموذج ناقص واحد فإن المعادلة تكون عمددة.

لتوضيح شرط الرتبة نأخذ النظام الآني التالي:

$$\begin{cases} y_{1t} + \beta_{12}y_{2t} + \beta_{13}y_{3t} + \gamma_{11}x_{1t} = \varepsilon_{1t} & (1) \\ y_{2t} + \beta_{23}y_{3t} + \gamma_{21}x_{1t} + \gamma_{22}x_{2t} = \varepsilon_{2t} & (2) \\ y_{3t} + \beta_{31}y_{1t} + \gamma_{31}x_{1t} + \gamma_{32}x_{2t} = \varepsilon_{3t} & (3) \\ y_{4t} + \beta_{41}y_{1t} + \beta_{42}y_{2t} + \gamma_{43}x_{3t} = \varepsilon_{4t} & (4) \end{cases}$$

• نضع جمل هذه المعادلات في الجدول التالي:

معادلة رقم :	y <sub>1t</sub>	y <sub>2t</sub>	y <sub>3t</sub>	y <sub>4t</sub>	x <sub>1t</sub>	x <sub>2t</sub>	x <sub>3t</sub>
1	1	$\beta_{12}$	$\beta_{13}$	0	-γ <sub>1-1</sub>	_0	_0
2	0	1	β <sub>23</sub>	0	γ <sub>21</sub>	γ <sub>22</sub>	0
3	β <sub>31</sub>	0	1	0	γ <sub>31</sub>	γ <sub>32</sub>	0
4	β <sub>41</sub>	β <sub>42</sub>	0	1	0	0	γ <sub>43</sub>

- على سبيل المثال نريد تشخيص أو تحديد المعادلة رقم (1) باستعمال شرط الرتبة نقوم أولا بحذف السطر الخاص بالمعادلة (1)،
- بعدها نحذف الأعمدة التي معاملاتها غير معدومة في المعادلة (1)، المعاملات المتبقية هي معاملات المتغيرات المدرجة في النظام ولكن ليس في المعادلة المعتبرة (المعادلة رقم (1)). من هذه المعاملات نشكل جميع المصفوفات الممكنة،

<sup>&</sup>lt;sup>10</sup> Gujarati Damodar, op.cit., p744.

نسميها مثلا A، التي رتبتها (g-1) ونحسب المحددات المقابلة. إذا كانت رتبة مصفوفة واحدة على الأقل مثل A أقل من (g-1) ، فالمعادلة المعنية غير محددة، في مثالنا هذا تتكون المصفوفة A من العناصر التالية:

• نتحصل على المصفوفة A المتكونة من العناصر التالية:

$$\det A = \det \begin{pmatrix} 0 & \gamma_{22} & 0 \\ 0 & \gamma_{32} & 0 \\ 1 & 0 & \gamma_{43} \end{pmatrix} = 0$$

جما أن محدد المصفوفة A معدوم، إذن رتبتها أقل من 3، ولدينا عدد المتغيرات الداخلية في النموذج G=4، إذن rg(A) < G-1 وبالتالي المعادلة (1) غير محددة.

# طرق تقدير نموذج المعادلات الآنية

تعتمد طرق تقدير نموذج المعادلات الآنية على طبيعة تعريف أو تحديد معادلات النموذج حيث:

- إذا كان النموذج تحت محدد أو غير محدد في هذه الحالة لا يمكننا تقدير معلمات النموذج، لمعالجة هذه المشكلة يتم إدخال متغيرات إضافية.
- إذا كانت المعادلة معرفة تماما فإنه يمكن استعمال طريقة المربعات الصغرى غير المباشرة (MCI) أو طريقة المربعات الصغرى المضاعفة (DMC)، فكلتا الطريقتين تعطيان نفس النتيجة.
  - إذا كانت المعادلة فوق محددة فإن فإن طريقة DMC لها ميزة على طريقة MCI لإعطاء مقدر واحد فقط<sup>11</sup>.
  - إذا كانت جميع معادلات النظام الآني محددة تماما، فإن طريقة المربعات الصغرى الثلاثية (TMC) مناسبة لتقدير جميع معادلات النظام في وقت واحد.
  - إذا كان النظام الآبي يحوي على معادلات محددة تمام وأخرى فوق محددة، ينصح هنا باستعمال أو تطبيق طريقة المربعات الصغرى الثلاثية بشكل منفصل على هاتين المجموعتين. لكن في حالة يحوي النظام على معادلة واحدة فقط فوق محددة فإن هذه الطريقة لا تعطى نتائج إضافية مقارنة بطريقة المربعات الصغرى الثنائية 12.

### 1. طريقة المربعات الصغرى غير المباشرة (MCI):

كما ذكرنا سابقا، تستعمل هذه الطريقة في تقدير المعادلات الهيكلية المعرفة تماما. تتم هذه الطريقة على النحو التالى:

• كتابة المعادلات الآنية على الشكل المختصر،

<sup>&</sup>lt;sup>11</sup> Gujarati Damodar, op.cit., p764.

<sup>&</sup>lt;sup>12</sup> Zellner Arnold & Theil.H, Three-Stage Least Squares: Simultaneous Estimation of Simultaneous Equations, Econometrica, January 1962, Vol. 30, No. 1, pp. 68-69.

- تقدير معلمات كل معادلة من المعادلات الآنية المكتوبة على الشكل المختصر بطريقة المربعات الصغرى العادية،
- تحديد معاملات المعادلات الهيكلية (الصيغة الهيكلية) انطلاقا من معاملات المعادلات المختصرة (الصيغة المختصرة).

### 2. طريقة المربعات الصغرى المضاعفة (DMC)

تعتبر هذه الطريقة الأكثر استعمالا في الجانب العملي مقارنة بالطريقة السابقة، تستعمل كما ذكرنا سابقا في تقدير النماذج المعرفة تماما أو فوق معرفة. يتم فيها تطبيق طريقة المربعات الصغرى على مرحلتين تستبدل طريقة OMC المتغيرات الحددة مسبقًا. يزيل هذا الاستبدال تأثير التجانس من المتغيرات ويجعل من الممكن استخدام OLS، يمكن شرح خطوات هذه الطريقة من خلال المثال التالي

بحوزتنا النموذج الآيي التالي تحت الصيغة الهيكلية والذي يحتوي على  ${f g}$  متغيرة داخلية و  ${f k}$  متغيرة خارجية:

$$\begin{cases} \beta_{11}y_{1t} + \beta_{12}y_{2t} + \dots + \beta_{1g}y_{gt} + \gamma_{11}x_{1t} + \gamma_{12}x_{2t} + \dots \gamma_{1k}x_{kt} = \epsilon_{1t} \\ \beta_{21}y_{1t} + \beta_{22}y_{2t} + \dots + \beta_{2g}y_{gt} + \gamma_{21}x_{1t} + \gamma_{22}x_{2t} + \dots \gamma_{2k}x_{kt} = \epsilon_{2t} \\ \vdots \\ \beta_{g1}y_{1t} + \beta_{g2}y_{2t} + \dots + \beta_{gg}y_{gt} + \gamma_{g1}x_{1t} + \gamma_{g2}x_{2t} + \dots \gamma_{gk}x_{kt} = \epsilon_{gt} \end{cases}$$

• في المرحلة الأولى نقوم بكتابة النموذج على الشكل المختصر ثم نقوم بانحدار كل متغير داخلي على كل المتغيرات الخارجية.

$$\begin{cases} Y_{1t} = \pi_{11}x_{1t} + \pi_{12}x_{2t} + \cdots \pi_{1k}x_{kt} + v_{1t} \\ y_{2t} = \pi_{21}x_{1t} + \pi_{22}x_{2t} + \cdots \pi_{2k}x_{kt} + v_{2t} \\ \vdots & \dots \text{(FR)} \\ y_{gt} = \pi_{g1}x_{1t} + \pi_{g2}x_{2t} + \cdots \pi_{gk}x_{kt} + v_{gt} \end{cases}$$

• في المرحلة الثانية نقوم بتعويض المتغيرات الداخلية الموجودة في نموذج المعادلات الهيكلية بقيمها المقدرة من الصيغة المختصرة، كما يلي:

$$\begin{cases} y_{1t} = \beta_{12}\hat{y}_{2t} + \dots + \beta_{1g}\hat{y}_{gt} + \gamma_{11}x_{1t} + \gamma_{12}x_{2t} + \dots \gamma_{1k}x_{kt} + \epsilon_{1t} \\ y_{2t} = \beta_{21}\hat{y}_{1t} + \dots + \beta_{2g}\hat{y}_{gt} + \gamma_{21}x_{1t} + \gamma_{22}x_{2t} + \dots \gamma_{2k}x_{kt} + \epsilon_{2t} \\ \vdots \\ y_{gt} = \beta_{g1}\hat{y}_{1t} + \beta_{g2}\hat{y}_{2t} + \dots + \gamma_{g1}x_{1t} + \gamma_{g2}x_{2t} + \dots \gamma_{2k}x_{kt} + \epsilon_{gt} \end{cases}$$

تتميز هذه الطريقة عن طريقة MCI بإعطاء مقدر واحد فقط. وتحدر الإشارة إلى أنه يمكن تفسير مقدر MMC على أنه مقدر لطريقة المتغيرات الأداة Variables Instrumentales لأنه يمكن للمرء أن يقدر مباشرة معلمات الشكل الهيكلي باستخدام جميع المتغيرات الخارجية كمتغيرات أداة 13.

### 3. طريقة المربعات الصغرى الثلاثية (TMC):

تستخدم طريقة المربعات الصغرى الثلاثي لتقدير جميع معلمات النظام. يتم الحصول من خلال الخطوات التالية 14:

- تطبيق طريقة المربعات الصغرى الثنائية لتقدير المتغيرات الداخلية للنظام،
- تطبيق طريقة المربعات الصغرى المعممة على النموذج ، لمراعاة مشكلة عدم التجانس بين أخطاء المعادلات المختلفة

تعد طريقتا DMC و TMC أكثر الطرق شيوعًا في حل نماذج المعادلات الآنية. المقدرات المتحصل عليها من خلال هاتين الطريقتين لهما خصائص مشتركة وهي: مقدرات متقاربة، متحيزة للعينات الصغيرة ، والمقاربة الطبيعية. تتميز طريقة TMC بإعطاء مقدرات أكثر كفاءة لأنها ، على عكس طريقة DMC ، تأخذ في الاعتبار الارتباطات بين الأخطاء في المعادلات الهيكلية للنموذج. في حالة كل المعادلات محددة تماما، فإن طريقتي DMC و TMC تعطينا نفس المقدرات.

### تطبيقات

من خلال هذه النقطة سنقوم بتقدير نماذج المعادلة الآنية ،وكنماذج توضيحية اخترنا نموذج كينز Keynes ونموذج كلاين Klein المطبقة على بيانات الاقتصاد الجزائري، تمتد فترة التقدير من 1990 إلى 2019 أي 29 ملاحظة ، واختيار هذه الفترة يبرره توفر البيانات.

## 1. نموذج الاقتصاد الكلى لكينز

يأخذ نموذج كينز الصيغة الهيكلية التالية:

$$\begin{cases} C_{t} = a_{0} + a_{1}Y_{t} + a_{2}C_{t-1} + \epsilon_{1t} & (01) \\ I_{t} = b_{0} + b_{1}R_{t} + b_{2}I_{t-1} + \epsilon_{2t} & (02) \\ R_{t} = c_{0} + c_{1}Y_{t} + c_{2}M_{t} + \epsilon_{3t} & (03) \\ Y_{t} = C_{t} + I_{t} + G_{t} & (04) \end{cases}$$

يحتوي هذا النظام الآني على ثلاث معادلات أين يطلب تقدير معلماتها، ومعادلة رابعة والتي تمثل المعادلة التوازنية،  $R_t$  الناتج الداخلي الخام،  $R_t$ : الاستثمار المتغيرات الداخلية في كل من:  $R_t$ : الاستهلاك الناتج الداخلي الخام، الخام، المتغيرات الداخلية في كل من:  $R_t$ 

<sup>&</sup>lt;sup>13</sup> Kibala Kuma Jonas. Économétrie Appliquée: Manuel des cas pratiques sur EViews et Stata. Licence. Congo-Kinshasa. 2018, p58.

<sup>&</sup>lt;sup>14</sup> Dor Eric, Op.cit., p134.

<sup>&</sup>lt;sup>15</sup> Dor Eric, Op.cit., p134-136.

الخارجية تتمثل في:  $M_t$  عرض ،النقود  $G_t$  :الانفاق الحكومي،  $G_t$  الانفاق الحكومي،  $M_t$  عرض ،النقود كا التقدير .

### • تعریف (تحدید) معادلات النظام

يمكن كتابة الشكل الهيكلي للنموذج (I) على الشكل التالي: .

$$\begin{cases} C_{t}-a_{0}-a_{1}Y_{t}-a_{2}C_{t-1}=\epsilon_{1t} & (01) \\ I_{t}-b_{0}-b_{1}R_{t}-b_{2}I_{t-1}=\epsilon_{2t} & (02) \\ R_{t}-c_{0}-c_{1}Y_{t}-c_{2}M_{t}=\epsilon_{3t} & (03) \\ Y_{t}-C_{t}-I_{t}-G_{t}=0 & (04) \end{cases}$$
(II)

ولتسهيل خطوة التعريف نكتب النموذج عل الشكل المصفوفي التالي:

$$\begin{pmatrix} 1 & 0 & 0 & -a_1 \\ 0 & 1 & -b_1 & 0 \\ 0 & 0 & 1 & -c_1 \\ -1 & -1 & 0 & 1 \end{pmatrix} \begin{pmatrix} C_t \\ I_t \\ R_t \\ Y_t \end{pmatrix} + \begin{pmatrix} -a_0 & -a_2 & 0 & 0 & 0 \\ -b_0 & 0 & -b_2 & 0 & 0 \\ -c_0 & 0 & 0 & -c_2 & 0 \\ 0 & 0 & 0 & 0 & -1 \end{pmatrix} \begin{pmatrix} 1 \\ C_{t-1} \\ I_{t-1} \\ M_t \\ G_t \end{pmatrix} = \begin{pmatrix} \epsilon_{1t} \\ \epsilon_{2t} \\ \epsilon_{3t} \\ 0 \end{pmatrix}$$

$$\beta \ Y + \gamma \ X = \ \epsilon$$

les variables عثل شعاع المتغيرات الحاخلية و X شعاع المتغيرات الخارجية والمتغيرات المتأخرة بفترة

لدينا: 4=4 و K=4.

جدول 01: تحديد معادلات النظام الآبي

retardées، بحدف تحديد طريقة تقدير معادلات النظام نستعمل شرط الدرجة لتعريف المعادلات.

نقع	المتغيرات الداخلية				المتغيرات الخارجية							القوار	طريقة التقدير
المعادلة	C <sub>t</sub>	I <sub>t</sub>	R <sub>t</sub>	Y <sub>t</sub>	1	$C_{t-1}$	$I_{t-1}$	M <sub>t</sub>	G <sub>t</sub>	K-k	G-g		
01	1	0	0	-a <sub>1</sub>	-a <sub>0</sub>	-a <sub>2</sub>	0	0	0	3	2	فوق محددة	DMC/TMC
02	0	1	-b <sub>1</sub>	0	$-b_0$	0	$-b_2$	0	0	3	2	فوق محددة	DMC/TMC
03	0	0	1	-c <sub>1</sub>	$-c_0$	0	0	$-c_2$	0	3	2	فوق محددة	DMC/TMC
04	-1	-1	0	1	0	0	0	0	-1	/	/	/	/

من خلال النتائج كل معادلات النظام فوق محددة إذن لدينا خيار بين طريقة المربعات الصغرى المضاعفة أو الثلاثية.

### • تقدير المعادلات

قدرنا المعادلات كل واحدة على حدى بطريقة المربعات الصغرى المضاعفة، يمكننا تقدير كل معادلة مباشرة أو من خلال كتابة برنامج في مبرمج Eviews10.

لتقدير هذا النظام يمكن كتابة هذا البرنامج في المبرمج وهذا بإتباع الخطوات التالية:

File  $\rightarrow$  New  $\rightarrow$  Program

نتائج تقدير معادلة الاستهلاك

$$\hat{C}_{t} = -652,56 + 0,36Y_{t} + 0,69C_{t-1}$$
(-2.30) (2.69) (5.70)

(.) t.Student,  $F=1013,59 R^2 = 0,987$ 

حسب النتائج معلمات النموذج ذات معنوية إحصائية، إذن النموذج ككل معنوي (0,05>prob(F-statistic)) ، والمتغيرات المستقلة ذات تأثير معنوي على الاستهلاك (0,05>prob (t-statistic)).

نلاحظ من خلال نتائج التقدير أن هناك علاقة طردية ومعنوية بين الاستهلاك والناتج الداخلي الخام وكذلك الاستهلاك للفترة السابقة، هذه المتغيرات تفسر 98.7٪ من إجمالي الاستهلاك. إذا زاد الدخل بمقدار وحدة واحدة، مع ثبات المتغيرات الأخرى، يزداد الاستهلاك بمقدار 0.36 وحدة، وعندما يزيد استهلاك الفترة السابقة بوحدة واحدة، يزيد الاستهلاك الإجمالي بمقدار 0.69 وحدة.

## نتائج تقدير معادلة الاستثمار

$$\hat{I}_t = 38,56 + 6,90R_t + 1,02I_{t-1}$$
(0.96) (2.04) (40.12)

(.) t.Student, F=1633,084  $R^2 = 0,992$ 

معامل التحديد يساوي 0.99، وهذا يعني أن 99٪ من الاستثمار يتم تفسيره من خلال النموذج، وبالمثل نقبل الفرضية القائلة بأن المعلمات المقدرة للمعادلة ليست كلها صفرية ، وبالتالي فإن النموذج ككل معنوي (F-statistic)، والمتغيرات المستقلة لها تأثير كبير على الاستثمار. وفقًا لاختبار ستودنت، توجد علاقة ذات دلالة إحصائية بين استثمار الفترة (t-1) وسعر الفائدة.

نلاحظ كذلك أن هناك تأثيرًا إيجابيًا للاستثمار المتأخر وسعر الفائدة على الاستثمار في الزمن (t). تؤدي الزيادة في سعر الفائدة بمقدار وحدة واحدة إلى زيادة الاستثمار بمقدار 6.90 وحدة، مع ثبات المتغيرات الأخرى، وبالمثل تؤدي الزيادة في الاستثمار المتأخر بمقدار وحدة واحدة إلى زيادة قدرها 1.02 وحدة.

### نتائج تقدير معادلة معدل الفائدة

$$\widehat{R}_{t} = 6.91 - 0.003Y_{t} + 0.002M_{t}$$

$$(0.12) \quad (-0.20) \quad (0.39)$$

(.) t de Student, F=2.049  $R^2 = 0.105$ 

معامل التحديد يساوي 0.105 ، وهذا يعني أن 10٪ فقط من سعر الفائدة يتم شرحه من خلال النموذج ، أما فيما يخص المعلمات ليست كلها ذات دلالة إحصائية وفقا لاختبار ستودنت، والنموذج ككل غير معنوي ويظهر من خلال (prob (F-statistic)) .

إذن نموذج نموذج كينز على المعطيات الجزائرية يكتب كما يلي:

$$\begin{cases} \hat{C}_t = -652,56 + 0,36Y_t + 0,69C_{t-1} \\ \hat{I}_t = 38,56 + 6,90R_t + 1,02I_{t-1} \\ \hat{R}_t = 6,91 - 0,003Y_t + 0,002M_t \\ Y_t = C_t + I_t + G_t \end{cases}$$

### 2. غوذج كلاين Klein

يعتبر هذا النموذج نموذجًا رائدًا لنماذج الاقتصاد الكلي لنماذج المعادلات الآنية، يأخذ هذا النموذج الصيغة الهيكلية التالية:

$$\begin{array}{ll} cons_{t} = \alpha_{0} + \alpha_{1}p_{t} + \alpha_{2}p_{t-1} + \alpha_{3}(wpub_{t} + wpriv_{t}) + \epsilon_{1t} & (01) \\ i_{t} = \beta_{0} + \beta_{1}p_{t} + \beta_{2}p_{t-1} + \beta_{3}k_{t-1} + \epsilon_{2t} & (02) \\ w_{priv} = \gamma_{0} + \gamma_{1}x_{t} + \gamma_{2}x_{t-1} + \gamma_{3}t + \epsilon_{3t} & (03) \\ x_{t} = cons_{t} + i_{t} + g_{t} & (04) \\ p_{t} = x_{t} - w_{priv} - taxes_{t} & (05) \\ k_{t} = i_{t} + k_{t-1} & (06) \end{array}$$

الذي يمكن كتابه أيضا على الشكل التالي:

$$\begin{cases} cons_{t} = \alpha_{0} + \alpha_{1}p_{t} + \alpha_{2}p_{t-1} + \alpha_{3}(wpub_{t} + wpriv_{t}) + \epsilon_{1t} & (01) \\ i_{t} = \beta_{0} + \beta_{1}p_{t} + \beta_{2}p_{t-1} + \beta_{3}k_{t-1} + \epsilon_{2t} & (02) \\ w_{priv} = \gamma_{0} + \gamma_{1}x_{t} + \gamma_{2}x_{t-1} + \gamma_{3}t + \epsilon_{3t} & (03) \\ x_{t} = cons_{t} + i_{t} + g_{t} & (04) \\ p_{t} = x_{t} - w_{priv} - taxes_{t} & (05) \\ k_{t} = i_{t} + k_{t-1} & (06) \end{cases}$$

حيث:  $x_t$ : الاستهلاك النهائي،  $t_t$ : الاستثمار،  $wpriv_t$ : الأجور المدفوعة من القاع الخاص،  $x_t$ : الناتج:  $t_t$ : النهائي،  $t_t$ : النهائي،  $t_t$ : الاستثمار،  $t_t$ : الأجور المدفوعة من قبل الحكومة،  $t_t$ : النفقات العامة،  $t_t$ : الخام،  $t_t$ : الزمن (السنوات).

### تعریف (تحدید) معادلات النظام

- النظام:  $\checkmark$  عدد المتغيرات الداخلية في النظام ككل يقدر بـ 6 متغيرات والذي يمثل في نفس الوقت عدد معادلات النظام:  $i_t, wpriv_t, x_t, p_t, k_tcons_t$ 
  - $varpub_t,\,k_{t-1},\,x_{t-1},\,t,\,g_t,\,p_{t-1}:$  وهي النظام يقدر بـ 8 وهي النظام يقدر بـ v عدد المتغيرات الخارجية في النظام يقدر بـ v والملاحظ هنا وجود قيد في المعادلة الأولى والذي نرمز له في الجدول بـ v

جدول 02: تعریف معادلات النموذج

المعادلة			التعريف				
المعادلة	g - ģ	k -k	r	g-1	القاعدة	القرار	الطريقة
(01)	6-3	8-3	1	5	5 < 9	أكثر محددة	DMC/TMC
(02)	6-2	8-3	0	5	5 < 9	أكثر محددة	DMC/TMC
(03)	6-2	8-3	0	5	5 < 9	أكثر محددة	DMC/TMC

كل المعادلات أكثر محددة، يمكن استخدام طريقة المربعات الصغرى المضاعفة أو طريقة المربعات الصغرى الثلاثية لتقدير معلمات هذا النظام.

### نتائج التقدير

تم تقدير النظام باستعمال الطريقتين DMC و TMC، لكن كانت نتائج تقدير طريقة TMC أفضل من نتائج DMC.

بالاستعانة بمبرمج Eviews10 يمكن تقدير النظام باستعمال TMC وهذا بإتباع الخطوات التالية:

Object → New Object → System

ثم نكتب المعادلات التالية:

$$\begin{aligned} &cons = c(1) + c(2)*p + c(3)*p(-1) + c(4)*(wpub+wpriv) \ @ \ t \ wpub \ taxes \ g \ p(-1) \ k(-1) \ x(-1) \\ &i = c(5) + c(6)*p + c(7)*p(-1) + c(8)*k(-1) \ @ \ t \ wpub \ taxes \ g \ p(-1) \ k(-1) \ x(-1) \\ &wpriv = c(9) + c(10)*x + c(11)*x(-1) + c(12)*t \ @ \ t \ wpub \ taxes \ g \ p(-1) \ k(-1) \ x(-1) \end{aligned}$$

نتائج تقدير نظام Klein المطبق على الاقتصاد الجزائري كانت كمايلي:

$$\begin{cases} \widehat{cons}_t = 278,13 + 0,56p_t - 0,23p_{t-1} + 1,40(wpub_t + wpriv_t) & (01) \\ \widehat{\iota}_t = -1258,28 - 0,06p_t - 0,01p_{t-1} + 0,17k_{t-1} & (02) \\ \widehat{wpriv}_t = 134589,50 + 0,87x_t - 0,18x_{t-1} - 68,42t & (03) \\ x_t = cons_t + i_t + g_t & (04) \\ p_t = x_t - wpriv_t - taxes_t & (05) \\ k_t = i_t + k_{t-1} & (06) \end{cases}$$

النموذج المقدر على العموم معنوي، باستثناء بعض المعاملات، لذلك يمكن أن نقول أن نظام Klein يشرح الاقتصاد الجزائري.

الفصل الثالث: منهجية بوكس-جينكينز للأجل القصير

#### تمهيد

تناولنا في الفصلين السابقين أشكال النمذجة القياسية والمتمثلة في نمذجة ظاهرة بواسطة معادلة انحدار خطي وغير الخطي، وكذا النمذجة باستعمال نظام المعادلات الآنية، هذه النماذج تعتمد في تفسيرها للظاهرة على متغيرة واحدة أو عدة متغيرات مستقلة.

في هذا الفصل سنتحدث عن شكل آخر يتمثل في نماذج السلاسل الزمنية الخطية، التي تعتمد في تفسيرها للظاهرة على المتوسطات المرجحة للملاحظات الماضية والأخطاء العشوائية، ويشترط في هذا الشكل أن تكون السلسلة قيد الدراسة مستقرة. قبل التطرق إلى منهجية بوكس-جينكينز، سنتحدث عن بعض المفاهيم المتعلقة بالسلاسل المستقرة. والغير مستقرة.

### السلاسل الزمنية المستقرة والغير مستقرة

كما ذكرنا سابقا يشترط في دراسة نماذج السلاسل الزمنية أن تكون السلسلة قيد الدراسة مستقرة ، لذلك سنقدم مفهوم للسلسلة المستقرة، أنواعها والاختبارات المستعملة للكشف عن الاستقرارية.

### مفهوم السلسلة الزمنية المستقرة

السلسلة الزمنية المستقرة هي السلسلة التي يكون متوسطها وتباينها ثابتا مع مرور الزمن وقيم التغاير بين فترتين تعتمد فقط على المسافة أو الفجوة بين الفترتين وليس الزمن الفعلى الذي يتم فيه حساب التغاير 16.

### أهمية السلسلة الزمنية المستقرة

هناك عدة أسباب تقودنا إلى معرفة استقرارية السلسلة من عدمها، أولا أنه في حالة سلسلة غير مستقرة دراسة سلوكها يكون فقط في فترة معينة قيد النظر، لذلك لا يمكن تعميم هذا السلوك على فترات زمنية أخرى واستعمالها للتنبؤ. كما أن الصدمات الموجودة في سلسلة زمنية مستقرة ستكون مؤقتة وتأثيرهم عبر الزمن سوف يتلاشى كما تعود لقيم المتوسط في الأجل الطويل، عكس الصدمات الموجودة في السلاسل الزمنية الغير مستقرة تتضمن عناصر دائمة chocs .

ثانیا: تحلیل الانحدار المتعلق بسلاسل زمنیة غیر مستقرة قد یؤدي غالبا إلى ظاهرة الانحدار الزائف أو انحدار لیس له معنی، أي قد نحصل علی قیمة کبیرة لمعامل التحدید مع وجود بعض معاملات ذات معنویة إحصائیة علی أساس اختبارات  $\mathbf{t}$  والتی لا یکون موثوق بما لأنما تفرض أن تکون السلاسل مستقرة  $\mathbf{t}$ .

<sup>&</sup>lt;sup>16</sup> Gujarati Damodar, op.cit., p250.

<sup>&</sup>lt;sup>17</sup> Idem, P 251.

### أنواع السلاسل الزمنية الغير المستقرة

هناك نوعان من السلاسل الزمنية:

- السلاسل الزمنية من نوع Defferency Stationary DS هي عباره عن اتجاه عام عشوائي معامل ميله أكبر من السلاسل الزمنية من نوع Random walk هي عباره عن اتجاه عام عشوائية واسعة في الواحد، إن كان يساوي الواحد نحن في حالة سيرورة عشوائية Random walk وهذه السيرورة لها تطبيقات واسعة في مجال الأسهم وكفاءة الأسواق المالية. وتكون هده السلسلة غير مستقرة بسبب ارتباط الزمن بالتباين 18. الجعل السلسلة مستقرة نقوم بحساب الفروقات.
- السلسلة Trend Stationary TS هي السلسلة التي تملك اتجاه عام خطي وعدم استقرارها يعود إلى ارتباط المتوسط بالزمن ولجعلها مستقرة نقوم بإجراء انحدار لها على الزمن أو متغيرة الاتجاه بواسطة المربعات الصغرى، ومن ثم فان بواقى الانحدار سوف تمثل سلسلة زمنية خالية من الاتجاه العام.

### اختبارات الاستقرارية

توجد عدة أدوات تشخيصية لمعرفة ما إذا كانت السلسلة الزمنية مستقرة أم لا من بينها نجد:

- 1. من خلال الرسم البياني للسلسلة الزمنية: وهي طريقة بسيطة تتمثل في الرسم البياني للسلسلة الزمنية، هذا الرسم هو أداة قيمة للحصول على طبيعة السلسلة الزمنية، حيث يعطينا بعض الأفكار حول ما إذا كانت السلسلة مستقرة أم لا.
  - 2. اختبارات تساوي المتوسطات والتباينات.
  - 3. من خلال دالة الارتباط الذاتي (AFC) وفحص مخطط الارتباط الزمني Correlogram للسلسلة الزمنية تعرف دالة الارتباط الذاتي (AFC) عند الرتبة k كمايلي:

$$\phi_k = rac{\gamma_{ ext{k}}}{\gamma_0} = rac{k}{1}$$
التغاير عند المتباطئة

ولتحديد فترة الإبطاء k نستخدم معيار Akaike أو Schwarz. رسم  $\hat{\phi}_k$  مقابل k وطول فترة الإبطاء يسمى Correlogram للعينة، حيث في حالة سلسلة غير مستقرة وعند فترة إبطاء معينة يكون معامل الارتباط قوي جدا، ومعاملات الارتباط الذاتي المقدرة تنخفض يبطئ شديد. نشير فقط أن في حالة سلسلة غير مستقرة معناه الارتباطات المقدرة تكون خارج مجال الثقة. كذلك من خلال إحصائية k الذي تم تطويره بواسطة Box-Pierce يمكننا معرفة هل السلسلة مستقرة، حيث إذا كانت القيمة الاحتمالية k أقل من 0,05 معناه السلسلة ليست مستقرة.

<sup>18</sup> لأكثر تفاصيل أنظر كتاب:

4. اختبارات جذر الوحدة: وهي الاختبارات الشائعة لتحديد استقرارية سلسلة زمنية، تبين كذلك هذه الاختبارات نوع السلسلة من نوع DS أو من نوع TS). توجد عدة اختبارات جذر الوحدة من بينها نذكر اختبار جذر الوحدة لديكي فولر (Augmented dickey-fuller (ADF) ، القائم على اختبار الفرضية  $H_0: \emptyset_1 = \emptyset_1$  التالية:  $\emptyset_1 = \emptyset_1$  ففي حالة قبول هذه الفرضية في أحد النماذج التالية، إذن النموذج غير مستقر.

النماذج هي:

$$\begin{cases} X_{t} = \emptyset_{1}X_{t-1} + \varepsilon_{t} \dots (1) \\ X_{t} = \beta + \emptyset_{1}X_{t-1} + \varepsilon_{t} \dots (2) \\ X_{t} = \emptyset_{1}X_{t-1} + bt + c + \varepsilon_{t} \dots (3) \end{cases}$$

في النموذج (3): في حالة قبول  $0 < H_1$ :  $0 < H_1$  وكان معامل الزمن  $0 < H_1$  معنوي، إذن السيرورة من نوع TS.

# منهجية بوكس-جينكينز <sup>19</sup>

منهجية بوكس جينكينز هي طريقة تنبؤية قصيرة المدى جاء بما الإحصائيين البريطانيين جورج بوكس ووليام جنكينز (box -jenkinz) سنة 1976 في كتابهما forecasting&control، تفوقت الطريقة من حيث الجانب النظري لأنها تعتمد على نظريات رياضية معقدة، لكن لم تنجح من الجانب التطبيقي إلا بعد تطور البرمجيات الإحصائية. تستخدم نماذج بوكس-جينكينز للتنبؤ في المدى القصير وتضعف كلما زادت فترة التنبؤ. من شروط هذه الطريقة أن كل سلسلة تدرس على حدى، أن تكون السلسلة مستقرة، عدم وجود قيم مفقودة، سيرورات البيانات خطية. هناك نوعان من هذه النماذج: النماذج اللاموسمية والنماذج الموسمية.

### النماذج اللاموسمية

تنقسم هذه النماذج إلى قسمين وهما النماذج اللاموسمية المستقرة والنماذج اللاموسمبة الغير المستقرة. النماذج اللاموسمية المستقرة هي النماذج التي تكون فيها السلسلة الزمنية مستقرة عند المستوى وتشمل: نماذج الانحدار الذاتي والمتوسطات المتحركة (ARMA(p,q)، تسمى هذه الماذج المتوسطات المتحركة (ARMA(p,q)، تسمى هذه النماذج في أدبيات القياس الاقتصادي بنماذج بوكس – جينكينز، وهي مزيج بين (AR(P) ونموذج (السنوية)، أما النماذج اللاموسمية الغير مستقرة فهي النماذج التي تكون فيها السلسلة المستوى وتشمل هذه النماذج نماذج نماذج الانموسمية الغير مستقرة عند المستوى وتشمل هذه النماذج نماذج نماذج الانموسمية النماذ الذاتي المتكاملة للمتوسطات المتحركة.

• غاذج الانحدار الذاتي (AR(P: نعتبر النموذج:

$$y_{\mathsf{t}} = \emptyset_0 + \emptyset_1 y_{\mathsf{t}-1} + \dots + \emptyset_{\mathsf{p}} y_{\mathsf{t}-\mathsf{p}} + \mathsf{u}_{\mathsf{t}}$$

<sup>&</sup>lt;sup>19</sup> لأكثر تفاصيل حول هذه الطريقة : حشمان مولود، السلاسل الزمنية وتقنيات التنبؤ القصير المدي، ديوان المطبوعات الجامعية ، 2010.

حيث: ut: هو حد الخطأ يحقق فرضية التشويش الأبيض.

يسمى هذا النموذج بنموذج الانحدار الذاتي من الدرجة p أي (AR(P) حيث يتم انحدار المشاهدة في الفترة الخالية على قيمها في فترات تأخير لفترة P من الماضي، يتم تحديد درجة التأخير بالاعتماد على عدة معايير والتي سنتحدث عن بعضها في النقاط الموالية.

• نماذج المتوسطات المتحركة ( $\mathbf{MA}(\mathbf{q})$  : يمكن نمذجة  $Y_t$  على النحو التالي:

$$Y_{t} = \boldsymbol{\theta}_{0} + \boldsymbol{\theta}_{1} \mu_{t-1} + \dots + \boldsymbol{\theta}_{q} \mu_{t-q}$$

أي أننا نعبر عن  $Y_{
m t}$  كمتوسط مرجح أو متحرك لحدود الخطأ للفترة الحالية والفترة الماضية.

### • نموذج الانحدار الذاتي والمتوسطات المتحركة (ARMA(p,q)

هناك سيرورات عشوائية لا يمكن نمذجتها على أنها مجرد متوسط متحرك أو انحدار ذاتي فقط، بل يمكن أن تحتوي على خصائص النوعين من السيرورات معا .بحيث تشمل قسم المتوسطات المتحركة ذي الدرجة P وعلى القسم الانحداري ذي الدرجة p، يكتب هذا النموذج على الشكل العام التالي:

$$y_t = \emptyset_0 + \emptyset_1 y_{t-1} + \emptyset_2 y_{t-2} + \dots + \emptyset_p y_{t-p} + \mu_t + \theta_0 - \theta_1 \mu_{t-1} - \theta_2 \mu_{t-2} - \dots - \emptyset_q \mu_{t-q}$$

## ullet ARIMA(p,d,q) المتكامل المتحركة والانحدار الذاتي المتكامل ullet

إذا كانت السلسلة الزمنية الأصلية غير مستقرة فيقال عليها أنها متكاملة، وإذا تعين الحصول على فروقات السلسلة له مرة حتى تصبح مستقرة، يقال عندئذ أن السلسلة الأصلية متكاملة من الدرجة d. ويرمز لها (I(d)، تعرف النماذج في هذه الحالة بنماذج (ARIMA(p,d,q)، حيث تشير d إلى عدد مرات التكامل التي يجب فيها أخذ فروق السلسلة الزمنية لجعلها مستقرة. في معظم التطبيقات d=1، أي نأخذ فقط الفروق الأولى للسلسلة الزمنية.

### النماذج الموسمية

هناك العديد من الجوانب الأخرى لطريقة بوكس-جينكينز، منها الموسمية، فالعديد من السلاسل الزمني يظهر فيها ما يسمى بالسلوك الموسمي. فمن أهم مكونات السلسلة الزمنية نجد المركبة الموسمية، والتي تتمثل في التغيرات الدورية والتي تحصل بأشكال منتظمة يمكن أن تتكرر في نفس اليوم، الشهر أو الفصل....تسمى هذه النماذج بنماذج أريما الموسمية. SARIMA أو بالنماذج المختلطة ذي المركبة الموسمية.

### • دراسة نموذج فيه تقلبات موسمية

هو نموذج غير مستقر يتميز بتقلبات موسمية مشتق من نموذج ARIMA ويكتب باختصار بالصيغة التالية:  $SARIMA(p,d,q)(P,D,Q)_s$ 

$$\boldsymbol{\emptyset}_p(\boldsymbol{\beta})\boldsymbol{\phi}_p(\boldsymbol{\beta}^s)(1-\boldsymbol{\beta})^d(1-\boldsymbol{\beta})^D\boldsymbol{X}_t = \boldsymbol{\theta}_q(\boldsymbol{\beta})\boldsymbol{\theta}_Q(\boldsymbol{\beta}^s)\boldsymbol{\epsilon}_t$$

حيث:

و الفروق،  $\phi_p(\beta)\phi_p(\beta^s)$  و الخدار الذاتي الموسمي، p: درجة q: درجة q: درجة التكامل أو الفروق، q: درجة التكامل أو الفروق الموسمي، q: درجة q: درجة q: درجة التكامل أو الفروق الموسمي، q: درجة q: درجة q: درجة التكامل أو الفروق الموسمي، q: درجة q: درجة التكامل أو الفروق الموسمي، q: درجة q: درجة التكامل أو الفروق الموسمي، q: درجة q: درجة التكامل أو الفروق،

$$SAR(1) \rightarrow ARIMA(0,0,0)s(1,0,0)$$
$$SX_t = X_{t-s} + \varepsilon_t$$

- تحديد واكتشاف الفصلية: يمكننا تحديد وجود الفصلية من خلال:
- 1. التمثيل البياني للسلسلة، حيث يمكننا ملاحظة تكرار الظاهرة في كل شهر من كل سنة أو في كل فصل.... أي أننا نلاحظ نفس الصورة تتكرر.
- 2. دالة الارتباط الذاتي: حيث كلما زاد اتساع التقلبات الموسمية زاد وضوحها من خلال التذبذبات المتكررة في مخطط دالة الارتباط الذاتي(نفس النمط يتكرر)، لكن في بعض الحالات هذا المنحنى لا يبين لنا وجود المركبة الفصلية وهذا في حالة احتواء السلسلة على مركبة الاتجاه العام، فهذه الأخيرة تغطي المركبة الفصلية، إذن في مثل هذه الحالات يجب نزع مركبة الاتجاه العام قبل الكشف عن الفصلية.
- 3. تقدير نموذج الانحدار مع مركبات موسمية وهمية وفحص معنوياتها، فإذا كانت معاملات الموسمية معنوية فهذا يدل على وجود مركبة فصلية.
- 4. من خلال التمثيل البياني لكل شهر مع رسم المتوسط بخط أفقي، ففي حالة عدم تساوي متوسطات الأشهر فالسلسة تحتوي على المركبة الفصلية.
- 5. اختبار تحليل التباين: والذي يعتمد على اختبار تساوي متوسطات الشهور، ففي حالة وجود مركبة فصلية تكون المتوسطات في الشهور غير متساوية.
  - نمذجة الموسمية: يمكن نمذجة الموسمية بأكثر من طريقة ومن أشهرها:
    - طريقة بوكس جينكينز لنمذجة الموسمية،

- نماذج التمهيد الأسى: طريقة هولت وينترز.
  - نماذج سلسلة فوريير الدورية.
- التعديل الموسمي: بعد فحص السلسلة الزمنية وتأكد من وجود الأثر الموسمي يتم إجراء التعديل الموسمي اللازم لها عن طريق إزالة هذه التغيرات من السلسلة، وهذا لجعل السلسلة الزمنية مستقرة وحتى يتسنى لنا نمذجتها بطريقة بوكس جينكينز. هناك عدة طرق لإزالة الموسمية إما:
  - بأخذ الفروق الموسمية:

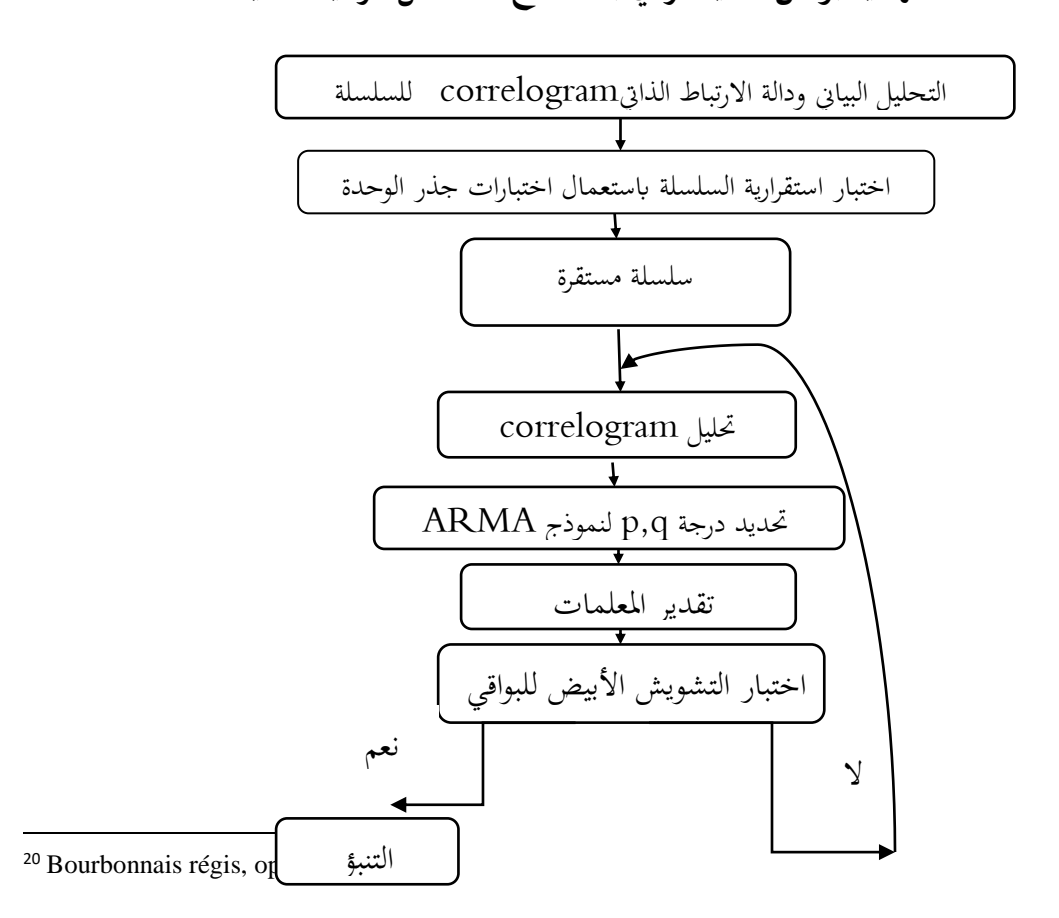
$$\Delta_s X_t = (1-eta^S) X_t = X_t - X_{t-s}$$
 .  $S=4$  . في حالة معطيات شهرية  $S=12$  ، في حالة المعطيات فصلية

• أو باستخدام طريقة المتوسطات المتحركة.

# مراحل تطبيق طريقة بوكس جينكينز

السؤال العملي هو كيفية تحديد النموذج المناسب للسلسلة قيد الدراسة؟ وللإجابة على هذا السؤال نتبع منهجية بوكس- جينكينز الموضحة في لمخطط التالي:

المخطط 1: منهجية بوكس -جينكتر في بناء نماذج السلاسل الزمنية الخطية  $^{20}$ 



حسب المخطط (1) يمكن بناء نموذج لسلسة زمنية اعتمادا على منهجية بوكس-جينكينز بإتباع المراحل التالية:

- 1. المرحلة الأولى: مرحلة التشخيص أو التعريف Identification،
  - 2. المرحلة الثانية: مرحلة التقدير Estimation،
  - 3. المرحلة الثالثة: مرحلة الفحص التشخيصي Diagnostic ،
    - 4. المرحلة الرابعة: مرحلة التنبؤ. Prévision،

### المرحلة الأولى: مرحلة التشخيص أو التعريف Identification

في هذه المرحلة ندرس استقرارية السلسة الزمنية، وكما ذكرنا سابقا يمكن الاستعانة إما بالرسم البياني أو برسم دالتي الارتباط الذاتي والارتباط الذاتي والارتباط الذاتي الجزئي، أو بالاستعانة باختبارات جذر الوحدة.

بعد الحصول على الاستقرار فإنه من خلال دالة الارتباط الذاتي ACF ودالة الارتباط الذاتي الجزئي PACF يمكننا تمييز نوعية السلوك الخاص بالانحدار الذاتي أو المتوسط المتحرك أو لكليهما معا ، فبالنسبة:

- لنماذج المتوسطات المتحركة من الدرجة q تنعدم معاملات الارتباط الذاتي ACF معنويا مباشرة بعد الدرجة q بينما دالة الارتباط الجزئية PACF تبقى متدهورة أي متناقصة بعد هذه الفترة ولكنها لا تنعدم.
- لنماذج الانحدار الذاتي من الدرجة q فإن معاملات الارتباط الذاتي الجزئية PACF تنعدم معنويا مباشرة بعد هذه الدرجة، بينما تبقى دالة الارتباط الذاتي ACF متناقصة ولكنها لا تنعدم بنفس السرعة.
- أما النماذج المختلطة فإن الدالتين تبقيان مستمرتين في التدهور ولكنهما لا تنعدمان معنويا عند الدرجتين المذكورتين سابقا.

إذن يمكننا تحديد القيم الممكنة لنموذج المتوسطات المتحركة من خلال دالة الارتباط الذاتي، والقيم الممكنة لنموذج الانحدار الذاتي من خلال دالة الارتباط الذاتي الجزئي. والجدول التالي يلخص هذه الحالات:

الجدول 01: تطور طبيعة النموذج وفق منحني دالتي الارتباط الذاتي والارتباط الذاتي الجزئي

PACF	ACF	النماذج
معاملات دالة الارتباط الذاتي معنوية أي خارج معاملات دالة الارتباط الثقة بعد الدرجة p	تتناقص الدالة تدريجيا أو أسي	AR(P)
تتناقص تدريجيي أو أسي للدالة	معاملات دالة الارتباط الذاتي معنوية أي خارج مجال الثقة بعد الدرجة q	MA(q)

تناقص أسي بعد الرتبة q	تناقص أسي بعد الرتبة p	ARMA(p,q)
تحدد لنا رتبة AR	قحدد لنا رتبة MA	

#### المرحلة الثانية: مرحلة التقدير Estimation

بعد اختيار النماذج الملائمة لوصف السلسلة الزمنية نقوم بتقدير معالم هذه النماذج باستخدام طريقة المربعات الصغرى العادية، لكن في بعض الحالات يجب علينا اللجوء إلى أساليب التقدير غير الخطية في المعلمات.

من بين طرق تقدير معالم نموذج الانحدار الذاتي نجد: طريقة معادلات يول-ولكر Yule-Walker، الطريقة الانحدارية. أما تقدير معالم المتوسطات المتحركة والمختلطة فهي أكثر تعقيدا كونها غير خطية في المعالم من جهة، وعدم مشاهدة متغير الأخطاء من جهة أخرى، من بين طرق التقدير نجد طريقة البحث التشابكي، طريقة غوس-نيوتن.

# المرحلة الثالثة: مرحلة الفحص التشخيصيDiagnostic

بعد تحديد أفضل نموذج نحتبر البواقي لهذا النموذج لمعرفة مدى صحة فرضيات النموذج. ففي حالة تحقق الفرضيات المعتمد عليها في التقدير نستعين بهذا النموذج في التنبؤ، وفي حالة العكس نعود للخطوة الأولى لتعيين واختيار نموذج آخر. تتطلب هذه المرحلة الخطوات التالية:

- اختبار معنوية المعالم والمعنوية الكلية للنموذج: بالاستعانة بكل من اختبار فيشر لدراسة معنوية النموذج ككل، واختبار ستودنت لدراسة معنوية المعلمات.
- اختبار الارتباط الذاتي للأخطاء: نقارن دالة الارتباط الذاتي للسلسلة الأصلية مع تلك الخاصة بالسلسلة المقدرة، في حالة وجود اختلاف كبير بينهما، فإنه دليل قاطع على فشل عملية التحديد، وهذا يستدعي إعادة بناء النموذج وتقديره من جديد.أما إذا تشابحت الدالتان، فإننا ننتقل إلى دراسة وتحليل بواقي التقدير مع دالة الارتباط الذاتي للبواقي. يجب أن تقع معاملات الارتباط الذاتي الكلية لهذه البواقي داخل مجال الثقة. كما يمكننا الاستعانة باختبار LM test
- اختبارات تجانس تباين الأخطاء : حيث يجب أن يكون تباين الأخطاء متجانس، من بين الاختبارات المستعملة نجد اختبار ARCH, WHITE ....
- اختبار التوزيع الطبيعي: لحساب مجالات الثقة للتنبؤ واستعمال اختبار ستودنت (دراسة معنوية المعلمات) يجب التأكد من التوزيع الطبيعي للأخطاء. يسمح لنا اختبار التوزيع الطبيعي للأخطاء. Skewness للتناظر وخاصة Kurtosis للتفلطح باختبار التوزيع الطبيعي للأخطاء.

في بعض الحالات قد يحدث أن يكون هناك مجموعة من النماذج غير المرفوضة بواسطة الأدوات الإحصائية السابقة الذكر، أي نموذج نختار في هذه الحالة؟ للقيام بعملية المفاضلة بينها نستعمل المعايير التالية:

الخاصية	المعايير
الأكثر معنوية للمعالم	معنوية المعلمات
أكثر تفسيرا	معامل التحديد المعدل
أقل تباين أو تذبذب	درجة التذبذب Sigma <sup>2</sup>
أقل قيمة	Akaike معيار المعلومات لـ Akaike
أقل قيمة	معیار Hannan-Quinn
أقل قيمة	Schwarz معيار ل

#### المرحلة الرابعة: مرحلة التنبؤ. Prévision

نصل الآن إلى أخر مرحلة من مراحل بناء نموذج السلاسل الزمنية باستعمال طريقة بوكس-جينكينز وهي مرحلة التنبؤ، هذا الأخير قد يكون داخل العينة أو خارجها، بشكل عام التنبؤ خارج العينة يعد أفضل اختبار لمدى صلاحية النموذج.

بعد عملية التنبؤ نلجأ إلى استعمال طرق لقياس أو لفحص دقة التنبؤ، من بينها نجد:

- أحصائيات (u2) Theil
- MAPE: متوسط القيم المطلقة للخطأ،
- RMSE: متوسط نسب القيم المطلقة للخطأ،
  - الجذر التربيعي لمتوسط مربعات الخطأ.
- في حالة الانكسارات الهيكلية نستخدم مجموعة اختبارات لدراسة مدى ثبات التنبؤ من بينها اختبار Fan chart هذه الطريقة تعطينا مجالات الثقة تبين أين تميل فيها التنبؤات.

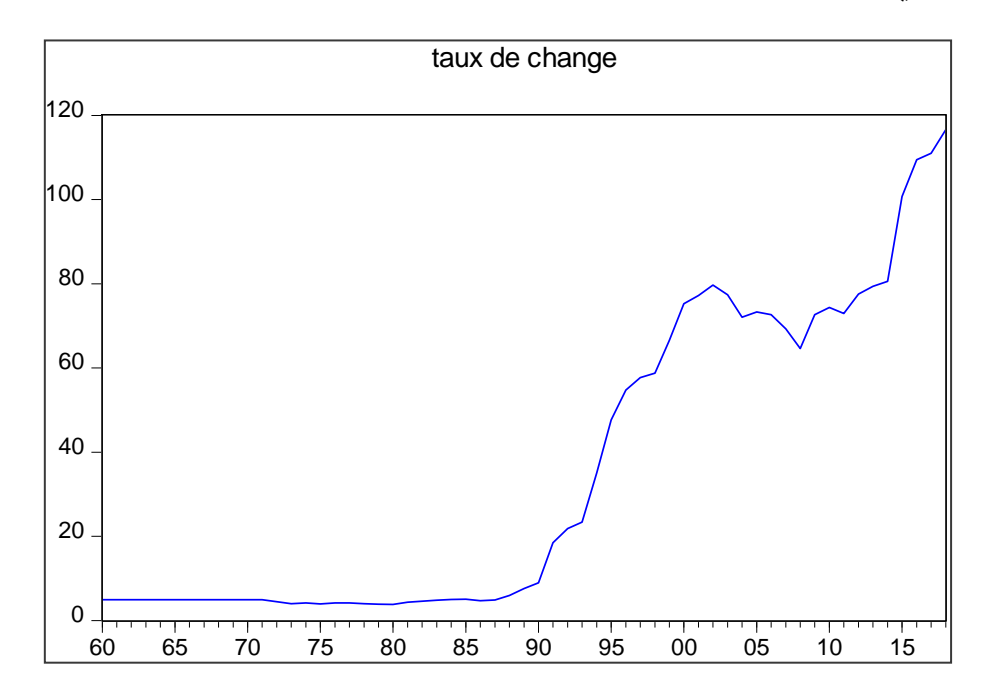
## تطبيق طريقة بوكس - جنكينز على معطيات اقتصادية

سنحاول من خلال هذه النقطة تطبيق طريقة بوكس-جينكينز على معطيات اقتصادية ذات بيانات سنوية وشهرية للتنبؤ بسيرورتها على المدى القصير وهذا بإتباع الخطوات الموضحة سابقا.

المثال الأول: معطيات المثال الأول خاصة بالاقتصاد الجزائري وهي خاصة بتطور سعر الصرف<sup>21</sup> خلال الفترة الممتدة من 1960 إلى غاية 2018، نرمز لهذه السلسلة بـ TC.

### المرحلة الأولى: مرحلة التشخيص أو التعريف Identification

# • التمثيل البياني للسلسلة الزمنية TC:



من خلال البيان نلاحظ ظهورا لمركبة الاتجاه العام بشكل واضح. كما نلاحظ استقرار سعر الصرف في سنوات الستينات والسبعينات حتى منتصف الثمانينات، وهذا راجع لخضوع سعر الصرف لقاعدة الذهب في تلك الفترة و كان سعر الصرف يضاهي العملات الأجنبية الأخرى كالفرنك الفرنسي والدولار الأمريكي..، لكن مع ظهور الأزمة النفطية سنة 1986 وانخفاض أسعار النفط إلى 9 دولارات، وبما أن الآن الاقتصاد الجزائري اقتصاد ريعي يعتمد على النفط ولذلك فان السلطات الجزائرية بقيت في كل مرة في تخفيض العملة المحلية مقابل الدولار إما لأسباب مبررة بحدف تشجيع الصادرات أو تخفيض الواردات وتشجيع الاستهلاك المحلي، لكن في بعض المرات لأسباب غير مبررة خاصة في العشريتين الأخيرتين وحسب بعض المحللين السبب يعود إلى ظهور الفساد كتهريب الأموال والعملات الأجنبية إلى الخارج. النتيجة التي يمكن استخلاصها من خلال التمثيل البياني أن السلسلة تحوي على مركبة الاتجاه العام وبالتالي ليست ساكنة. وللتأكد من ذلك نستعين باختبار جذر الوحدة لديكي فولر المطور أو المعدل (ADF)، النتائج في النقطة الموالية:

المعطيات متوفرة على الموقع: <sup>21</sup>

 $<sup>\</sup>frac{https://perspective.usherbrooke.ca/bilan/servlet/BMTendanceStatPays?langue=fr\&codePays=DZA\&codeStat=PA.NUS.}{FCRF\&codeStat2=x}$ 

# • رسم منحنى دالتي الارتباط الذاتي والارتباط الذاتي الجزئي:

بعد إدخال المعطيات في مبرمج EVIEWS 10 نتبع الخطوات التالية لرسم منحنى دالة الارتباط الذاتي (AC) ودالة الارتباط الذاتي الجزئي (PAC):

View → correlogram

Date: 06/05/22 Time: 17:32 Sample: 1960 2018 Included observations: 59							
Autocorrelation	Partial Correlation		AC	PAC	Q-Stat	Prob	
		1 2 3 4 5 6 7 8 9 10	0.821 0.760 0.716 0.670 0.620 0.575 0.529 0.484 0.447 0.407	0.943 -0.052 -0.059 -0.018 0.116 -0.057 -0.062 0.014 -0.014 -0.028 0.034 -0.053	55.190 104.50 147.84 185.68 219.87 250.31 276.92 300.22 320.34 337.55 352.54 365.20	0.000 0.000 0.000 0.000 0.000 0.000 0.000 0.000 0.000	
	'   '	13 14 15	0.320	-0.052 -0.036 -0.012	375.56 383.77 390.03	0.000 0.000 0.000	
		16 17 18	0.224 0.165	-0.135 -0.099 -0.027	394.21 396.55 397.55	0.000 0.000 0.000	
		19 20 21		-0.065 -0.033	397.75 397.76 398.07	0.000 0.000 0.000	
		22 23	-0.112 -0.166 -0.215	-0.094 -0.070	399.29 402.05 406.81	0.000 0.000 0.000	
	1		2.2.0	3		2.000	

نلاحظ من خلال تحليل مخطط الارتباط الزمني للسلسلة Correlogram أن المعاملات المحسوبة من أجل الابطاءات أو التأخيرات  $h=1,2,\ldots,24$  تختلف معنويا عن الصفر عند مستوى معنوية  $h=1,2,\ldots,24$  الأبطاءات أو التأخيرات Q-Stat تغيرة بطيئة نحو الصفر، كما يثبت لنا اختبار Ejung-Box من خلال إحصائية Q-Stat أن قيمتها التي تقدر 406.81 وهي كبيرة جدا مقارنة بالقيمة المجدولة لكاي مربع عند درجة حرية  $h=1,2,\ldots,24$  ومنه نرفض فرضية العدم التي تنص على أن معاملات الارتباط الذاتي تساوي معنويا الصفر عند مستوى معنوية  $h=1,2,\ldots,24$  وسكون السلسلة ليست مستقرة. يمكننا أيضا الاستعانة باختبارات جذر الوحدة للتأكد من استقرارية أو سكون السلسلة الزمنية.

### • اختبار جذر الوحدة Unit Root test

كما ذكرنا سابقا جذر الوحدة هو حركة عشوائية أو اتجاه عشوائي في السلسلة الزمنية. ماهي المشكلة في حالة وجود جذر وحدة في السلسلة الزمنية؟ المشكلة هي أنه لو كانت السلسلة تحوي على جذر الوحدة تظهر فيها أنماط منهجية غير قابلة للتنبؤ.

سؤال: كيف نختار درجة التأخير h أو طول فترة الإبطاء في مبرمج EVIEWS؟ لاختيار هذه الفترة نتبع الخطوات التالمة:

Quick  $\rightarrow$  estimate var  $\rightarrow$  endegenous variables  $\rightarrow$  nom de variable  $\rightarrow$  ok Quick  $\rightarrow$  estimate var  $\rightarrow$  endegenous variables  $\rightarrow$  TC  $\rightarrow$  ok

يظهر تقدير ذاتي للسلسلة الزمنية TC على نفسها، ثم نضغط على :

 $View \rightarrow lag structure \rightarrow lag length criteria \rightarrow ok$ 

نحتار أطول فترة إبطاء ممكنة ونتحصل على الجدول التالي:

VAR Lag Order Selection Criteria Endogenous variables: TC Exogenous variables: C Date: 06/05/22 Time: 19:33 Sample: 1960 2018 Included observations: 54

Lag	LogL	LR	FPE	AIC	sc	HQ
0	-271.0125	NA	1389.450	10.07454	10.11137	10.08874
1	-155.3709	222.7172	19.89975	5.828550	5.902217	5.856961
2	-151.8259	6.696106	18.11117	5.734291	5.844790	5.776906
3	-151.6733	0.282541	18.69156	5.765678	5.913010	5.822498
4	-147.5779	7.432449*	16.67127*	5.651032*	5.835197*	5.722057*
5	-147.3989	0.318118	17.19271	5.681441	5.902440	5.766672

\* indicates lag order selected by the criterion

LR: sequential modified LR test statistic (each test at 5% level)

FPE: Final prediction error

AIC: Akaike information criterion SC: Schwarz information criterion

HQ: Hannan-Quinn information criterion

من خلال هذا الجدول درجة الإبطاء الخاصة بمذه السلسلة هي h=4، والتي تم اختيارها على أساس تصغير قيم من خلال هذا الجدول درجة الإبطاء الخاصة بمكنا أيضا الاعتماد على قيمة التأخير التي يحددها البرنامج تلقائيا.

- نتائج اختبار ADF: للقيام بمذا الاختبار نتبع الخطوات التالية:
- اختبار جذر الوحدة في حالة سلسلة تحتوي على قاطع Intercept

 $View \rightarrow Unit\ root\ test \rightarrow augmented\ Dickey\ fuller \rightarrow test\ for\ unit\ root\ in\ Level \rightarrow includ\ in\ the\ test\ equation \rightarrow intercept \rightarrow ok$ 

تظهر لنا النتائج المدونة في الجدول التالي:

Null Hypothesis: TC has a unit root							
Exogenous: Constant							
Lag Length: 1 (Automat	ic - based on S	IC, maxlag=10	0)				
			t-Statistic	Prob *			
			Cidiono				
Augmented Dickey-Full	er test statistic		0.998292	0.9961			
Test critical values:	1% level		-3.550396				
	5% level		-2.913549				
	10% level		-2.594521				
*MacKinnon (1996) one-sided p-values.							
Augmented Dickey-Full	or Toot Faulatio						
Dependent Variable: D(		111					
Method: Least Squares							
Date: 06/05/22 Time: 1							
Sample (adjusted): 196							
Included observations:		ments					
Variable	Coefficient	Std. Error	t-Statistic	Prob			
74.142.15	0000.0	Old: Ellis.	· Claudio				
TC(-1)	0.016324	0.016352	0.998292	0.3226			
D(TC(-1))	0.365710	0.132396	2.762251	0.0078			
C	0.714200	0.751535	0.950322	0.3462			
R-squared	0.184325	Mean depen	dontwor	1.958895			
Adjusted R-squared	0.154115	S.D. depend		4.382097			
S.E. of regression	4.030304	Akaike info c		5.676757			
Sum squared resid	877 1409	Schwarz crite		5.784286			
Log likelihood	-158.7876	Hannan-Quir		5.718546			
F-statistic	6 101407	Durbin-Wats		1.941526			
Prob(F-statistic)	0.004083	Dui bill-vvats	on stat	1.541520			

# • اختبار جذر الوحدة في حالة سلسلة تحتوي على قاطع واتجاه عام Trend and Intercept

 $View \rightarrow Unit\ root\ test \rightarrow augmented\ Dickey\ fuller \rightarrow test\ for\ unit\ root\ in\ Level \rightarrow includ\ in\ the\ test\ equation \rightarrow trend\ and\ intercept \rightarrow ok$ 

# تظهر النتائج التالية:

Null Hypothesis: TC has a unit root Exogenous: Constant, Linear Trend Lag Length: 3 (Automatic - based on SIC, maxlag=10)							
			t-Statistic	Prob.*			
Augmented Dickey-Fulle	er test statistic		-2.019287	0.5780			
Test critical values:	1% level		-4.133838				
	5% level		-3.493692				
	10% level		-3.175693				
*MacKinnon (1996) one	-sided p-value	s.					
Dependent Variable: D( Method: Least Squares Date: 06/05/22 Time: 1 Sample (adjusted): 196 Included observations:	9:49 4 2018	ments					
Variable							
variable	Coefficient	Std. Error	t-Statistic	Prob.			
TC(-1)	-0.072397	9.035853	t-Statistic				
				0.0489			
TC(-1) D(TC(-1)) D(TC(-2))	-0.072397 0.419771 -0.198406	0.035853 0.128832 0.139662	-2.019287 3.258275 -1.420621	0.0489 0.0020 0.1618			
TC(-1) D(TC(-1))	-0.072397 0.419771 -0.198406 0.414371	0.035853 0.128832 0.139662 0.133297	-2.019287 3.258275 -1.420621 3.108624	0.0489 0.0020 0.1618 0.0031			
TC(-1) D(TC(-1)) D(TC(-2)) D(TC(-3)) C	-0.072397 0.419771 -0.198406 0.414371 -2.314391	0.035853 0.128832 0.139662 0.133297 1.432940	-2.019287 3.258275 -1.420621 3.108624 -1.615134	0.0489 0.0020 0.1618 0.0031 0.1127			
TC(-1) D(TC(-1)) D(TC(-2))	-0.072397 0.419771 -0.198406 0.414371	0.035853 0.128832 0.139662 0.133297	-2.019287 3.258275 -1.420621 3.108624	0.0489 0.0020 0.1618 0.0031			
TC(-1) D(TC(-1)) D(TC(-2)) D(TC(-3)) C	-0.072397 0.419771 -0.198406 0.414371 -2.314391	0.035853 0.128832 0.139662 0.133297 1.432940	-2.019287 3.258275 -1.420621 3.108624 -1.615134 2.442089	0.0489 0.0020 0.1618 0.0031 0.1127			
TC(-1) D(TC(-1)) D(TC(-2)) D(TC(-3)) C @TREND("1960")	-0.072397 0.419771 -0.198406 0.414371 -2.314391 0.186189	0.035853 0.128832 0.139662 0.133297 1.432940 0.076242	-2.019287 3.258275 -1.420621 3.108624 -1.615134 2.442089	0.0489 0.0020 0.1618 0.0031 0.1127 0.0183			
TC(-1) D(TC(-1)) D(TC(-2)) D(TC(-3)) C(TC(-3)) GTREND("1960") R-squared Adjusted R-squared S.E. of regression	-0.072397 0.419771 -0.198406 0.414371 -2.314391 0.186189 0.375062 0.311293 3.689642	0.035853 0.128832 0.139662 0.133297 1.432940 0.076242 Mean depend S.D. depend Akaike info co	-2.019287 3.258275 -1.420621 3.108624 -1.615134 2.442089 dent var ent var riterion	0.0489 0.0020 0.1618 0.0031 0.1127 0.0183 2.030127 4.445976 5.551605			
TC(-1) D(TC(-1)) D(TC(-2)) D(TC(-3)) C @TREND("1960") R-squared Adjusted R-squared S.E. of regression Sum squared resid	-0.072397 0.419771 -0.198406 0.414371 -2.314391 0.186189 0.375062 0.375062 0.311293 3.689642 667.0596	0.035853 0.128832 0.139662 0.133297 1.432940 0.076242 Mean depend S.D. depend Akaike info c Schwarz crite	-2.019287 3.258275 -1.420621 3.108624 -1.615134 2.442089 dent var ent var riterion erion	0.0489 0.0020 0.1618 0.0131 0.1127 0.0183 2.030127 4.445976 5.551605 5.770587			
TC(-1) D(TC(-1)) D(TC(-2)) D(TC(-3)) C @(TREND("1960") R-squared Adjusted R-squared S.E. of regression Sum squared resid Log likelihood	-0.072397 0.419771 -0.198406 0.414371 -2.314391 0.186189 0.375062 0.311293 3.689642 667.0596 -146.6691	0.035853 0.128832 0.139662 0.133297 1.432940 0.076240 Wean depend S.D. depend Akaike info c Schwarz crite Hannan-Quii	-2.019287 3.258275 -1.420621 3.108624 -1.615134 2.442089 dent var ent var riterion erion nn criter.	0.0489 0.0020 0.1618 0.0031 0.1127 0.0183 2.030127 4.445976 5.551605 5.770587 5.636287			
TC(-1) D(TC(-1)) D(TC(-2)) D(TC(-3)) C @TREND("1960") R-squared Adjusted R-squared S.E. of regression Sum squared resid	-0.072397 0.419771 -0.198406 0.414371 -2.314391 0.186189 0.375062 0.375062 0.311293 3.689642 667.0596	0.035853 0.128832 0.139662 0.133297 1.432940 0.076242 Mean depend S.D. depend Akaike info c Schwarz crite	-2.019287 3.258275 -1.420621 3.108624 -1.615134 2.442089 dent var ent var riterion erion nn criter.	0.0489 0.0020 0.1618 0.013 0.1127 0.0183 2.030127 4.445976 5.551605 5.770587			

# • اختبار جذر الوحدة في حالة سلسلة لا تحتوي لا على قاطع ولا على تجاه عام None

 $View \rightarrow Unit\ root\ test \rightarrow augmented\ Dickey\ fuller \rightarrow test\ for\ unit\ root\ in\ Level \rightarrow includ\ in\ the\ test\ equation \rightarrow none \rightarrow ok$ 

Null I broothoois: TC bo	o o unit root						
Null Hypothesis: TC ha: Exogenous: None	s a unit root						
Lag Length: 1 (Automat	ic - based on S	IC, maxlag=10	0)				
			t-Statistic	Prob.*			
Augmented Dickey-Full	er test statistic		2.071996	0.9901			
Test critical values:	1% level		-2.606163				
	5% level		-1.946654				
i .	10% level		-1.613122				
*MacKinnon (1996) one-sided p-values.							
Augmented Dickey-Full Dependent Variable: Di Method: Least Squares Date: 06/05/22 Time: 1 Sample (adjusted): 196 Included observations:	TC) 19:53 52 2018						
Variable	Coefficient	Std. Error	t-Statistic	Prob.			
TC(-1)	0.026177	0.012634	2.071996	0.0430			
D(TC(-1))	0.372809	0.132068	2.822854	0.0066			
R-squared	0.170683	Mean depen	dent var	1.958895			
Adjusted R-squared	0.155605	S.D. depend		4.382097			
S.E. of regression	4.026752	Akaike info c		5.658255			
Sum squared resid	891.8104	Schwarz crite	erion	5.72994			
Log likelihood	-159.2603	Hannan-Quir	nn criter.	5.686114			
Durbin-Watson stat	1.941771						

النتائج المتوصل إليها من خلال تقدير النماذج الثلاث نلاحظ أن قيم Laugmented Dickey-Fuller test مغيرة مقارنة مع القيم الحرجة Critical values عند مستويات المعنوية 1%، 5%، 10%، ونلاحظ احتمالها كبير جدا مقارنة باحتمال 0.05، أي نقبل الفرضية المعدومة أي السلسلة تحوي على جذر الوحدة وبالتالي ليست مستقرة.

كما نلاحظ من خلال الجدول الثاني الخاص بالنموذج الذي يحتوي على القاطع والاتجاه العام أن معامل الاتجاه العام معنوي عند مستوى معنوية 5%، وبالتالي عدم استقرار سلسلة سعر الصرف ناجم عن وجود اتجاه عام ثابت ، ولجعل السلسلة مستقرة نستعمل تقنية المربعات الصغرى أو حساب الفروق من الدرجة الأولى.

لإجراء هذه الخطوة نتبع الخطوات التالية:

 $\label{eq:View} \begin{tabular}{ll} View \rightarrow Unit\ root\ test \rightarrow augmented\ Dickey\ fuller \rightarrow test\ for\ unit\ root\ in\ 1st\ difference \rightarrow includ\ in\ the\ test\ equation \rightarrow none \rightarrow ok \end{tabular}$ 

عند أخذ الفرق الأول لاحظنا أن السلسلة استقرت في الحالات الثلاث باحتمال 0,0004 وهو أقل من 0.05.

Null Hypothesis: D(TC) has a unit root Exogenous: Constant, Linear Trend Lag Length: 0 (Automatic - based on SIC, maxlag=10)					
		t-Statistic	Prob.*		
Augmented Dickey-Full	er test statistic	-5.208359	0.0004		
Test critical values:	1% level	-4.127338			
	5% level	-3.490662			
	10% level	-3.173943			

\*MacKinnon (1996) one-sided p-values.

يمكن التأكد من استقررارية سلسلة سعر الصرف باستعمال اختبار أخرى من بينها اختبار Phillips-Perron والذي يعطينا نفس النتائج السابقة.

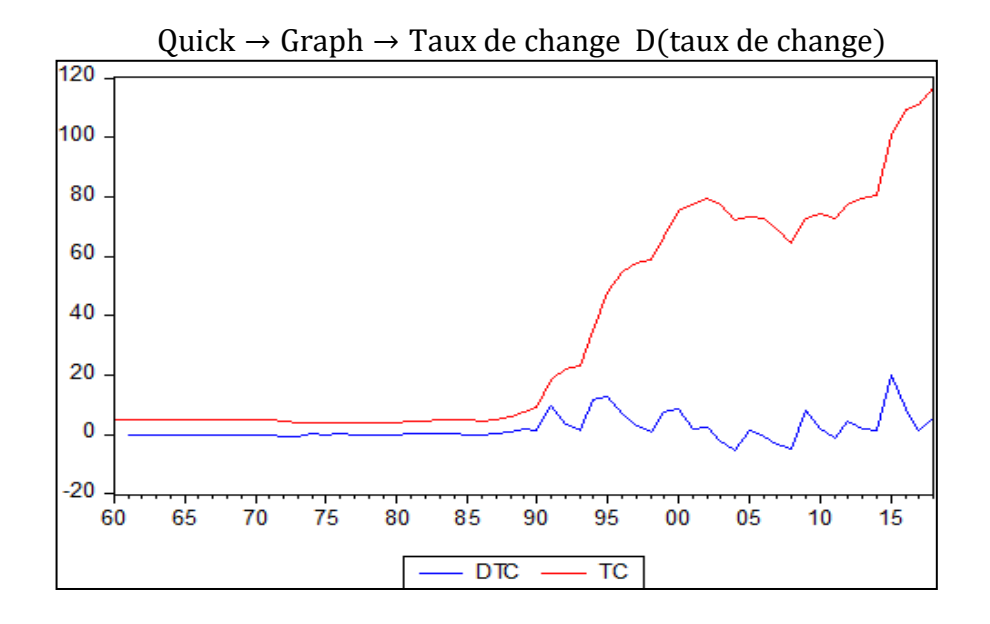
ملاحظة: يمكننا اختبار استقرارية السلسلة الزمنية في النماذج الثلاث في آن واحد وهذا بإتباع الخطوة التالية:

 $Add \ all \rightarrow All \ Unit \ root \ test$ 

النتيجة النهائية هي أن السلسلة TC استقرت بعد أخذ الفروق الأولى، وبالتالي السلسلة المعتمد عليها في تحديد النموذج نرمز لها بـ dTC حيث:

$$dTC_t = TC_t - TC_{t-1}$$

وللتوضيح بيانيا من استقرارية السلسلة نرسمها مع السلسلة الأصلية في بيان واحد وهذا بإتباع الخطوات التالية:



بعد أخذ الفروقات من الدرجة الأولى تم رسم دالة الارتباط الذاتي والارتباط الذاتي الجزئي Corellogram للسلسلة  $dTC_t$  وهذا بإتباع الخطوات التالية:

 $View \rightarrow correlogram \rightarrow 1st \ difference \rightarrow ok$ 

وتم التوصل إلى المنحني التالي الذي يوضح كل من دالة PACF و PACF للسلسلة بعد أخذ الفروقات:

Date: 06/05/22 Time: 21:01 Sample: 1960 2018 Included observations: 58							
Autocorrelation	Partial Correlation		AC	PAC	Q-Stat	Prob	
		1	0.408	0.408	10.160	0.001	
` <u>■'</u>	!	2		-0.026	11.458	0.003	
<b>&gt;</b>	<del></del>	3	0.353	0.364	19.344	0.000	
' ᡛ'	┆ <b>┈</b> ┇	4		-0.135	21.349	0.000	
' ᡛ'	! ' ₽'	5	0.120	0.142	22.287	0.000	
<b>'</b>	<u>'</u> _  '	6		-0.023	24.578	0.000	
' <u>"</u> '	! <b>9</b> '	7	-0.092		25.154	0.001	
'- '	! ' <b>□</b> '	8	-0.212		28.295	0.000	
' 🗐 '	! '■_ '	9	-0.125		29.400	0.001	
' <u>"</u> '	! ' <u>-</u>   " '		-0.092	0.103	30.013	0.001	
'- '	! ' <b>!</b> '	11	-0.235		34.097	0.000	
	ļ ' <b>[</b> [ '		-0.284		40.214	0.000	
'■ '	ļ ' <b>l</b> l '	13	-0.161	0.067	42.210	0.000	
' <b>[</b> ] '	!		-0.064	0.156	42.537	0.000	
' <b>P</b> '	! · 🗩	15	0.082	0.272	43.079	0.000	
' <b> </b>   '	! '■ '	16	0.041	-0.122	43.222	0.000	
' [	ļ ' <b>þ</b> '	17	-0.047	0.034	43.406	0.000	
'   i	'   '	18	0.077	-0.016	43.919	0.001	
	' <b>□</b>   '	19	0.070	-0.164	44.351	0.001	
· 🗀 ·		20	0.160	0.131	46.704	0.001	
· 🗀	• <b>[</b> ] •	21	0.229	-0.072	51.619	0.000	
<b>  </b>		22	0.027	0.031	51.687	0.000	
1 1		23	0.008	-0.064	51.693	0.001	
' <b>□</b> '	j , <b>j</b> a ,	24	0.135	0.051	53.551	0.000	
· ·							

نلاحظ من الشكل أعلاه أن المعلمات المحسوبة من أجل الفجوات h=4,5...,24 داخل مجال الثقة، أي تتناقص بوتيرة سريعة نحو الصفر.

### المرحلة الثانية: مرحلة التقدير Estimation

من خلال دالة الارتباط الذاتي يمكننا تحديد القيم المحتملة لدرجة تأخير المتوسطات المتحركة أي قيم p وحسب البيان نلاحظ نتوءات عند التأخير 1 والتأخير 2 والتأخير 3 والتأخير 4 والتأخير 4 والتي تمثل القيم المحتملة لدرجة تأخير الانحدار الذاتي 4 النماذج الممكنة في هذه الحالة هي كالتالي:

ARIMA(1.1.1),ARIMA(1.1.3), ARIMA(3.1.1), ARIMA(3.1.3); AR(1); MA(3); MA(1), AR(3)

قمنا بتقدير جميع هذه النماذج باستعمال المبرمج السالف الذكر وتوصلنا إلى النتائج المدونة في الجدول التالي:

Sc معيار	Aic معيار	معلمة التباين Sigma <sup>2</sup>	$ m R^2$ معامل التحديد	عدد المعلمات ذات معنوية	النماذج المقترحة
5.84	5.73	19,43	0.15	2	ARIMA(1.1.0)
5.89	5.74	13,55	0.16	2	ARIMA(1.1.1)
5.55	5.69	13,01	0.30	3	ARIMA(3.1.1)
5.96	5.85	15,14	0.04	1	ARIMA(3.1.0)
5.88	5 74	14 13	0.16	2	ARIMA(1 1 3)

جدول 2: ملخص نتائج التقدير المتوصل إليها

6.007	5.86	16,55	0.06	1	ARIMA(3.1.3)
5.88	5.77	15,12	0.11	2	ARIMA(0.1.1)
5.93	5.82	18,24	0.07	2	ARIMA(0.1.3)

من خلال هذه النماذج، وبالاعتماد على المعايير المدونة في الجدول نلاحظ أن أفضل نموذج هو نموذج معلمة معامل التحديد  $R^2$  الذي يحقق اقل قيمة لمعيار SC و معيار AIC و معيار ARIMA(3.1.1) التباين Sigma<sup>2</sup>. نقدر النموذج في مبرمج Eviews 10 على النحو التالي:

Quick  $\rightarrow$  Estimate equation  $\rightarrow$  ols

ويطلب مناكتابة صبغة المعادلة، نكتب الصبغة التالبة:

dTC c AR(3) MA(1)

نتائج التقدير مدونة في الجدول التالي، حيث نلاحظ المعنوية الكلية لمعالم النموذج.

Dependent Variable: D(TC) Method: ARMA Maximum Likelihood (OPG - BHHH) Date: 06/06/22 Time: 10:58

Sample: 1961 2018 Included observations: 58

Convergence achieved after 23 iterations
Coefficient covariance computed using outer product of gradients

Variable	Coefficient	Std. Error	t-Statistic	Prob.
C AR(3) MA(1) SIGMASQ	1.921764 0.335441 0.464988 13.01078	1.671790 0.139201 0.153536 1.738816	1.149524 2.409760 3.028534 7.482548	0.2554 0.0194 0.0038 0.0000
R-squared Adjusted R-squared S.E. of regression Sum squared resid Log likelihood F-statistic Prob(F-statistic)	0.300708 0.261858 3.738253 754.6251 -157.0400 7.740302 0.000217	Mean depende S.D. depende Akaike info cri Schwarz crite Hannan-Quin Durbin-Watso	ent var iterion rion in criter.	1.925121 4.351097 5.553104 5.695204 5.608455 1.931807
Inverted AR Roots Inverted MA Roots	.69 46	35+.60i -	3560i	

## المرحلة الثالثة: مرحلة الفحص التشخيصي Diagnostic

بعد تحديد أفضل نموذج نصل إلى مرحلة فحصه، وتتم هذه الخطوة بدراسة بواقي هذا النموذج من حيث الارتباط و التجانس و التوزيع الطبيعي لمعرفة مدى تطابق المشاهدات مع القيم المقدرة.

نبدأ كأول خطوة برسم مخطط الارتباط الزمني Corelogram لبواقي النموذج المختار وهذا لاختبار وجود مشكل الارتباط الذاتي للأخطاء من عدمه، وتتم طريقة الرسم على النحو التالى:

 $view \rightarrow residual diagnostics \rightarrow corelogram Q statistics$ 

Date: 06/06/22 Time Sample: 1960 2018 Included observation Q-statistic probabilitie	s: 58	//A terms			
Autocorrelation	Partial Correlation	AC	PAC	Q-Stat	Prob
		1 0.028 2 -0.020 3 -0.039 4 0.118 5 0.059 6 0.226 7 -0.193 8 -0.120	-0.038 0.120 0.051 0.230 -0.206 -0.115 -0.120 0.018 -0.141 -0.295 0.023 0.011 0.219 0.103 -0.168 -0.190 0.070 0.005	0.0468 0.0704 0.1683 1.0605 1.2856 4.7142 7.2612 8.2669 9.0604 9.5031 10.894 15.874 16.730 16.734 18.366 18.974 21.044 21.128 21.136 23.811 26.165 26.169	0.682 0.588 0.733 0.318 0.202 0.219 0.248 0.302 0.103 0.116 0.160 0.144 0.160 0.174 0.220 0.161 0.126 0.159
· · ·	1   1	23 -0.087 24 0.152	-0.020 0.006	26.943 29.322	0.173 0.136

نلاحظ أن معاملات دالة ACF غير معنوية عند مستوى ثقة 95 % حيث نلاحظ أن قيمة. Q التي الله الله ACF عير معنوية 26 % معنوية 25 %  $\chi^2_{24, 5\%} = 36,42$  كما نلاحظ تقدر بـ 29,32 أقل من قيمة كاي مربع عند درجة حرية 24 ومستوى معنوية 5%  $\chi^2_{24, 5\%} = 36,42$  كما نلاحظ عدم وجود نتوؤات خارج مجال الثقة، إذن تشخيصنا لهذا النموذج كان سليما إلى حد ما، وهو مقبول ويمكن استخدامه للتنبؤ.

بالنسبة لاختبار تجانس تباين الأخطاء من عدمه اعتمدنا في ذلك على اختبار ARCH واختبار White ، ولإجراء هذا الاختبار في المبرمج نتبع الخطوات التالية:

 $view \rightarrow residual \ diagnostics \rightarrow Heteroskedasticity \ test \rightarrow ARCCH$   $view \rightarrow residual \ diagnostics \rightarrow Heteroskedasticity \ test \rightarrow White$ 

• نتائج اختبار ARCH مدونة في الجدول التالي:

st: ARCH	
	0.9177 0.9159
	est: ARCH  0.010766 Prob. F(1,55) 0.011155 Prob. Chi-Square(1)

نلاحظ أن احتمالية F-Statistic أكبر من 0.05 وبالتالي نقبل فرضية ثبات أو تجانس تباين الأخطاء.

• نتائج اختبار White مدونة في الجدول التالي:

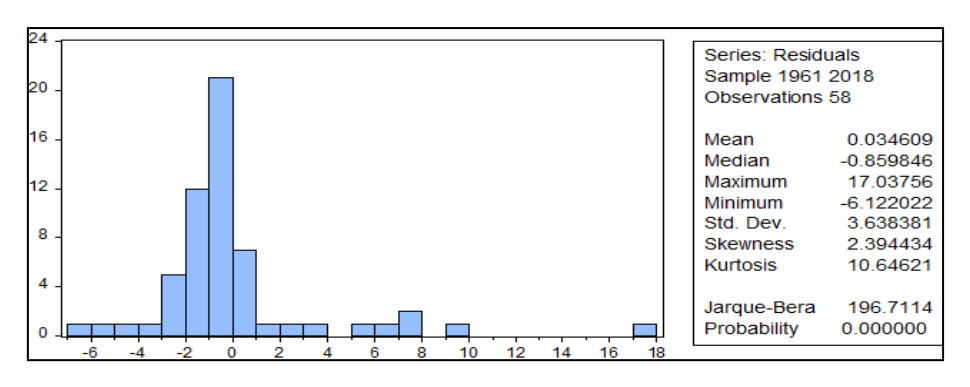
Heteroskedasticity Test: Wh	ite		
F-statistic	1.35E+25	Prob. F(14,43)	0.0000

Obs*R-squared	Prob. Chi-Square(14)	0.0000
Scaled explained SS	Prob. Chi-Square(14)	0.0000

من خلال هذه النتائج نلاحظ أن احتمالية F-Statistic أصغر من 0.05 وبالتالي نقبل فرضية ثبات تباين الأخطاء.

• التوزيع طبيعي: اختبار التوزيع الطبيعي لسلسلة البواقي يتم في مبرمج Eviews بإتباع الخطوات التالية:

 $view \rightarrow residual diagnostics \rightarrow histogram - normality test$ 



حسب النتائج المتوصل إليها وانطلاقا من قيمة معامل التناظر Skewness التي تقدر بـ 2.39 وهي أكبر من القيمة 1,96 وبالتالي نرفض فرضية التناظر، ومن قيمة معامل التفلطح Kurtosis التي تقدر بـ 10,64 وهي أكبر من القيمة 1,96 التي تبين رفض فرضية التفلطح الطبيعي لسلسلة البواقي، كما يمكن التأكد من ذلك من خلال إحصائية -Bera، حيث نلاحظ أن احتمال هذه الإحصائية أقل من 0,05، وعليه سلسلة الأخطاء لاتخضع للتوزيع الطبيعي.

وبما أن التوزيع الطبيعي من الشروط الأساسية التي يجب أن تتحقق ولهذا النموذج المختار ليس أمثل. لكن سنبين هنا طريقة التنبؤ لسلسلة سعر الصرف من خلال النموذج الذي تم اختياره.

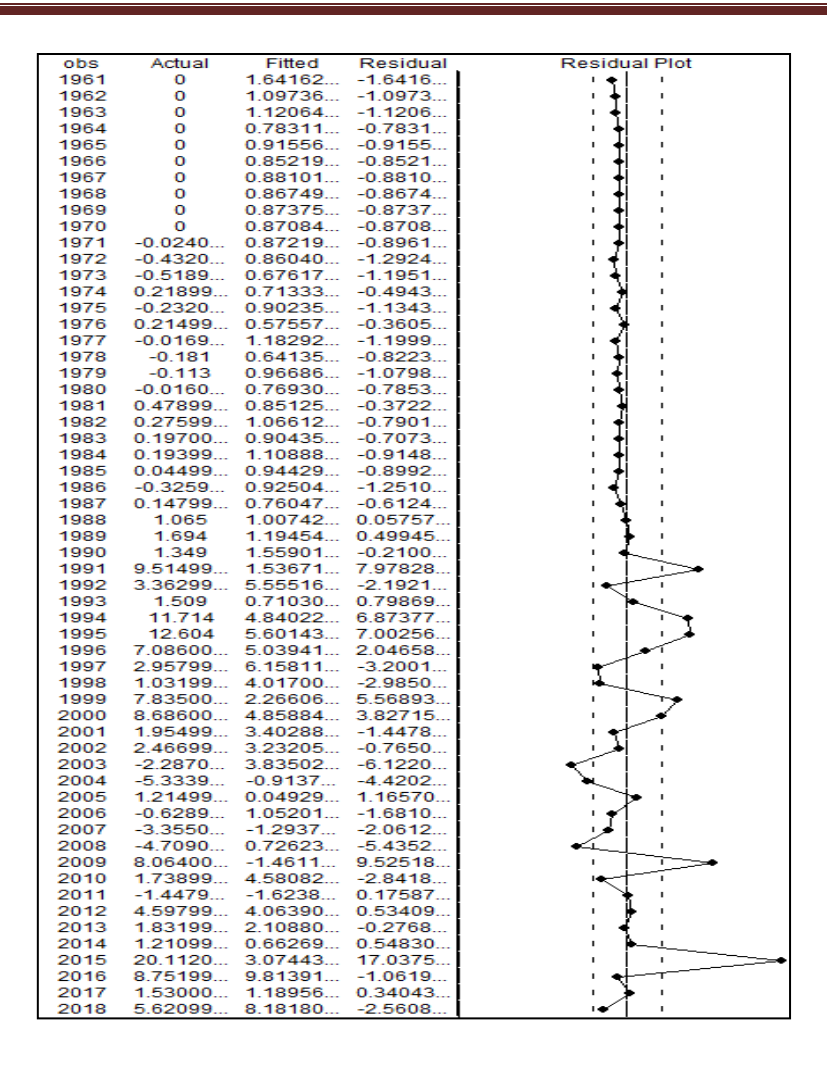
### المرحلة الرابعة: مرحلة التنبؤ Forecast

في هذه المرحلة يمكننا القيام بنوعين من التنبؤ: التنبؤ الداخلي الذي يكون داخل العينة والتنبؤ الخارجي الذي يكون خارج العينة، والتبؤ الذي يهمنا هو النوع الثاني أي الذي يتم خارج العينة،

• التنبؤ داخل العينة: بعد تقدير النموذج نضغط على:

 $view \rightarrow$  actual; filted; residual  $\rightarrow$  actual; filted; residual

نتحصل على المنحني التالي:



آخر قيمة المقابلة لسنة 2018 في العمود Filted والتي تمثل القيم المتوقعة تمثل القيمة التنبؤية داخل العينة والتي تقدر به 8.8180 أما القيمة الحقيقية له dTC فقد قدرت في الفترة 2018 بنا 62099 ، للحصول على القيمة التنبؤية للسلسلة الأصلية له TC نقوم بما يلى:

dTC= TC 2018- TC2017

 $TC_{2018} = dTC + TC_{2017}$ 

 $TC_{2018} = 8.8180 + 110.973 = 119.155$ 

ومنه القيمة التنبؤية داخل العينة لـ TC هي: 119.155 مقارنة بالقيمة الحقيقية التي تقدر بـ 116,594 أي بخطأ قدره 2,561.

• التنبؤ خارج العينة: بعد تقدير النموذج نقوم بالخطوة التالية:

 $proc \rightarrow structure resize curent page \rightarrow end data 2020$ 

نحصل على سلسلة تحوي على قيم فارغة سنوات 2019 و 2021 نقوم بعدها بتقدير النموذج لهذه البيانات ثم نقوم بالتنبؤ داخل العينة ونتحصل على القيم المتنبؤ بها والمدونة في الجدول التالى:

السنوات القيم المتنبؤ بحا لـ TC
---------------------------------

119.616	2019
121.407	2020
123.233	2021

من خلال هذه النتائج نلاحظ أن سعر الصرف سيستمر في الارتفاع، أي أن الدولة الجزائرية لو استمرت بهذه السياسات باعتمادها فقط على مورد واحد فقط وهو النفط، فان هذا الأخير أصبح يشكل خطرا في العالم، حسب ما هو معلوم وبظهور الطاقات المتجددة، وظهور الحروب مابين الدول خاصة الدول التي لديها مصادر الطاقة مثل إيران ، العراق، ليبيا، لذا أصبح على الدولة الجزائرية أن تنوع في اقتصادها، كاعتمادها على الفلاحة، وإلا فإنما ستضل على تخفيض العملة وزيادة تضخم السلع، وتصبح العملة ضعيفة أمام العملات الأخرى.

ملاحظة: حسب التمثيل البياني لاحظنا أن سلسلة سعر الصرف حدث لها تغيير وغير من مسرى المنحنى البياني وهذا سنة 1986 بسبب الأزمة النفطية، لذلك احتمال أن يكون هناك تغيير هيكلي. توجد عدة اختبارات لاختبار ثبات النموذج من بينها اختبار Chow. لكن بسبب وجود حد المتوسطات المتحركة نتائجه مغلطة.

للقيام بهذا الاختبار نتبع الخطوات التالية:

 $view \rightarrow stability\ diagnostics \rightarrow chow\ test$ 

النتائج مدونة في الجدول التالي:

Chow Breakpoint Te Null Hypothesis: No		breakpoints	
Equation Sample: 1	961 2018		
Wald Statistic	9.470129	Prob. Chi-Square(7)	0.2206
		the original and test equation his difference vanishes	n. Under

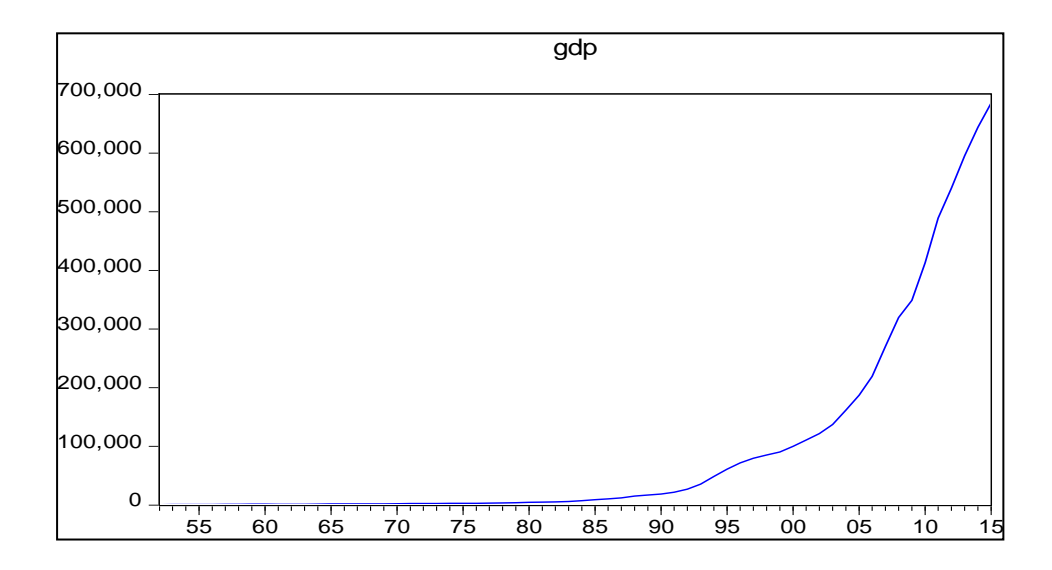
المثال الثاني: تطور الناتج الداخلي الخام الصيني: معطيات خاصة بالناتج الداخلي الخام الصيني<sup>22</sup> من سنة 1952 إلى غاية 2015.

المرحلة الأولى: مرحلة التشخيص

ARIMA model forecast based on EViews software Lihua Ma et al 2018 IOP Conf. Ser.: Earth Environ. Sci. 208 012017

<sup>22</sup> يمكن الحصول على المعطيات من خلال مقال منشور تحت عنوان:

• نرسم بيانيا سلسلة الناتج الداخلي الخام الصيني والتي نرمز لها به GDP خلال الفترة الممتدة من 1952 إلى غاية 2015 وهذا للتعرف على أنماط التغير فيها عبر الزمن واستقرارها أو لا.



من خلال المنحني البياني نلاحظ أن السلسة الزمنية غير مستقرة، حيث تظهر فيها بوضوح مركبة الاتجاه العام.

### • رسم منحنی Correlogram

Date: 06/06/22 Time Sample: 1952 2015 Included observation						
Autocorrelation	Partial Correlation		AC	PAC	Q-Stat	Prob
		1 2 3 4 5 6 7 8 9 10 11 12 13 14 15	0.690 0.592 0.500 0.423 0.358 0.296 0.244 0.203 0.169 0.139 0.114 0.092 0.070	0.897 -0.060 -0.046 -0.035 -0.035 0.016 0.008 -0.037 -0.004 -0.0017 -0.002 -0.004 -0.003 -0.0011 -0.0012	53.890 96.618 129.56 154.26 172.18 185.21 194.74 201.36 205.93 209.16 211.43 213.00 214.08 214.79 215.21	0.000 0.000 0.000 0.000 0.000 0.000 0.000 0.000 0.000 0.000 0.000 0.000 0.000
	1 1 1	16 17 18	0.030	-0.013 -0.015 -0.020	215.43 215.51 215.52	0.000 0.000 0.000

من خلال المنحنى نلاحظ تدهور أسي لدالة الارتباط الذاتي البسيطة، ونلاحظ وجود نتوء على دالة الارتباط الذاتي البسيطة، ونلاحظ وجود نتوء على دالة الارتباط الذاتي الجزئي، كما نلاحظ عند التأخير 18 (Lag=18) قيمة Q=215.52 لإحصائية Box-pierc كبيرة جدا، وهي أكبر من قيمة كاي مربع بدرجة حرية 18، وهذا ما يدل على أن السلسلة غير مستقرة. للتأكد أيضا من عدم استقرارية السلسلة نستعين باختبارات جذور الوحدة.

### • اختبار ADF لدراسة استقرارية السلسلة

Null Hypothesis: GDP Exogenous: Constant, Lag Length: 7 (Automa		xlag=10)	
		t-Statistic	Prob.*
Auamented Dickev-Fu	ller test statistic	3,427765	1.0000
Test critical values:	1% level	-4.130526	
	5% level	-3.492149	
	10% level	-3.174802	

نلاحظ أن احتمال إحصائية ADF أكبر من 0.05، وبالتالي نقبل فرضية وجود جذر الوحدة في السلسلة، فهي إذن غير مستقرة (نتحصل على نفس النتائج عند تقدير النموذجين الآخرين)، كما نلاحظ من خلال التمثيل البياني أن السلسلة تأخذ الشكل الأسي، لذلك نأخذ اللوغاريتم النيبري للمعطيات، وبعدها نأخذ الفروق الأولى لأنما بقيت غير مستقرة، ونعيد اختبار ADF بعد أخذ اللوغاريتم الطبيعي وأخذ الفروق ، ونتوصل إلى النتائج التالية:

Exogenous: Constant Lag Length: 1 (Automatic - based on SIC, maxlag=10)				
		t-Statistic	Prob.*	
Augmented Dickey-Fuller test statistic		-4.340237	0.0009	
Test critical values:	1% level	-3.542097		
	5% level	-2.910019		
	10% le vel	-2.592645		

نلاحظ أن prob<0.05 إذن السلسلة استقرت بعد أخذ هذا التحويل.

## • رسم منحنى دالتي الارتباط الذاتي والجزئي للسلسلة dloggdp واختيار قيم p و P

Date: 06/06/22 Time: 1 Sample: 1952 2015 Included observations: 6					
Autocorrelation P	artial Correlation	AC	PAC	Q-Stat	Prob
		0.006 0.036 0.203 0.317 0.263 0.064 0.022 0.072 0.079 0.075 0.130 0.123 0.126		22.732 25.460 25.463 25.554 28.458 35.669 40.719 41.025 41.064 41.467 41.962 42.414 43.8074 46.429 46.474 46.843 48.166	0.000 0.000 0.000 0.000 0.000 0.000 0.000 0.000 0.000 0.000 0.000 0.000 0.000 0.000

نلاحظ من الشكل أعلاه أن المعلمات المحسوبة من أجل الفجوات h = 3,4...,18 داخل مجال الثقة، أي تتناقص بوتيرة سريعة نحو الصفر، وهذا ما يدل أيضا على استقرار السلسلة الزمنية.

#### المرحلة الثانية: مرحلة التقدير Estimation

من خلال المنحنى السابق والخاص بدالة الارتباط الذاتي يمكننا تحديد القيم المحتملة لq ومن خلال دالة الارتباط الذاتي الجزئى يمكننا تحديد قيم p. وحسب هذا المنحنى النماذج المقترحة هي كما يلي:

ARIMA(0.1.1)<sup>4</sup> ARIMA(0.1.2), ARIMA(1.1.0); ARIMA(1.1.1); ARIMA(1.1.2)<sup>4</sup> ARIMA(2.1.0), ARIMA(2.1.1); ARIMA(2.1.2);

### قمنا بتقدير جميع هذه النماذج وتوصلنا إلى النتائج المدونة في الجدول التالي:

SC معيار	معيار AIC	Sigma <sup>2</sup>	معامل التحديد R <sup>2</sup>	عدد المعلمات ذات معنوية	النماذج المقترحة
-2.41	-2.52	prob<0.05	0.31	1	ARIMA(0.1.1)
-2.39	-2.50	prob<0.05	0.33	1	ARIMA(1.1.0)
-2.40	-2.54	prob<0.05	0.33	1	ARIMA(1.1.2)
-2.40	-2.54	prob<0.05	0.33	1	ARIMA(2.1.1)
-2.10	-2.23	prob≥0.05	0.15	1	ARIMA(2.1.2)

وحسب هذه المعايير أحسن نموذج هو النموذج (ARIMA(1.1.0)، نتائج التقدير موضحة في الجدول الموالي:

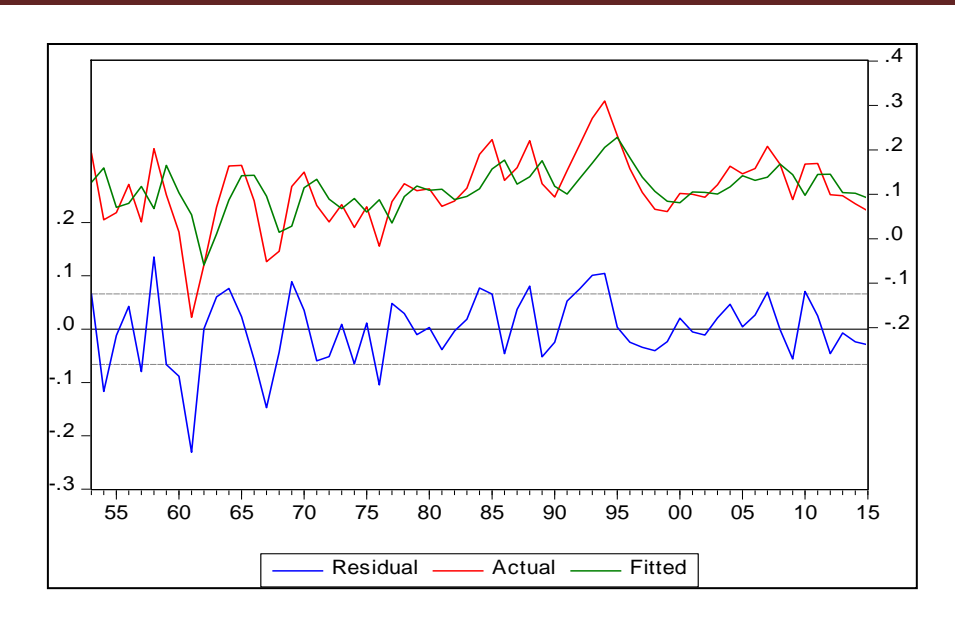
Dependent Variable: DLOGGDP Method: ARMA Maximum Likelihood (OPG - BHHH) Date: 02/02/21 Time: 16:37 Sample: 1953 2015 Included observations: 63 Convergence achieved after 4 iterations Coefficient covariance computed using outer product of gradients Variable Coefficient Std. Error Prob. t-Statistic 0.110597 5.304763 0.020849 0.0000 AR(1) SIGMASQ 0.004146 0.000679 6.102246 0.0000 0.3521.87 R-squared Mean dependent var 0.109798 Adjusted R-squared 0.330593 S.D. dependent var S.É. of regression 0.065980 Akaike info criterion -2.545879 0.261198 -2.443625 Sum squared resid Schwarz criterion Log likelihood F-statistic 83.18890 Hannan-Quinn criter -2.505541 16.30964 Durbin-Watson stat 1.706741 Prob(F-statistic) 0.000002 nverted AR Roots

المرحلة الثالثة: مرحلة الفحص: والتي يتم فيها فحص البواقي

• نرسم البواقي وهذا بإتباع الخطوات التالية:

 $view \rightarrow$  actuel, filted residual  $\rightarrow$  actuel, filted graph  $\rightarrow ok$ 

ونتحصل على التمثيل البياني التالي:



نلاحظ أن الفروقات بين القيم الحقيقية والمتنبؤ بما صغيرة، هذا يدل على كفاءة النموذج.

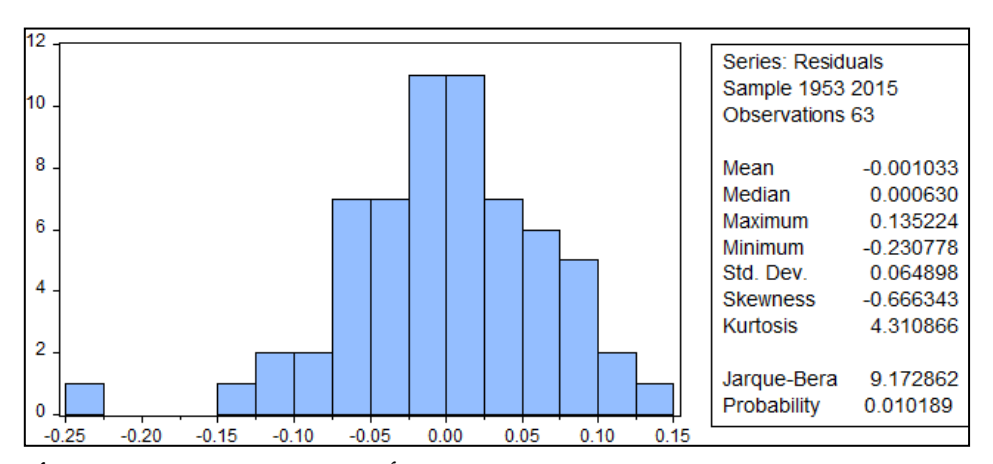
• دراسة استقرارية سلسلة البواقي: ويتم برسم Corelogram لبواقي النموذج المختار وهذا للتأكد من أن البواقي عبارة عن تشويش أبيض أم لا.

Q-statistic probabilities adjusted for 1 ARMA				
Autocorrelation Partial Correlation	AC	PAC	Q-Stat	Prob
	2 -0.041 3 0.091 4 0.034	-0.176 -0.072 0.073 0.170 0.168 -0.103 0.052 0.133 -0.031 -0.126 0.091 0.028 0.177 -0.088	1.2224 2.1472 5.0549 5.8182 6.3837 10.236 13.503 14.430 15.174 15.228 15.363 16.046 16.143 17.656 17.679 17.852	0.143 0.080 0.121 0.172 0.069 0.036 0.044 0.060 0.124 0.166 0.189 0.241 0.223 0.280 0.333

نلاحظ أن كل الارتباطات داخل مجال الثقة إذن البواقي عبارة عن تشويش أبيض، كما أن قيمة. Q تؤكد ذلك حيث تقدر قيمتها به 19,77 وهي أقل من قيمة كاي مربع عند درجة حرية 18 ومستوى معنوية 5% 28,87  $\chi^2_{24,5\%} = 28,87$ 

• تجانس تباين الأخطاء: اعتمدنا في هذه الحالة على اختبار ARCH والنتائج المتوصل إليها موضحة في الجدول التالى، والتي تبين قبول فرضية تجانس تباين الأخطاء.

# • التوزيع الطبيعي للأخطاء:



من خلال هذه النتائج نلاحظ من خلال قيمة إحصائية Jarque-Bera، أكبر من 0,05، وعليه سلسلة الأخطاء تخضع للتوزيع الطبيعي، إذن الأخطاء عبارة عن تشويش ابيض ذو توزيع طبيعي. بما أن كل الفرضيات تحقق، يمكننا إذن قبول هذا النموذج واستخدامه للتنبؤ.

## المرحلة الرابعة: مرحلة التنبؤ

سنقوم بنفس الخطوات الموضحة في المثال السابق ونتوصل إلى النتائج التالية:

- التنبؤ داخل العينة: قدرت القيمة المتوقعة لسنة 2015 بـ 705847,6 أما القيمة الحقيقية فقدرت بـ: 685506 أما القيمة الحقيقية فقدرت بـ 2.9 بالمائة.
  - التنبؤ خارج العينة: قمنا بالتنؤ للسنوات الثلاث التالية: 2016، 2017، 2018 وكانت النتائج كما يلى:

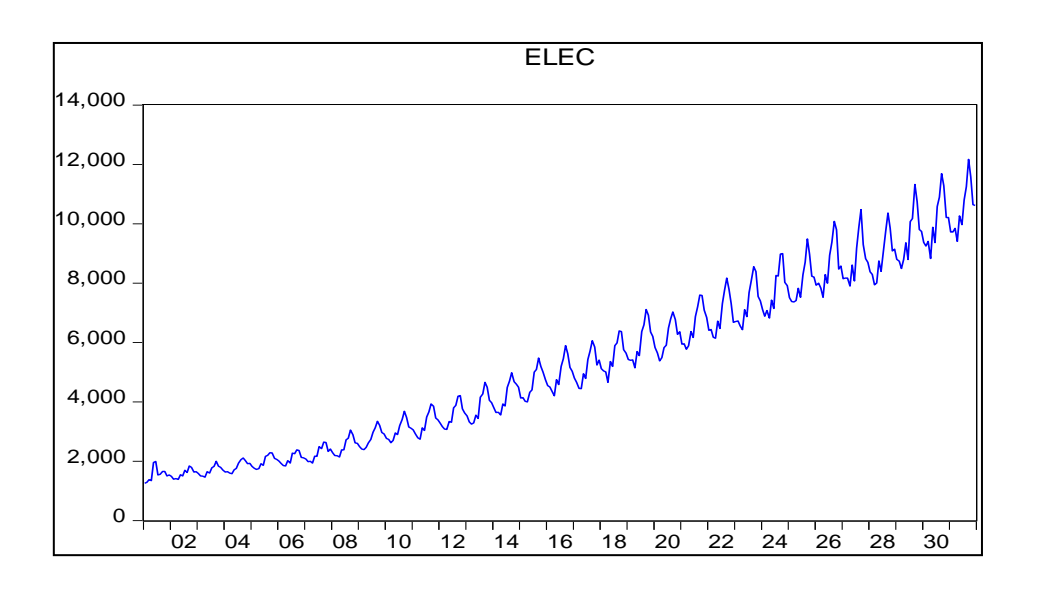
القيم المتنبؤ بما لـ TC	السنوات
744216,9	2016
817405.2	2017
903980.5	2018

المثال الثالث: دراسة نموذج موسمي

بالنسبة للمثال الثالث، سنحاول دراسة سلسلة تحوي إضافة إلى مركبة الاتجاه العام والمركبة العشوائية نجد المركبة الموسمية، حيث سنقدم مثالين وفي كل مثال نطبق طريقة تختلف عن الأخرى لكن تعطينا نفس النتائج، ولتوضيح الطريقتين استخدمنا سلسلة شهرية خاصة باستهلاك الكهرباء في مقاطعة فرنسية<sup>23</sup> للفترة الممتدة من شهر جانفي 2001 إلى غاية شهر ديسمبر من سنة 2016، والتي نرمز لها بـ ELEC، وفي المثال الثاني استخدمنا سلسلة خاصة بعدد ركاب القطارات في أندونيسيا<sup>24</sup> خلال الفترة الممتدة من شهر جانفي 2009 إلى غاية شهر مارس 2015.

• الطريقة الأولى: نحاول من خلالها توضيح طريقة الكشف عن المركبة الفصلية، ونزعها من السلسلة، تحديد العلاقة التي تربط بين مركبات السلسلة الزمنية، وفي الأخير تحديد وتقدير النموذج الملائم للتنبؤ.

رسم السلسلة: من خلال التمثيل البياني التالي نلاحظ وجود تذبذبات قصيرة المدى تعبر عن المركبة الموسمية للسلسلة، ويظهر جليا من خلال النتوءات الشبه منتظمة التي تكرر من سنة إلى أخرى وسنتأكد من وجودها باستعمال اختبارات إحصائية، كما نلاحظ وجود مركبة الاتجاه العام وهذا يظهر في الصعود المستمر للسلسلة، إذن السلسلة على المركبة الفصلية ومركبة الاتجاه العام.



اكتشاف الموسمية أو الفصلية: بما أن السلسلة تظهر فيها مركبة الاتجاه العام سنقوم بإزالتها من السلسلة قبل الكشف عن الفصلية. نسمى السلسلة DELEC للسلسلة بعد حذف مركبة الاتجاه العام.

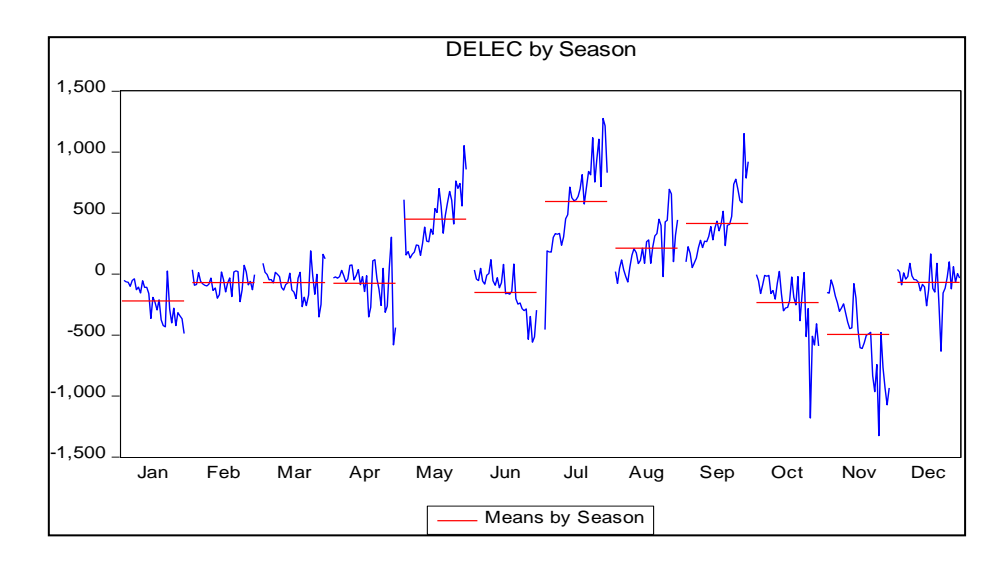
• سنتأكد من وجود الموسمية في السلسلة DELEC بالاستعانة بالتمثيل البياني لكل شهر مع رسم المتوسط بخط أفقي، ففي حالة عدم تساوي متوسطات الأشهر فالسلسة تحتوي على المركبة الفصلية، ولرسم هذا التمثيل في برنامج Eviews 10 نتبع الخطوات التالية:

<sup>&</sup>lt;sup>23</sup> https://regisbourbonnais.dauphine.fr/fr/publications/analyse-des-series-temporelles.html.

<sup>&</sup>lt;sup>24</sup> http://www.portal-statistik.com/2014.

View  $\rightarrow$  graph  $\rightarrow$  seasonal graph  $\rightarrow$  ok

ونتحصل على التمثيل البياني لكل شهر التالي:



من خلال البيان نلاحظ أن متوسطات الأشهر غير متساوية ما يدل على وجود المركبة الموسمية في السلسلة الزمنية.

- كما يمكننا كشف الموسمية بالاستعانة باختبار تحليل التباين، حيث نقوم من خلال هذا الاختبار اختبار الفرضية المعدومة التي تنص على عدم وجود المركبة الفصلية في السلسلة، وللقيام بهذا الاختبار في برنامج Eviews 10 نتبع الخطوات التالية:
- 1. نقوم بفتح متغير جديد ولنسميه مثلا ser01 حيث نقوم بترميز الأشهر ونعطي لكل شهر رقم، بداية من 1 إلى 12، بعدها نفتح السلسلة DELEC ونتبع الخطوات التالية:

View  $\rightarrow$  descriptive statistics tests  $\rightarrow$  equality tests by classification  $\rightarrow$  ok

وفي الخانة: series/group classify نضع اسم السلسلة ser01 ونضغط على ok، ونتحصل على النتائج المدونة في الجدول التالي:

Sample (adjusted): 1 Included observation	M02 311M12 s: 371 a fler adjustmen	ts	
Method	df	Value	Probability
Anova F-test	(11, 359)	65.89785	0.0000
Welch F-test*	(11, 140.08)	44.51887	0.0000

الجدول يبين نتائج اختبار الفروق بين الأشهر، نلاحظ أن إحصائية فيشر في اختبار Anova F-test، وحسب الاحتمال المقابل لها (Proba< 0.05) نرفض الفرضية المعدومة التي تنص على عدم وجود المركبة الفصلية.

### • حذف المركبة الفصلية

قبل حذف المركبة الفصلية يجب تحديد العلاقة التي تربط بين مركبات السلسلة هل هي تجميعية أم جدائية، ولمعرفة ذلك سنقوم بانحدار الانحراف المعياري لكل سنة على الاتجاه العام، وللقيام بذلك نتبع الخطوات التالية:

أ. حساب الانحراف المعياري لكل سنة: نقوم بفتح سلسلة جديدة ونعطي لكل سنة رقم من 1 إلى 31، نسمي هذه السلسلة بن ser02، بعدها نفتح السلسلة DELEC ثم نضغط على:

View  $\rightarrow$  descriptive statistics tests  $\rightarrow$  *stats* by classification

ونختار std.dev فقط، أما في الخانة series group of classify نكتب اسم السلسة ser02 ثم نضغط على ok نتحصل على الجدول التالي الذي يمثل الانحرافات المعيارية لكل سنة:

Descriptive S	tatistics for DE	ELEC	
Categorized			
Date: 02/13/2			
Sample (adju	sted): 1M02 3	1M12	
Included obs	ervations: 371	after	
adjustm			
Std. Dev.	SER01	Std. Dev.	SER01
248.5791	1		
119.6503	2	360.7952	17
116.3528	3	402.4029	18
90.29833	4	401.7196	19
127.8599	5	327.6729	20
146.9901	6	375.2232	21
171.4769	7	477.0436	22
184.5079	8	458.3106	23
153.4538	9	555.8757	24
205.0819	10	486.6609	25
245.7173	11	623.1570	26
245.2834	12	656.0433	27
306.2578	13	524.8648	28
270.4744	14	678.0783	29
294.7639	15	699.8057	30
346.5501	16	618.6922	31

ب. تقدير العلاقة بين الانحراف المعياري مع الزمن: نقوم بعدها بانحدار هذه السلسلة ولنسميها SER03 مع الاتجاه العام بطريقة المربعات الصغرى العادية: SER03 C @TREND النتائج مدونة في الجدول التالي:

Method: Least Square Date: 02/08/21 Time: Sample (adjusted): 1M Included observations:	20:09 01 32M08	tments		
Variable	Coefficient	Std. Error	t-Statistic	Prob.
C @TREND	78.30743 17.73071	25.82060 1.431169	3.032750 12.38897	0.0050 0.0000
R-squared Adjusted R-squared S.E. of regression Sum squared resid Log likelihood F-statistic Prob(F-statistic)		S.D. depe Akaike in Schwarz Hannan-(	pendent var endent var fo criterion criterion Quinn criter. (atson stat	11.52665 11.61825 11.55701

نلاحظ من خلال الجدول معنوية معامل الاتجاه العام، مما يعني وجود علاقة بين الانحراف المعياري والزمن، وهذا يدل على أن الشكل المناسب لمركبات السلسلة هو الشكل الجدائي.

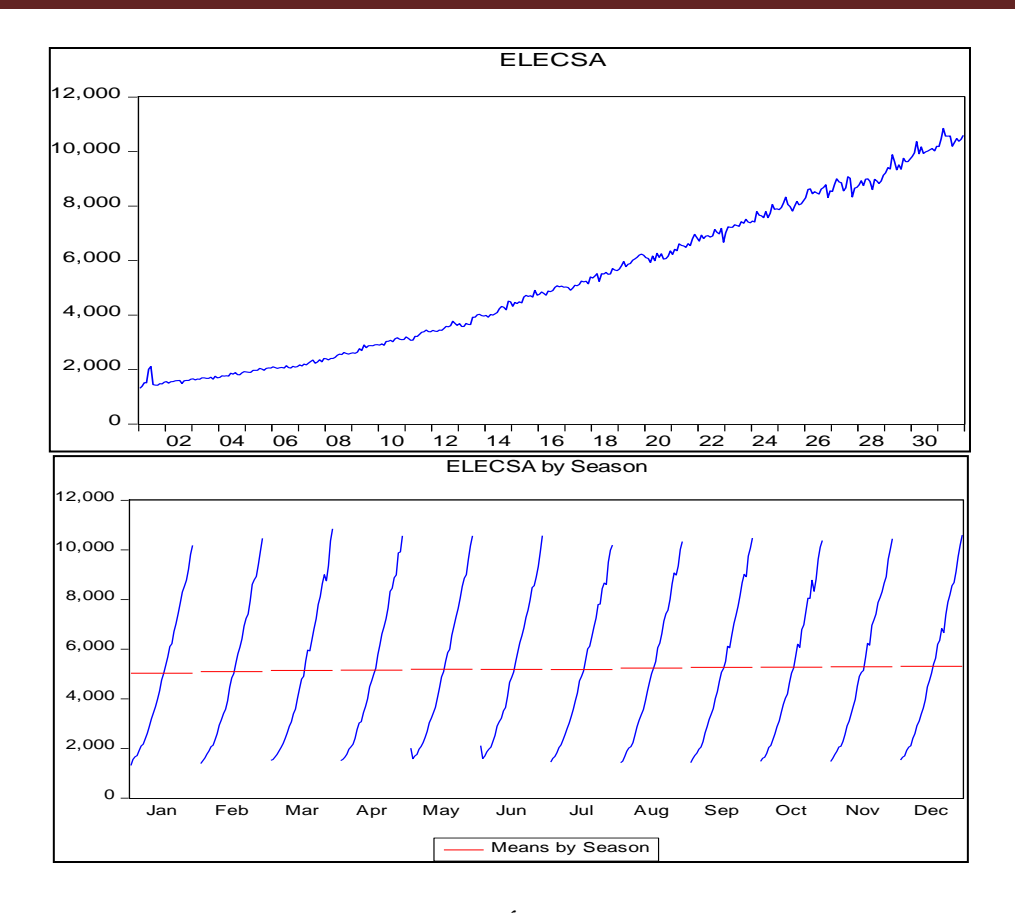
ج. التعديل الموسمى: بعد هذه الخطوة نقوم بنزع الفصلية من السلسلة ويتم هذا بإتباع الخطوات التالية:

 $\operatorname{Proc} \to \operatorname{seasonal} \operatorname{adjustement} \to \operatorname{Moving} \operatorname{average} \operatorname{methods}$ 

ونختار الشكل الجدائي ثم نضغط على ok، ونتحصل على المعاملات الفصلية المدونة في الجدول التالي:

Induded obser Ratio to Movin Original Series Adjusted Serie	g Average :: ELEC
Scaling Factor	5:
1	0.954837
2	0.928849
3	0.907388
4	0.890152
5	0.971478
6	0.943122
7	1.059217
8	1.088140
9	1.161324
10	1.115795
11	1.018843
12	1.001473

الرسم البياني الخاص بالسلسلة بعد نزع الفصلية والتي نسميها ELECSA والرسم البياني الخاص بمتوسطات الشهور ELECSA يبينان جيدا خلو السلسلة من المركبة الفصلية.



نلاحظ من خلال التمثيل البياني ELECSA by Season، أن المتوسطات متساوية مما يدل على خلو السلسلة من المركبة الفصلية.

### • تحديد النموذج الملائم للتنبؤ

نطبق الآن خطوات بوكس-جينكينز على السلسلة ELECSA وعند القيام بالتنبؤ نأخذ بعين الاعتبار المعاملات الفصلية التي تم حذفها من السلسلة.

أ. مرحلة التشخيص أو التعرف: سندرس استقرارية السلسلة من خلال التمثيل البياني للسلسلة ELECSA وإحصائية ديكي فولر المطور.

من خلال المنحنى البياني للسلسلة ELECSA نلاحظ أنها غير مستقرة، يحث تظهر فيها بوضوح مركبة الاتجاه العام. يمكننا التأكد كذلك من خلال اختبار ديكي فولر المتطور.

t-Statistic	D l- *
เ-อเลแรแบ	Prob.*
3.128734	1.0000
-3.448414	
-2.869396	
-2.571023	
	-2.869396

نلاحظ أن احتمال إحصائية ADF أكبر من 0.05، وبالتالي نقبل بوجود جذر الوحدة في السلسلة، فهي إذن غير مستقرة (وجدنا نفس النتيجة بالنسبة للنموذجين الآخرين) وسبب عدم الاستقرار وجود اتجاه عام والذي يظهر في معنوية الاتجاه العام مما يستوجب تحويل السلسلة إلى سلسلة ذات الفروقات من الدرجة الأولى:

D(ELECSA) = ELECSA - ELESCA(-1)

ونطبق من جديد اختبار ADF لنتوصل إلى النتائج التالية:

Exogenous: Constan	LECSA) has a unit root t natic - based on SIC, ma	axlag=16)	
		t-Statistic	Prob.*
Augmented Dickey-Fuller test statistic		-14.54290	0.0000
	1% level	0.447000	
Test critical values:	1% level	-3.447963	
Test critical values:	5% level	-3.447963 -2.869198	

وباعتبار أن القيم المحسوبة لADF بالقيمة المطلقة والتي تساوي إلى 14.52 وهي أكبر من القيمة الحرجة والتي تساوي إلى 2.86 وهي أكبر من القيمة الحرجة والتي تساوي إلى 2.86 عند مستوى معنوية 5%، فسلسلة الفروقات من الدرجة الأولى تعتبر سلسلة ساكنة<sup>25</sup>، كما يمكن التأكد من استقراريتها من خلال التمثيل البياني لدالة الارتباط الذاتي لهذه السلسلة (D(ELECSA).

ب. مرحلة التقدير: رسم منحنى دالتي الارتباط الذاتي والجزئي للسلسلة (ELECSA) واختيار قيم p و p من خلال دالتي الارتباط الذاتي يمكننا تحديد القيم المحتملة لp ، في هذه الحالة نلاحظ نتوء واحد عند فترة التأخير p ، إذن القيمة المحتملة لp ، ومن خلال دالة الارتباط الذاتي الجزئي يمكننا تحديد القيم المحتملة لp ، ومن خلال دالة الارتباط الذاتي الجزئي يمكننا تحديد القيم المحتملة لp ، ومن خلال دالة الارتباط الذاتي الجزئي مكننا تحديد القيم المحتملة لp ، في هذه الحالة p القيم p ، ومن خلال دالة الارتباط الذاتي الجزئي عكننا تحديد القيم المحتملة لp ، في هذه الحالة p ، ومن خلال دالة الارتباط الذاتي الجزئي عكننا تحديد القيم المحتملة لp ، في هذه الحالة p ، ومن خلال دالة الارتباط الذاتي الجزئي عكننا تحديد القيم المحتملة ل

Autocorrelation	Partial Correlation		AC	PAC	Q-Stat	Prob
<del>-</del>  .	<del>-</del>  .	1	-0.325	-0.325	39.433	0.000
* .	<del>-</del>  .	2	-0.080	-0.207	41.833	0.000
. .	* .	3	-0.005	-0.122	41.844	0.000
* .	• .	4	-0.077	-0.165	44.097	0.000
.j. j	•j. j	5	0.018	-0.105	44.224	0.000
.j. j	.j. j	6	0.061	-0.009	45.635	0.000
. .	• .	7	-0.065	-0.075	47.229	0.000
. .	*j. j	8	-0.020	-0.089	47.387	0.000
. .	* .	9	0.001	-0.075	47.387	0.000
*I. I	* .	10	-0.080	-0.158	49.840	0.000
. *	.]. ]	11	0.093	-0.042	53.180	0.000
. *	. *	12	0.116	0.106	58.370	0.000
.j. j	.j• i	13	0.040	0.173	58.977	0.000
•1. 1	.j. j	14	-0.097	0.039	62.638	0.000
.j. j	.j• j	15	0.026	0.081	62.894	0.000
•].	.j. j	16	-0.079	-0.012	65.324	0.000

<sup>25</sup> نفس القرار عند تقدير النموذجين الباقيين.

فالنماذج الممكنة هي كما يلي: ARIMA(0.1.1), ARIMA(1.1.0); ARIMA(1.1.1)، 'ARIMA(1.1.2)، كما يلي: ARIMA(0.1.1). ARIMA(0.1.2). منا بتقدير جميع النماذج وتم اختيار النموذج ARIMA(0.1.1).

Dependent Variable: D(ELECSA) Method: ARMA Maximum Likeli hood (BFGS) Date: 02/08/21 Time: 20:47 Sample: 1M02 311M12 Included observations: 371 Convergence achieved after 8 iterations Coefficient covariance computed using outer product of gradients Coefficient Std. Error Prob. 24.59515 2.640473 9.314675 0.0000 AR(1) MA(1) 0.291802 0.074832 3.899429 0.0001 -0.763558 0.055553 -13.74456 0.0000 SIGMASQ 16612.77 666.8047 24.91399 0.0000 R-squared 0.195783 Mean dependent var 25.02448 Adjusted R-squared 0.189209 S.D. dependent var 143.9198 S.E. of regression 129.5910 Akaike info criterion 12.57861 Sum squared resid 6163336. 12.62083 Schwarz criterion Log likelihood -2329.331 Hannan-Quinn criter. 12.59538 F-statistic 29.78152 Durbin-Watson stat 1.999821 Prob(F-statistic) 0.000000 Inverted AR Roots

ج. مرحلة فحص النتائج: سندرس في هذه المرحلة صلاحية النموذج المقدر ويتم ذلك باختبار البواقي من حيث الارتباط والتجانس والتوزيع الطبيعي.

#### • مشكلة ارتباط الأخطاء:

Autocorrelation	Partial Correlation		AC	PAC	Q-Stat	Prob
.]. ]	.l. 1	1	-0.001	-0.001	0.0003	
.].	.].	2	0.011	0.011	0.0417	
.].	. .	3	0.008	0.008	0.0648	0.799
.].	.].	4	-0.061	-0.061	1.4513	0.484
.].	. .	5	0.009	0.008	1.4787	0.687
.].	.].	6	0.040	0.041	2.0704	0.723
. .	. .	7	-0.059	-0.059	3.4156	0.636
.].	. .	8	-0.029	-0.034	3.7402	0.712
.].	.].	9	0.005	0.007	3.7504	0.808
.].	.].	10	-0.013	-0.007	3.8193	0.873
. *	. *	11	0.156	0.149	13.124	0.157
. *	. *	12	0.190	0.192	27.097	0.003
. *	. *	13	0.097	0.111	30.702	0.001
. .	. .	14	-0.050	-0.057	31.666	0.002
.].	. .	15	0.002	0.006	31.667	0.003
*1.	. .	16	-0.076	-0.064	33.910	0.002
.].	. .	17	0.011	0.000	33.957	0.003
. .	. .	18	0.021	0.019	34.136	0.005

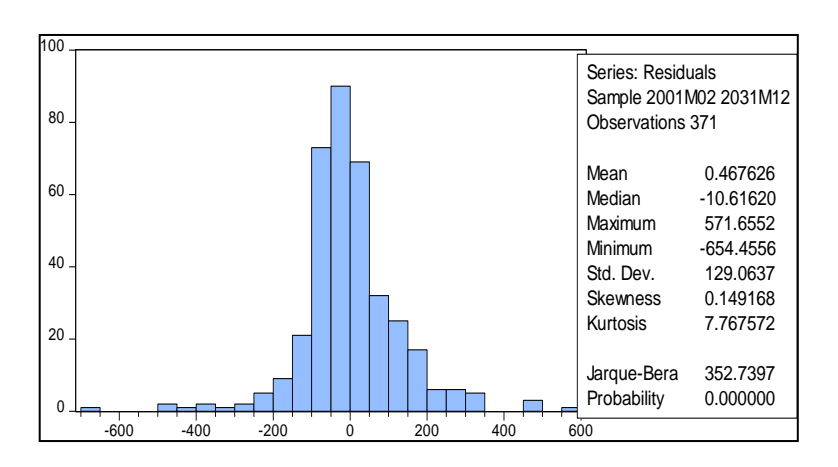
نلاحظ أن القيم داخل مجال الثقة، إذن الأخطاء غير مرتبطة فيما بينها.

• مشكلة عدم التجانس: نستخدم اختبار Arch

Heteroskedasticity T	est: ARCH		
F-statistic	1.779130	Prob. F(1,368)	0.1831
Obs*R-squared	1.780193	Prob. Chi-Square(1)	0.1821

نلاحظ أن احتمال إحصائية F-statistic أكبر من 0.05 إذن نقبل فرضية ثبات تباين الأخطاء.

# • التوزيع الطبيعي للأخطاء:



من خلال إحصائية Jarque Bera نلاحظ أنها أكبر من قيمة كاي مربع عند درجة الحرية 2، وبالتالي فالأخطاء لا تتوزع توزيع طبيعي.

#### د.التنبؤ

## • تنبؤ داخل العينة:

قدرت القيمة الأخيرة في عمود filted تعتبر قيمة تنبؤية داخل العينة.

القيمة الحقيقية (D(ELECSA) قدرت في الفترة 31M12 ب:147.211 والقيمة المتنؤ بما قدرت ب: 50,2293 وللحصول على القيمة التنبؤية للسلسلة ELECSA نقوم بمايلي:

$$D(ELECSA)_{31M12} = ELECSA_{31M12} - ELECSA_{31M11}$$

 $\Rightarrow \texttt{ELECSA}_{31\texttt{M}12} = \texttt{D}(\texttt{ELECSA})_{31\texttt{M}12} + \ \texttt{ELECSA}_{31\texttt{M}11} = 50,2293 + 10450.18 = 10500,4093$ 

وللحصول على القيمة التنبؤية للسلسلة الأصلية أي السلسلة التي تحتوي على المركبة الفصلية والاتجاه العام نقوم بضرب ELECSA<sub>32M12</sub> بالمعامل الفصلي المقابل للشهر 12. ونتحصل على النتائج التالية:

$$\text{ELEC}_{32\text{M}12} = \text{ELECSA}_{32\text{M}12} * \text{sa}_{12} = 10500,4093 * 1,001473 = 10515,87$$

## • التنبؤ خارج العينة

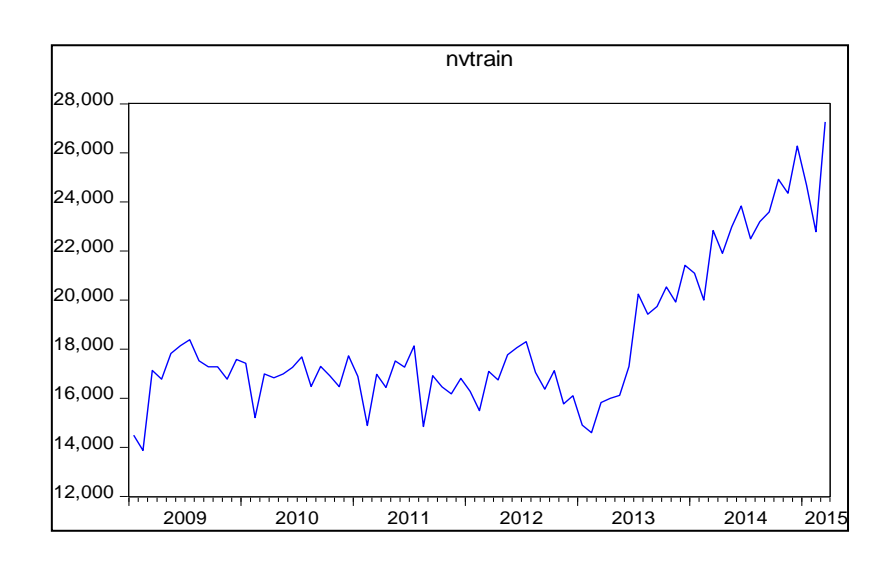
من خلال هذا النموذج قمنا بالتنبؤ لسنة 2017 بداية من شهر جانفي إلى غاية شهر ديسمبر من نفس السنة وتوصلنا إلى النتائج التالي:

الفترات	ELECSAf	المعاملات الفصلية	ELECf
2017m01	10287,814	0,954837	9823,1855
2017m02	10312,4092	0,928849	9578,67097
2017m03	10337,0043	0,907388	9379,6737
2017m04	10361,5995	0,890152	9223,39851
2017m04	10386,1946	0,971476	10089,9388
2017m06	10410,7898	0,943122	9818,64488
2017m07	10435,3849	1,059217	11053,3371
2017m08	10459,9801	1,08814	11381,9227
2017m09	10484,5752	1,161324	12175,9888
2017m10	10509,1704	1,115795	11726,0798
2017m11	10533,7655	1,018643	10730,1465
2017m12	10558,3607	1,001473	10573,9131

الطريقة الثانية: سنطبق الطريقة الثانية على المثال الخاص بعدد ركاب القطارات في أندونيسيا خلال الفترة الممتدة من شهر جانفي 2009 إلى غاية شهر مارس 2015.

مرحلة التشخيص أو التعرف: سندرس استقرارية السلسلة من خلال التمثيل البياني للسلسلة nvtrain ومن خلال إحصائية ديكي فولر المطور.

الرسم البياني: من خلال المنحنى البياني للسلسلة nvtrain نلاحظ أنها غير مستقرة، يحث تظهر فيها بوضوح مركبة الاتجاه العام والمركبة الفصلية.



# نتائج اختبار ADF:

	atic - based on SIC, ma		
		1-Statistic	Prob.*
Augmented Dickey-Fu	ıller test statistic	-0.621535	0.9748
Test critical values	1% level	-4.090602	
	5% level	-3.473447	
	10% level	-3.163967	

Exogenous: Constant, Linea Lag Length: 11 (Automatic -		axlag=11)	
		t-Statistic	Prob.*
Augmented Dickey-Fuller te	st statistic	0.582148	0.9993
Test critical values: 1%	level	-4.110440	
5%	level	-3.482763	
10	% level	-3.169372	

		t-Statistic	Prob.*
Augmented Dickey-Fu	ller test statistic	1.795711	0.9818
Test critical values:		-2.597478	
	5% level	-1.945389	
	10% level	-1.613838	

نلاحظ أن احتمال إحصائية ADF أكبر من 0.05 في النماذج الثلاث، وبالتالي نقبل بوجود جذر الوحدة في السلسلة، فهي إذن غير مستقرة . لتسكين السلسلة نقوم بأخذ الفروق من الدرجة الأولى ونلاحظ هل تستقر أم لا.

		t-Statistic	Prob.*
Augmented Dickey-Fu	Iller test statistic	-8.613137	0.0000
		-3.524233	
	5% level	-2.902358	
	10% le vel	-2.588587	

Null Hypothesis: D(NVTRAIN) has a unit root

Exogenous: Constant, Linear Trend Lag Length: 1 (Automatic - based on SIC, maxlag=11)

		t-Statistic	Prob.*
Augmented Dickey-Fu	ller test statistic	-8.758794	0.0000
Test critical values:	1% level	-4.090602	
	5% level	-3.473447	
	10% le vel	-3.163967	
	10% le vel	-3.163967	

\*MacKinnon (1996) one-sided p-values.

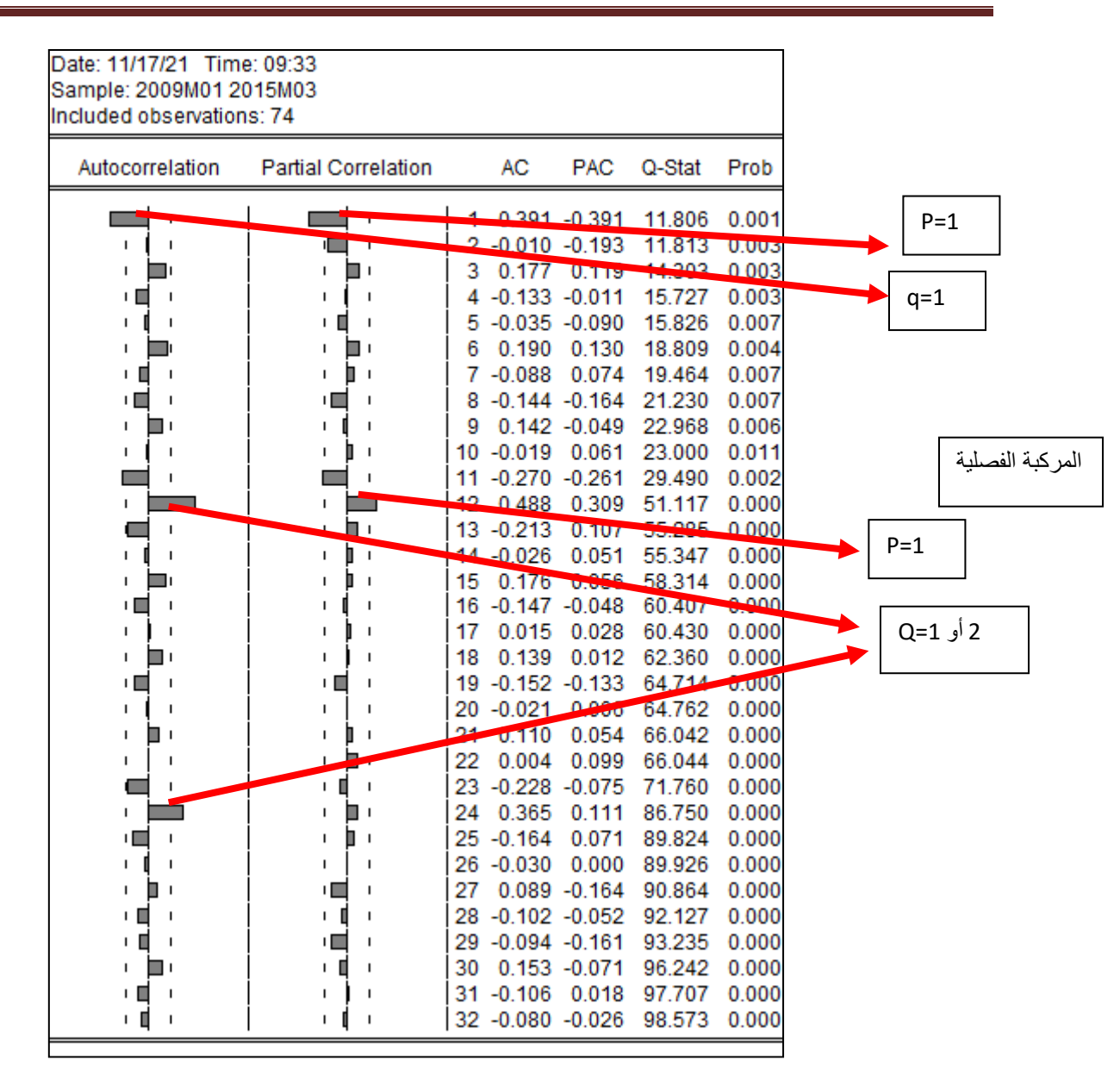
Null Hypothesis: D(NVTRAIN) has a unit root

Exogenous: None

		t-Statistic	Prob.*
Augmented Dickey-Fu	ller test statistic	-12.30764	0.0000
Test critical values:	1% level	-2.597025	
	5% level	-1.945324	
	10% le vel	-1.613876	

نلاحظ أن Prob<0.05 إذن السلسلة استقرت بعد أخذ الفروق الأولى(نفس القرار عند اختبارنا للنماذج الأخرى).

مرحلة التقدير: رسم منحني دالتي الارتباط الذاتي والجزئي للسلسلة (NVTRAIN) واختيار قيم كل من p لنموذج AR و q لنموذج MA وقيم Q لنموذج SAR وقيم Q لنموذج



من خلال دالتي الارتباط الذاتي ممكننا تحديد القيم المحتملة لq ، في هذه الحالة نلاحظ نتوء واحد عند فترة التأخير p ، إذن القيمة المحتملة لp ، ومن خلال دالة الارتباط الذاتي الجزئي يمكننا تحديد القيم المحتملة لp ، في هذه الحالة p يأخذ القيمة p ، بالنسبة للمعاملات الموسمية نلاحظ نتوء عند التأخير p لدالة الارتباط الذاتي الجزئي أي أن p يأخذ القيمة p ، أما من خلال دالة الارتباط الذاتي الجزئي نلاحظ نتوء في الفترة p والفترة p ، أي أن p تأخذ القيمة p ، أما من خلال دالة الارتباط الذاتي الجزئي نلاحظ نتوء في الفترة p والفترة p ، أي أن p تأخذ القيمة p ، أو p .

نقوم بتقدير كل النماذج المحتملة ونختار أحسن نموذج.

وحسب المعايير المعتمد عليها في اختيار أحسن نموذج من عدة نماذج، تم اختيار النموذج التالي:  $SARIMA(1,1,0)(1,0,1)^{12}$ 

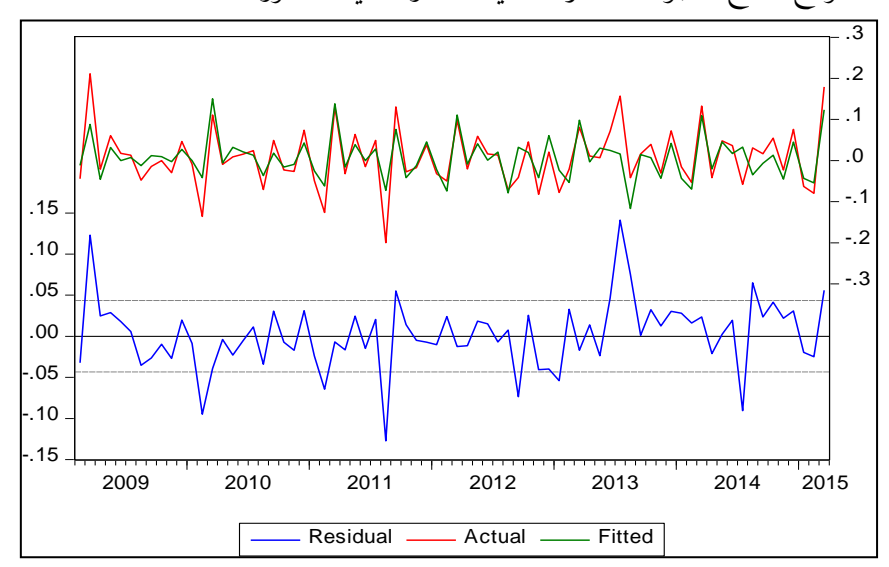
Dependent Variable: DLOG(NVTRAIN) Method: ARMA Maximum Likelihood (BFGS) Date: 02/15/21 Time: 12:13 Sample: 2009M02 2015M03 Included observations: 74 Convergence achieved after 89 iterations Coefficient covariance computed using outer product of gradients Variable Coefficient Std. Error t-Statistic 0.007712 0.011868 0.649820 0.5180 AR(1) SAR(12) -0.325998 1.000000 0.103383 2.51E-05 -3.153912 0.0024 39766.58 0.0000 MA(12) SIGMASO 6.463280 0.001760 0.000272 0.0000 0.646792 R-squared Me an dependent var 0.008540 Adjusted R-squared 0.626316 S.D. dependent var Akaike info criterion 0.071067 S.É. of regression 0.043443 -3.011972 Sum squared resid Log likelihood Schwarz criterion Hannan-Quinn criter. 0.130224 -2.856291 116.4429 -2.949869 F-statistic Durbin-Watson stat 1.886063 Prob(F-statistic) 0.000000

مرحلة فحص النتائج: سندرس في هذه المرحلة صلاحية النموذج المقدر ويتم ذلك باختبار البواقي من حيث الارتباط والتجانس والتوزيع الطبيعي.

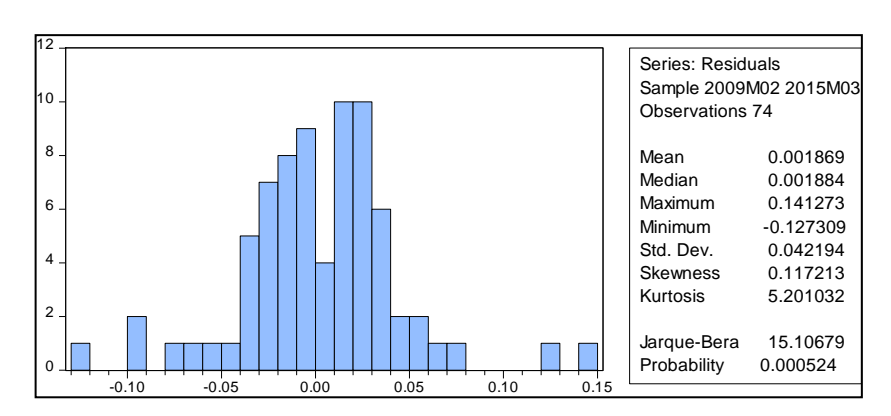
## • مشكلة ارتباط الأخطاء:

Date: 02/15/21 Time: 13:51 Sample: 2009M01 2015M03 Included observations: 74 Q-statistic probabilities adjusted for 3 ARMA terms						
Autocorrelation	Partial Correlation		AC	PAC	Q-Stat	Prob
	.1. 1 .2. 1 .3. 1 .3. 1 .3. 1 .4. 1 .3. 1 .3. 1 .3. 1 .3. 1	4 5 6 7 8 9 10 11 12 13 14 15 16	0.118 0.070 0.081 0.025 0.084 -0.058 -0.074 0.014 -0.089 -0.181 0.004 0.101 0.040 0.058	0.062 0.065 0.006 0.064 -0.076 -0.096 0.021 -0.077 -0.172 0.038 0.171 0.078 0.044	1.1992 1.5818 2.1118 2.1618 2.7444 3.0262 3.4898 3.5063 4.2011 7.1306 7.1324 8.0732 8.0732 8.5458 8.7312	0.625 0.743 0.756 0.523 0.623 0.622 0.693 0.741 0.793
		18 19 20 21 22 23 24 25 26 27 28 29	0.070 0.010 -0.012 0.067 0.053 -0.174 -0.088 0.015 -0.024 -0.057 -0.033 -0.182	-0.099 -0.048 0.041 0.016 -0.203 -0.034 0.144 0.021 -0.075 0.028 -0.121	10.907 10.917 10.932 11.412 11.712 15.064 15.932 15.957 16.027 16.413 16.547	0.759 0.815 0.860 0.876 0.898 0.773 0.773 0.818 0.854 0.873

نلاحظ أن قيم معاملات دالة الارتباط الذاتي والارتباط الذاتي الجزئي داخل مجال الثقة، إذن الأخطاء غير مرتبطة فيما بينها. • كما نلاحظ من خلال رسم البواقي، أن الفروقات بين القيم الحقيقية والمتنبؤ بها صغيرة، فهي تقريبا متطابقة، هذا يدل على أن النموذج صالح للتنبؤ بعدد الركاب في القطارات في الشهور القادمة.



# • التوزيع الطبيعي للأخطاء:



من خلال إحصائية Jarque Bera أنها أكبر من قيمة كاي مربع عند درجة الحرية 2، وبالتالي فالأخطاء لا تتوزع توزيع طبيعي.

مرحلة التنبؤ: سنحاول التنبؤ بهذا النموذج خارج العينة فقط لمدة ثمانية أشهر بداية من الشهر 4 لسنة 2015 إلى غاية الشهر 12 من نفس السنة. سنطبق نفس الخطوات التي شرحناها في الأمثلة السابقة ونتحصل على النتائج التالية:

2015m12	2015m11	2015m10	2015m09	2015m08	2015m07	2015m06	2015m05	2015m04	الفترات
27469	26543	27045	26776	26400	27224	27009	26652	25925	NVTRAINF

Dimitrios Asteriou and Stephen G. Hall 2006, 2007 Dimitrios Asteriou and Stephen G. Hall 2006, 2007

الفصل الرابع: نموذج الانحدار الذاتي المتجه VAR

#### تمهيد

للتعامل مع التنبؤ بسلسلتين زمنيتين أو أكثر نحتاج إلى تجاوز منهجية بوكس-جينكينز، لهذا الغرض يتم استخدام نماذج الانحدار الذاتي المتجه.

تطرقنا في الفصل الخاص بالمعادلات الآنية، حيث تحدثنا عن نماذج اقتصادية أين تكون فيها بعض المتغيرات متغيرات تفسيرية لمتغير معين، والتي بدورها تم تفسيرها أيضًا بالمتغيرات التي يتم استخدامها في النموذج، في هذه الحالة من الضروري تحديد بوضوح أو تمييز بين المتغيرات الداخلية والمتغيرات الخارجية أو المحددة مسبقًا، القرار المتعلق بشأن هذا التمييز اعتبرها سيمس (Sims (1980) كقيود فهي لا تستند إلى بيانات أو إلى دلائل تحريبية، لذلك اقترح أن لا يكون هناك تمييز بين المتغيرات الداخلية والخارجية. لذلك، وبمجرد إسقاط هذا التمييز ، يتم التعامل مع جميع المتغيرات على أنها داخلية، وكل معادلة لها نفس مجموعة الانحدار، ولهذا السبب طور سيمس نموذج VAR 26. ففي حالة عدم التأكد من طبيعة المتغيرات (خارجية أو داخلية)، علينا معالجة كل متغيرة بشكل متماثل.

## الشكل العام:

قبل كتابة الشكل العام للنموذج نأخذ مثال عن نموذج VAR في شكله الهيكلي يحتوي على متغيريتين  $X_t$  ويث السلسلة السلسلة الزمنية  $Y_t$  متأثرة به القيم الحالية والسابقة للسلسة للسلسة  $X_t$  وبالقيم السابقة لا  $X_t$  ويضا متأثرة بالقيم الحالية والسابقة لسلسلة  $Y_t$  وبالقيم السابقة لا  $X_t$  في هذه الحالة سيكون لدينا النظام التالى:

$$\begin{cases} Y_{t} = \beta_{10} - \beta_{12} X_{t} + \gamma_{11} Y_{t-1} + \gamma_{12} X_{t-1} + \mu_{Yt} \dots (1) \\ X_{t} = \beta_{20} - \beta_{21} Y_{t} + \gamma_{21} Y_{t-1} + \gamma_{22} X_{t-1} + \mu_{Xt} \dots (2) \end{cases} \dots \dots (I)$$

حيث بفترض أن  $X_t$  و  $Y_t$  ساكنتين وأن الأخطاء  $(\mu_{Yt},\mu_{Xt})$  غير مرتبطان ويشكلان تشويش أبيض. نظام المعادلات  $\mu_t$  هو عبارة الشكل الهيكلي لنموذج  $V_t$  من الرتبة 1 لأن فترة تأخير المتغيرتين هو 1، تسمى الأخطاء  $\mu_t$  في مثل هذه النماذج بالصدمات  $v_t$  (shocks).

يمكن كتابة هذا النظام على الشكل المصفوفي التالي:

$$\begin{bmatrix} 1 & \beta_{12} \\ \beta_{21} & 1 \end{bmatrix} \begin{pmatrix} Y_t \\ X_t \end{pmatrix} = \begin{pmatrix} \beta_{10} \\ \beta_{20} \end{pmatrix} + \begin{bmatrix} \gamma_{11} & \gamma_{12} \\ \gamma_{21} & \gamma_{22} \end{bmatrix} \begin{pmatrix} Y_{t-1} \\ X_{t-1} \end{pmatrix} + \begin{pmatrix} \mu_{Yt} \\ \mu_{Xt} \end{pmatrix} \dots (3)$$

لنضع:

Dimitrios Asteriou and Stephen G. Hall: Applied Econometrics, Amodern Approach, Revised Edition, First edition, <sup>26</sup> New York, 2006, 2007, P278.

$$\beta Z_t = \tau_0 + \tau_1 Z_{t-1} + \mu_t \dots (4)$$

$$\beta = \begin{bmatrix} 1 & \beta_{12} \\ \beta_{21} & 1 \end{bmatrix}, Z_t = \begin{pmatrix} Y_t \\ X_t \end{pmatrix}, \tau_0 = \begin{bmatrix} \gamma_{11} & \gamma_{12} \\ \gamma_{21} & \gamma_{22} \end{bmatrix}, \tau_1 = \begin{pmatrix} Y_{t-1} \\ X_{t-1} \end{pmatrix}, \mu_t = \begin{pmatrix} \mu_{Yt} \\ \mu_{Xt} \end{pmatrix} \quad :$$
حيث:

إذا كانت المصفوفة  ${f B}$  غير شاذة وبالتالي تقبل معكوس، نضرب المعادلة  ${f (4)}$  بـ  ${f B}^{-1}$  نتحصل على:

$$Z_t = A_0 + A_1 Z_{t-1} + e_t$$

$$e_t = \mathbf{B}^{-1}\mu_t$$
 ,  $A_1 = \mathbf{B}^{-1}\tau_1$  ،  $A_0 = \mathbf{B}^{-1}\tau_0$  :حيث

$$\begin{bmatrix} \mathbf{e}_{1t} \\ \mathbf{e}_{2t} \end{bmatrix} = \begin{bmatrix} \mathbf{1} & \boldsymbol{\beta}_{12} \\ \boldsymbol{\beta}_{21} & \mathbf{1} \end{bmatrix}^{-1} \begin{bmatrix} \boldsymbol{\mu}_{Yt} \\ \boldsymbol{\mu}_{Xt} \end{bmatrix}$$

لغرض التبسيط يمكننا رمز لـ  $a_{i0}$  للعنصر i في الشعاع  $a_{i0}$ ، العنصر  $a_{ij}$  للعنصر  $a_{i0}$  للعنصر i والعمود  $a_{i0}$  للختصر  $e_{it}$  والعمود  $e_{it}$  وباستعمال هذه الرموز يمكننا كتابة النظام  $e_{it}$  ) السابق على الشكل المختصر التالى:

$$\begin{cases} Y_{t} = a_{10} + a_{11}Y_{t-1} + a_{12}X_{t-1} + e_{1t} \dots (5) \\ X_{t} = a_{20} + a_{21}Y_{t-1} + a_{22}X_{t-1} + e_{2t} \dots (6) \end{cases} \dots \dots (II)$$

يمكن أن نلاحظ أن الأخطاء  $e_{it}$  (أخطاء الشكل المختصر) مكتوبة بدلالة الصدمات  $e_{it}$  (أخطاء الشكل الميكلي)، على الشكل التالى:

$$e_{1t} = (\mu_{Yt} + \beta_{12}\mu_{Xt})/(1-\beta_{12}\beta_{21})$$

$$e_{2t} = (\mu_{Xt} + \beta_{21}\mu_{Yt})/(1 - \beta_{12}\beta_{21})$$

بما أن  $(\mu_{Yt},\mu_{Xt})$  إذن الأخطاء  $e_{it}$  هي أيضا عبارة عن تشويش أبيض.

نلاحظ أيضا من خلال النظام (II) أن كل معادلة تحوي فقط على قيمها المتباطئة والقيم المتباطئة للمتغيرات الأخرى في النظام.

أحد المتطلبات الأساسية لنموذج VAR هو أن تكون السلاسل قيد الدراسة ساكنة أو مستقرة، في هذه الحالة لدينا ثلاث حالات<sup>27</sup>:

الحالة الأولى: إذا كانت  $X_t$  كل منهما مستقرة عند المستوى، أيI(0) في هذه الحالة نقدر كل معادلة على حدا باستخدام طريقة المربعات الصغرى العادية.

<sup>&</sup>lt;sup>27</sup> Gujarati Damodar, op cit ,P440

الحالة الثانية: كل من  $Y_t$ ،  $X_t$  هي I(1)، في هذه الحالة وجب تسكين السلسلتين ثم تقدير كل معادلة بطريقة المربعات الصغرى العادية.

الحالة الثالثة: كل من  $Y_t$ ,  $X_t$  هي (I(1)، مع وجود تكامل مشترك بينهما، في هذه الحالة علينا استخدام آلية تصحيح الخطأ $^{28}$  (VECM)، هذا التصحيح يجمع بين التوازن طويل المدى والديناميكيات قصيرة المدى للوصول إلى هذا التوازن.

## إيجابيات وسلبيات نماذج VAR

تميز نموذج VAR ببعض الخصائص الجيدة ، أولاً ، إنه بسيط جدًا، حيث كل متغيراته داخلية. ثانيا ، التقدير بسيط جدًا أيضًا ، حيث كل معادلة يمكن تقديرها بطريقة OLS العادية بشكل منفصل. ثالثًا، التنبؤات التي تم الحصول عليها من نماذج VAR هي في معظم الحالات أفضل من تلك التي تم الحصول عليها من نماذج المعادلات الآنية.

من ناحية أخرى، واجهت هذه النماذج عدة انتقادات ، أولاً، أن هذه النماذج لا تستند إلى أي نظرية اقتصادية. نظرًا لعدم وجود قيود في البداية على أي من المعلمات قيد التقدير، في الواقع "كل شيء يسبب كل شيء. ومع ذلك، غالبًا ما يتم استخدام الاستدلال الإحصائي في النماذج المقدرة بحيث يمكن إسقاط بعض المعاملات التي تبدو غير مهمة. عادة ما يتم تنفيذ استنتاج "كل شيء يسبب كل شيء" باستخدام ما يسمى باختبارات السببية التي سنتطرق لها في النقطة الموالية.

يتعلق النقد الثاني بفقدان درجات الحرية، مثلا إذا افترضنا أن لدينا نموذج VAR متكون من ثلاث متغيرات وقررنا إدراج 12 تأخرًا لكل متغير في كل معادلة، فسيستلزم ذلك تقدير 36 معلمة في كل معادلة بالإضافة إلى الثابت<sup>29</sup> في كل معادلة. إذا لم يكن حجم العينة كبيرًا بما يكفي ، فإن تقدير عدد كبير من المعلمات سيستهلك درجات عديدة من الحرية، مما يخلق مشاكل في التقدير.

في الأخير، من الصعب تفسير المعاملات التي تم الحصول عليها لنماذج VAR لأن هذه النماذج لا تعتمد في بنائها على النظرية الاقتصادية. للتغلب على هذا الانتقاد، يقدر المدافعون عن نماذج VAR ما يسمى بدوال الاستجابة النبضية (Impulse Response Functions)، تقوم هذه الدوال بفحص استجابة المتغير التابع في VAR للصدمات من حيث الأخطاء. لكن القضية الصعبة هنا هي تحديد الصدمات. المفهوم العام هو أننا نريد أن نصدم الأخطاء الهيكلية، أي الأخطاء الموجودة في كل من المعادلة (1) أو (2) والتي يمكننا تفسيرها بسهولة على أنها صدمة لجزء معين من النموذج الهيكلي.

<sup>&</sup>lt;sup>28</sup> Gujarati Damodar, Traduction de la 4<sup>ème</sup> édition américaine par Bernier Bernard, Econométrie, édition de Boeck, 1<sup>ére</sup> édition, Bruxelles, Belgique, 2004, P 564.

<sup>.</sup> عدد المعلمات الواجب تقديرها في العموم هي  $m+pm^2$  معلمة حيث Pو m تمثل عدد المعادلات والمتغيرات المتأخرة.

## نماذج VAR واختبارات السببية

يعتبر مشكل السببية من أهم المحاور في تحديد صيغ النماذج الاقتصادية، إذ يهدف إلى البحث عن أسباب الظواهر الاقتصادية وفهمها للتمييز بين الظاهرة التابعة من الظواهر المستقلة ألمفسِرة لها. قلنا من قبل أن إحدى الميزات الجيدة لنماذج VAR هي أنها تسمح لنا باختبار اتجاه السببية.

#### 1. اختبار جرانجر Granger للسببية

اقترح (Granger(1969) معيار تحديد العلاقة السببية التي ترتكز على العلاقة الديناميكية الموجودة بين السلاسل الزمنية، حيث إذا كانت  $X_t$  سلسلتين زمنيتين تعبران عن تطور ظاهرتين اقتصاديتين مختلفتين عبر الزمن  $X_t$  الزمنية، حيث إذا كانت  $X_t$  سلسلتين زمنيتين تعبران عن خلالها يمكن تحسين التوقعات بالنسبة للسلسلة  $X_t$ ، في هذه الحالة نقول أن  $X_t$  تسبِّب  $X_t$ ، إذن كل متغيرة تحتوي على معلومات تساعد على تحسين التوقع لمتغيرة أخرى نقول عنها متغيرة سببية  $X_t$ .

ليكن نموذج  $X_t$  المتكون من المتغيرتين المستقرتين  $X_t$  التالي:

$$Y_{t} = a_{1} + \sum_{i=1}^{n} \beta_{i} X_{t-i} + \sum_{j=1}^{m} \gamma_{j} Y_{t-j} + \mu_{1t} \dots (7)$$

$$X_{t} = a_{2} + \sum_{i=1}^{n} \theta_{i} X_{t-i} + \sum_{j=1}^{m} \delta_{j} Y_{t-j} + \mu_{2t} \dots (8)$$

حيث يُفترض أن كلا من  $\mu_{1t}$  و  $\mu_{2t}$  غير مرتبطة وتشكل تشويش أبيض. في هذا النموذج يمكن أن يكون لدينا الحالات المختلفة التالية:

الحالة  $Y_{t-i}$  في المعادلة (7) محتلفة معنويا عن الصفر، والمتغيرات المتأخرة  $Y_{t-j}$  في المعادلة (8) لا تحتلف معنويا عن الصفر. في هذه الحالة لدينا  $X_t$  تسبب  $X_t$  يعني أن ماضي  $X_t$  يحسن من تنبؤ  $X_t$  في اللحضة  $X_t$  وهو أفضل من الاعتماد فقط على ماضي  $X_t$ .

الحالة 2: قد تكون  $Y_{t-j}$  في المعادلة (8) محتلفة معنويا عن الصفر، والمتغيرات X المتأخرة في المعادلة (7) لا تختلف معنويا عن الصفر، في هذه الحالة لدينا أن Xt يسبب Xt يعني أن ماضي Xt يحسن من تنبؤ Xt في اللحضة Xt وهو أفضل من الاعتماد فقط على ماضى Xt.

الحالة 3: كلتا المجموعتين Xt و Yt في المعادلتين 7 و8 تختلفا معنويا عن الصفر، في هذه الحالة لدينا سببية ثنائية الاتجاه، وهذا يعني أن ماضي Xt يحسن تنبؤ Yt ، وأن ماضي Yt يحسن تنبؤ Xt.

الحالة 4: كلتا المجموعتين Xt و Yt في المعادلتين 7 و8 تختلفا معنويا عن الصفر، في هذه الحالة Xt مستقلة عن Yt.

<sup>&</sup>lt;sup>30</sup> شيخي محمد، طرق الاقتصاد القياسي، محاضرات وتطبيقات، الحامد، الجزائر، الطبعة الأولى، 2011، ص 276.

# يتضمن اختبار Granger السببية الإجراء التالي<sup>31</sup>:

أولا، نقوم بتقدير نموذج VAR المعطى بواسطة المعادلتين (7) و (8). ثانيا التأكد من معنوية المعلمات الخاصة بالمتغيرات المتأخرة، وحذف المتغيرات الغير معنوية، وفقًا لنتيجة اختبارات حذف المتغيرات، نستنتج اتجاه السببية بناءً على الحالات الأربع المذكورة أعلاه.

ولأكثر توضيح نطبق اختبار السببية لـ Granger على المعادلة (7) (بنفس الطريقة تطبق على النموذج (8)، بإتباع الخطوات التالية:

الخطوة 1: نقوم بتقدير المعادلة (7) باستخدام طريقة المربعات الصغرى،

$$Y_{t} = a_{1} + \sum_{i=1}^{n} \beta_{i} X_{t-i} + \sum_{j=1}^{m} \gamma_{j} Y_{t-j} + \mu_{1t}$$

ونتحصل على مجموع مربعات البواقي والذي نرمز له بـ RSSu؛

الخطوة 2: نقوم بتقدير المعادلة التالية باستخدام طريقة المربعات الصغرى:

$$Y_t = a_1 + \sum_{j=1}^{m} \gamma_j Y_{t-j} + \mu_{1t} \dots (9)$$

ونتحصل على مجموع مربعات البواقي المقيد والذي نرمز له بـ RSS $_{
m R}$ ،

الخطوة 3: اختبار الفرضيتين التاليتين:

الخطوة 4: حساب إحصائية F لاختبار Wald test العادي على قيود المعامل والتي تعطى بالعلاقة التالية:

$$F_{C} = \frac{(RSS_{R} - RSS_{U})/m}{RSS_{U}/(n-k)} \sim F(m, n - k)$$

أين: k يمثل عدد المعلمات في المعادلة المعنية.

ففي حالة القيمة المحسوبة لـ F أكبر من القيمة المجدولة، فإننا نرفض الفرضية المعدومة وبالتالي Xt تسبب Xt.

<sup>&</sup>lt;sup>31</sup> LARDIC S. et MIGNON V.,(2002) "Econométrie des séries temporelles macroéconomiques et financières" Ed. Economica-Paris. pp. 99-101.

إحدى الآثار المترتبة على نظرية Granger السببية  $^{32}$  هي أنه في حالة وجود تكامل مشترك بين السلسلتين Xt وكانت كل منهما (Xt ) (غير مستقرتين) ،إذن إما Xt تسبب Xt أو Xt تسبب Xt تسبب Xt

2. اختبار سببية Sims: اقترح (1980) اختبارًا بديلاً للسببية باستخدام حقيقة أنه في المفهوم العام للسببية السببية باستخدام حقيقة أنه في المفهوم العام للسببية للا يمكن للمستقبل أن يتسبب في الحاضر.لذلك، عندما نريد التحقق مما إذا كان المتغير Yt يسبب Xt يقترح VXt يقترح تقدير نموذج VAR التالي:

$$Y_{t} = a_{1} + \sum_{i=1}^{n} \beta_{i} X_{t-i} + \sum_{j=1}^{m} \gamma_{j} Y_{t-j} + \sum_{p=1}^{k} \vartheta_{p} X_{t+p} + \mu_{1t} \dots (10)$$

$$X_{t} = a_{2} + \sum_{i=1}^{n} \theta_{i} X_{t-i} + \sum_{j=1}^{m} \delta_{j} Y_{t-j} + \sum_{p=1}^{k} \emptyset_{p} Y_{t+p} + \mu_{2t} \dots (11)$$

الشيء الإضافي هنا، و بصرف النظر عن القيم المتأخرة لـ Xt و Xt ، نجد أيضًا قيم مستقبلية لـ  $X_t$  متضمنة في المعادلة الأولى (وقيم مستقبلية مماثلة لـ Xt في المعادلة الثانية).

عند فحص المعادلة الأولى فقط، إذا تسبب Yt في Xt، فسنتوقع وجود علاقة ما بين Yt والقيم الرئيسية لـ  $X_t$ . لذلك،  $X_t$  من اختبار القيم المتأخرة لـ  $X_t$  نختبر  $y_t$  ختبر  $y_t$  في  $y_t$ . إذا تم رفض هذا القيد فإن السببية تمتد من Yt إلى  $y_t$  وليس العكس، لأن المستقبل لا يمكن أن يسبب الحاضر.

لإجراء الاختبار، نقدر ببساطة نموذجًا بدون القيم التنبؤية (النموذج 7 وهو النموذج المقيد) ثم نقدر النموذج باضافة القيم المستقبلية وهو النموذج كما يظهر في المعادلة (10) (وهو النموذج غير المقيد)، ثم نحصل على إحصائية F كما في اختبار Granger أعلاه.

من غير الواضح أي الاختبارين هو الأفضل، ومعظم الباحثين يستخدم كليهما. ومع ذلك، فإن اختبار Sims، باستخدام المزيد من regressors (بسبب تضمين القيم المستقبلية)، يؤدي إلى فقدان درجات أكبر من الحرية.

## مثال تطبيقي

سنحاول من خلال المعطيات الفصلية الخاصة بمتغيرة الطلب X والأسعار Y ل Y مشاهدة X تطبيق اختبار Granger بالاستعانة بمبرمج Eviews 10.

<sup>&</sup>lt;sup>32</sup> Gujarati Damodar, op cit, p842.

<sup>33</sup> النتائج مدونة في الجدول 1 في الملحق 1.

أول خطوة نقوم بها هو تحديد درجة تكامل السلسلتين، وحسب نتائج اختبار جذر الوحدة لديكي فولر فإن السلسلتين مستقرتين عند المستوى.

في الخطوة الثانية نقوم بتقدير نموذج VAR وتحديد درجة تأخير النموذج: حسب النتائج درجة التأخير المثلى للنموذج هي 1.

نتائج تقدير النموذج مدونة في الجدول التالي:

Vector Autoregression Estimates Date: 06/17/22 Time: 19:14 Sample (adjusted): 2 72 Included observations: 71 after adjustments Standard errors in () & t-statistics in []					
	х	Υ			
X(-1)	0.006761 (0.10643) [ 0.06352]	-0.175276 (0.09520) [-1.84115]			
Y(-1)	-0.612582 (0.13676) [-4.47933]	0.299261 (0.12232) [2.44648]			
С	17.12963 (5.96479) [2.87179]	-12.86284 (5.33523) [-2.41093]			
R-squared Adj. R-squared Sum sq. resids S.E. equation F-statistic Log likelihood	0.280109 0.258935 106500.2 39.57498 13.22934 -360.3640	0.207717 0.184415 85205.25 35.39800 8.913976 -352.4445			

يكتب النموذج المقدر على الشكل التالي:

$$\begin{cases} X_{\mathsf{t}} = 17,12963 + 0,006761 X_{\mathsf{t}-1} - 0,612582 Y_{\mathsf{t}-1} + \mathrm{e}_{1\mathsf{t}} \\ Y_{\mathsf{t}} = -1286284 + 0,299261 Y_{\mathsf{t}-1} - 0,175276 X_{\mathsf{t}-1} + \mathrm{e}_{2\mathsf{t}} \end{cases}$$

ولاختبار سببية Granger نقوم بفتح المتغيرتين في نفس الجدول ونضغط على:

View → Show، يظهر لنا الجدول ثم نضغط على:

ok ونتحصل على  $View \to Granger\ Causality$  ونتحصل على  $View \to Granger\ Causality$  ونتحصل على النتائج التالى:

Pairwise Granger Causality Tests Date: 06/17/22 Time: 20:09 Sample: 172 Lags: 1			
Null Hypothesis:	Obs	F-Statistic	Prob.
Y does not Granger Cause X X does not Granger Cause Y	71	20.0644 3.38984	3.E-05 0.0700

من خلال هذه النتائج، نلاحظ بالنسبة لاختبار الفرضية التي تنص على أن المتغيرة Y لا تسبب X (المعادلة الأولى)، احصائية فيشر  $F_{c}=20,06$  ، وبمقارنة هذه القيمة مع القيمة المجدولة  $F_{c}=20,06$  عند مستوى معنوية  $F_{c}=20,06$  تقدر به 4 فإننا نرفض الفرضية المعدومة وبالتالي المتغيرة Y تشرح معنويا المتغيرة  $F_{c}=20,06$  نتقل من  $F_{c}=20,06$  تتقل من  $F_{c}=20,06$  من

بنفس الطريقة، نختبر السببية لـ X نحو Y على المعادلة الثانية: X لا تسبب  $Y_0$ : Y وحسب النتائج نلاحظ أن  $Y_0$ :  $Y_0$ : Y

## ديناميكية نموذج VAR

## كتابة نموذج VAR على شكل VMA

تسمح نماذج VAR تحليل تأثيرات السياسة الاقتصادية، من خلال محاكاة الصدمات العشوائية وتحلل أو تفكك تباين الخطأ. ومع ذلك، يتم إجراء هذا التحليل من خلال افتراض ثبات البيئة الاقتصادية "كل الأشياء الأخرى متساوية".

توجد علاقة بين نماذج الانحدار الذاتي AR(p) ونماذج المتوسطات المتحركة MA(q) حيث يمكننا كتابة نموذج AR(p) على شكل نموذج  $MA(\infty)$ . النموذج على هذا AR(1) على شكل نموذج  $MA(\infty)$ . النموذج على هذا الشكل يسمح لنا بقياس أثر تغيرات الصدمات  $e_t$  على القيم الحالية.

ليكن نموذج (VAR(p التالي:

$$Z_t = A_0 + A_1 Z_{t-1} + A_2 Z_{t-2} + \dots + A_p Z_{t-p} + e_t$$

کتابته علی شکل  $VMA(\infty)$  یعطی کما یلی:

$$Z_t = \theta + \sum_{i=0}^{\infty} B_i e_{t-i} \dots (12)$$

حيث:

$$B_i = \sum_{j=1}^{\min(\mathrm{p},\mathrm{i})} A_j \, B_{i-j} \quad i = 1,2 \dots, B_0 = I \quad \ \ \, \vartheta \ \, \theta = (I - A_1 - A_2 \dots - A_p)^{-1} A_0$$

أ الصفر عندما  $B_i$  الماتت مصفوفة الانتقال  $B_i$  (Matrice de transition) ها جذور وحدة،فإن  $B_i$  الصفر عندما ودا كانت مصفوفة الانتقال  $D_i$  المتعرار تأثير المتغيرات العشوائية في التأثير على القيمة الحالية الحراك استمرار تأثير المتغيرات العشوائية في التأثير على القيمة الحالية الحراك استمرار تأثير المتغيرات العشوائية في التأثير على القيمة الحالية الحراك المتحرار تأثير المتغيرات العشوائية في التأثير على القيمة الحالية الحراك المتحرار تأثير المتغيرات العشوائية في التأثير على القيمة الحراك المتحرار تأثير المتعربات العشوائية في التأثير على المتحرار تأثير المتحرار تأثير المتعربات العشوائية في التأثير على المتحرار تأثير المتعربات العشوائية في التأثير على المتحرار المتحرار تأثير المتحرار تأثير المتحرار تأثير المتعربات العشوائية في التأثير على المتحرار تأثير المتحرار تأثير المتحرار ال

حدوثها في الماضي. بالإضافة إلى ذلك، لن يكون الفرق بين عناصر X محدودًا. لذلك من المهم أن تكون جميع جذور مصفوفة الانتقال B داخل دائرة الوحدة $^{34}$ .

التغير الذي يحدث في  $e_t$  خلال فترة زمنية t يؤثر على القيم المتتالية لا  $Z_t$  وبالتالي فإن أثر الصدمة دائم ويتلاشى تدريجيا.

#### تحليل الصدمات ودوال الاستجابة Impulse Response Fonction

تحليل الصدمات يسمح بدراسة أثر صدمة معينة على متغيرات النظام. ليكن نموذج (VAR(1)) الموضح في النظام التالى:

$$\begin{cases} Y_{t} = \hat{a}_{10} + \hat{a}_{11}Y_{t-1} + \hat{a}_{12}X_{t-1} + \hat{e}_{1t} \\ X_{t} = \hat{a}_{20} + \hat{a}_{21}Y_{t-1} + \hat{a}_{22}X_{t-1} + \hat{e}_{2t} \end{cases}$$

التغير في قيم  $\hat{\mathbf{e}}_{1t}$  خلال فترة زمنية معينة سيؤثر على  $\mathbf{Y}_{t}$  و على  $\mathbf{Y}_{t+1}$ ، ثم على سبيل المثال إذا حدثت صدمة عند اللحظة  $\hat{\mathbf{e}}_{1t}$  تساوي  $\mathbf{1}$ فإن أثرها يكون كالتالى:

$$egin{pmatrix} \Delta Y_{t} \\ \Delta X_{t} \end{pmatrix} = egin{pmatrix} 1 \\ 0 \end{pmatrix}$$
 :t عند اللحظة  $\begin{pmatrix} \Delta Y_{t+1} \\ \Delta X_{t+1} \end{pmatrix} = egin{pmatrix} \hat{a}_{11} & \hat{a}_{12} \\ \hat{a}_{21} & \hat{a}_{22} \end{pmatrix} egin{pmatrix} 1 \\ 0 \end{pmatrix}$  :t+1 عند اللحظة  $\begin{pmatrix} \Delta Y_{t+2} \\ \Delta X_{t+2} \end{pmatrix} = egin{pmatrix} \hat{a}_{11} & \hat{a}_{12} \\ \hat{a}_{21} & \hat{a}_{22} \end{pmatrix} egin{pmatrix} \Delta Y_{t+1} \\ \Delta X_{t+1} \end{pmatrix}$  :t+2 عند اللحظة

الخ...

(IRF) Impulse Response Fonction كل هذه القيم المحسوبة تشكل لنا ما يسمى بـ"دالة الاستجابة النبضية"  $VMA(\infty)$  الموضح في المعادلة رقم 12.

من بين صعوبات نماذج VAR الصعوبة في تحليل المعاملات المقدرة، لذلك من بين الحلول لهذه المشكلة هي تشكيل دالة الاستجابة النبضية أو الدفعية IRF، هذه الحدالة IRF تختبر استجابة المتغير التابع في نموذج بهذه الدوال تمثل ردة فعل المتغيرات في نموذج الانحدار الذاتي، هذه الدوال تمثل ردة فعل المتغيرات للصدمات التي يتعرض لها النظام.

في الاقتصاد الحديث دالة نبض الاستجابة أو كما تسمى في بعض المراجع دالة الاستجابة الدفعية، تصف ردة فعل الاقتصاد عبر الزمن لصدمات خارجية وقيم تنبؤها في سياق نماذج VAR.

<sup>&</sup>lt;sup>34</sup>Paul Turner, PhD Econometrics in Practice, MERCURY LEARNING AND INFORMATION Dulles, Virginia Boston, Massachusetts, New Delhi p 310

حسب سيمس فإن دوال الاستجابة تبين أثر انخفاض وحيد ومفاجئ لمتغيرة على نفسها وعلى باقي متغيرات النظام في كل الأوقات . في هذه الحالة، نفترض أن البواقي مستقلة لكن هذه الفرضية نادرا ما تكون محققة، لأن في الواقع  $e_{1t}$  قد يوجد ارتباط بين الأخطاء العشوائية، إذا كان هناك ارتباط قوي بين صدمتين  $e_{2t}$  فإن صدمة ما على  $e_{2t}$  حتما ستكون متبوعة بصدمة على  $e_{2t}$  ، في هذه الحالة معامل الارتباط سيؤكد على الصلة المشتركة بين البواقي ولكن لا يشير إلى اتجاه السببية، لذلك، نحن بحاجة إلى وضع افتراض إضافي حول العلاقة بين الأخطاء  $e_{2t}$ 

#### تفكيك التباين Variance Décomposition

تحت فرضية استقلالية الأخطاء، فإنه من خلال نموذج المتوسطات المتحركة ( $\infty$ ) VMA يمكننا استخدام المعادلة رقم 12 لاشتقاق مصفوفة تباين التنبؤ للشعاع Z خلال الفترة h.

لدينا<sup>36</sup>:

$$E(Z_h Z') = \sum_{i=0}^{h} (\theta + \sum_{i=0}^{\infty} B_i) \Omega(A_0^{-1})'(B_i)' \dots (13)$$

حيث:  $\Omega$  تمثل مصفوفة التباينات والتباينات المشتركة للأخطاء.

يسمح لنا تفكيك تباين خطأ التنبؤ إلى حساب وتحديد مدى مساهمتها في تباين الخطأ. رياضيا نستطيع كتابة h تباين خطأ التنبؤ لفترة معينة h بدلالة تباين الخطأ الخاص بكل متغير على حدا. ولمعرفة وزن أو نسبة مشاركة كل تباين نقوم بقسمة هذا التباين على تباين خطأ التنبؤ الكلى.

تعطي لنا الصيغة (13) تحليل تباين أخطاء كل متغيرة على الأخرى ( $X_t$  على  $Y_t$ ، و  $Y_t$  على بالنسب المئوية. نحتاج في هذا العنصر إدراج بعض المفاهيم:

- نقول عن متغير في معادلة VAR أنه داخلي بقوة Strongly endrgenous إذا كان تأثيره على سلوك نفسه قويا، أي أنه يؤثر في نفسه بقوة.
- نقول عن متغير في معادلة VAR أنه داخلي بضعف Weakly endrgenous إذا كان تأثيره على سلوك نفسه ضعيفا، وتأثير المتغيرات الأخرى في النظام عليه قويا.
- نقول عن متغير في معادلة VAR أنه خارجي بقوة Strongly exogenous إذا كان تأثيره ضعيف على المتغير التابع.

<sup>35</sup> Bourbonnais régis, op cit, P285

<sup>&</sup>lt;sup>36</sup> Paul Turner, PhD,op,cit, p313.

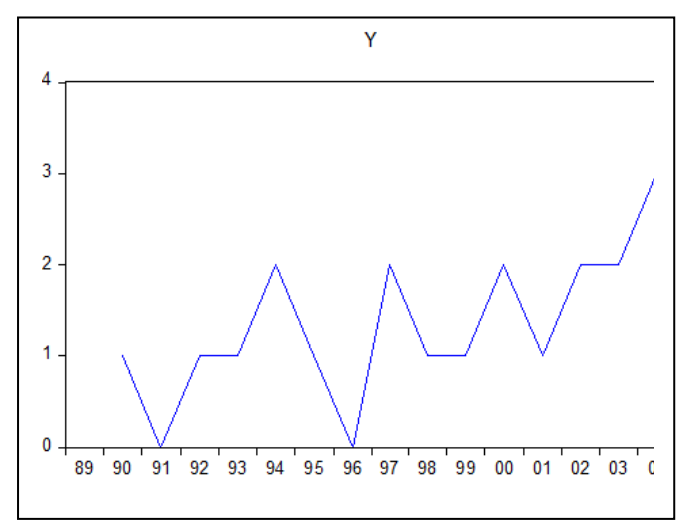
• نقول عن أي المتغيرات الأخرى بأنه الأقل خارجية Least exogenous أي أنه خارجي بالحد الأدنى إذا كان تأثيره قويا على المتغير التابع، ما يتضمن بأن المتغير الداخلي بقوة يكون له اثر قوي على المتغير التابع.

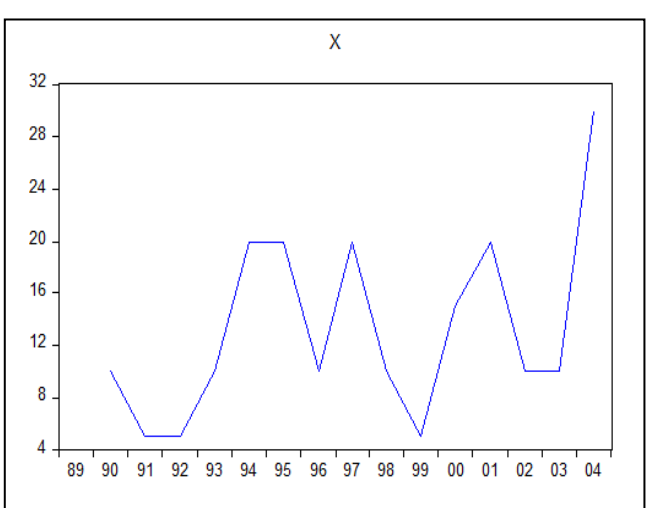
#### مثال تطبيقى:

نفرض نمودج (VAR(1) والذي تم تقديره من خلال معطيات خاصة بمتغيرتين  $\mathbf{y}_t$  و  $\mathbf{v}_t$  والذي تم تقديره من خلال معطيات خاصة بمتغيرتين  $\mathbf{v}_t$  والذي تم تقديره من خلاله حساب دوال الاستجابة وتحليل التباين وتفسير النتائج المتوصل إليها وهذا بالاستعانة ببرمجية  $\mathbf{v}_t$  النتائج المتوصل إليها مدونة في الأشكال والجداول التالية:

$$\begin{cases} Y_{t} = b_{10} + b_{11}Y_{t-1} + b_{12}X_{t-1} + e_{1t} \\ X_{t} = b_{20} + bY_{t-1} + bX_{t-1} + e_{2t} \end{cases}$$

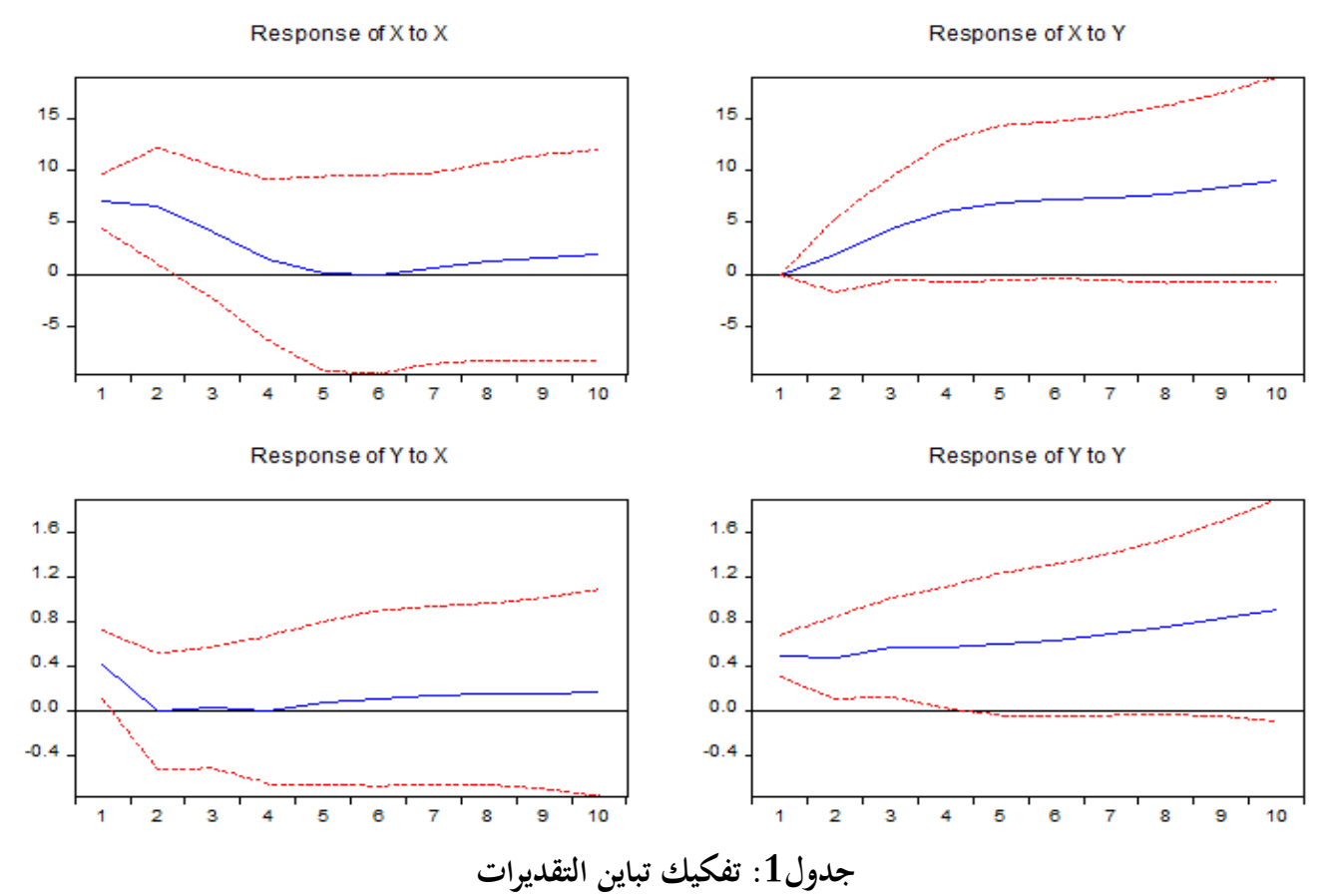
 $y_t$  و  $x_t$  الشكل (1): التمثيل البياني لكل من





الشكل (2): دوال الاستجابة

Response to Cholesky One S.D. (d.f. adjusted) Innovations ± 2 S.E.



Variance De	ecomposition of X	: X	Y
i ellou	U.L.		<u>'</u>
1	7.009706	100.0000	0.000000
2	9.801311	96.32383	3.676169
3	11.47862	82.60916	17.39084
4	13.05382	65.01131	34.98869
5	14.74959	50.92902	49.07098
6	16.38725	41.25945	58.74055
7	17.96588	34.44490	65.55510
8	19.58796	29.38219	70.61781
9	21.34113	25.37085	74.62915
10	23.26882	21.99390	78.00610
Variance De	ecomposition of Y		
Period	S.E.	X	Y
1	0.646500	41.05944	58.94056
2	0.802024	26.68149	73.31851
3	0.984981	17.79645	82.20355
4	1.137724	13.34569	86.65431
5	1.287229	10.75138	89.24862
6	1.437908	9.222062	90.77794
7	1.599293	8.235379	91.76462
8	1.773243	7.435283	92.56472
9	1.961270	6.726021	93.27398
10	2.163718	6.100530	93.89947
Cholesky O	rdering: X Y		

تبين لنا المنحنيات الموضحة في الشكل 2 دوال الاستجابة والتي تسمح لنا بدراسة أثر صدمة متغيرة معينة على المتغرات الأخرى في النظام. ففي مثالنا توضح لنا أثر المتغيرة  $X_t$  على على المتغيرة  $y_t$  والعكس.

فالمنحني Response of x to x يبين تأثير أو حساسية X لنفسها، فكلما زادت X تؤثر على نفسها بالنقصان إلى أن تصل إلى الصفر ثم تبدأ تعاود بالارتفاع.

بالنسبة للمنحنى Response of x to y يبين استجابة أو أثر المتغيرة X على المتغيرة y خلال 10 سنوات ، حيث عند إعطاء صدمات في الفترة الأولى للمتغيرة X فإننا نلاحظ أن المتغيرة y تبدأ في الارتفاع ثم تستقر لفترة معينة وتعاود الارتفاع.

أما فيما يخص منحنى Response of y to X فنلاحظ حساسية y على x خلال 10 سنوات، حيث كلما زادت y تنخفض x إلى أن تصل إلى الصفر أي انتهاء استجابة y للصدمات التي تحدث على x، وبعد فترة معينة تعاود y وي الارتفاع، تعيد الاستجابة لصدمات المتغيرة x.

ومن خلال نتائج الجدول 1 الذي يبين عملية تفكيك تباين التقديرات حسب طريقة تشولسكي 10 دمن خلال نتائج الجدول 1 الذي يبين عملية تفكيك تباين التقديرات حسب طريقة تشولسكي ،metod من تباين نفسها ومن تباين متغيرات النظام خلال 10 سنوات وبالاستعانة بمبرمج Eviews10 نلاحظ ما يلي:

من خلال X مناین X مناین X مناین لنا ما هي نسبة تفسير کل متغیرة X من تباین X مثلا يبين لنا ما هي variance decomposition of X من تباین X من تباین نفسها هي 100%، أي أثرت X على نفسها بالمطلق أي 100%، وفسرت X من تباین X.

ومن خلال x فسرت نسبة 41 variance decomposition of y، وخلال السنة الأولى نلاحظ أن x فسرت نسبة 41 x وهي الأخرى فسرت 59x من تباين نفسها.

# خطوات نمذجة نماذج شعاع الانحدار الذاتي VAR

قبل نمدجة نموذج شعاع الانحدار الذاتي يتوجب إجراء اختبارات قبلية، أي اختبار إمكانية تطبيق هذا النموذج أم لا على المعطيات، واختبارات قبلية والتي تتم بعد تقدير النموذج.

• اختبارات قبلية: قبل تقدير نماذج VAR

قبل تطبيق منهجية VAR يجب التأكد من:

- التأكد من استقرارية السلاسل الزمنية،
- وجود على الأقل سلسلة مستقرة من الدرجة الثانية.
- وجود سلاسل مستقرة من نفس الدرجة ولكن بشرط عدم وجود تكامل مشترك ولكن وجود سببية،

• وفي حالة وجود أثار موسمية أو فترة غير طبيعية في النموذج يمكن الاستعانة بمتغيرات صورية كمتغرات مستقلة لتصحيح هاته الآثار 37.

#### • اختبارات بعدية

بعد تحقق الشروط السابقة نمر إلى الاختبارات البعدية والمتمثلة في مايلي:

## 1. تحديد درجة الإبطاء المثلى للمتغيرات

لتحديد درجة الإبطاء أو التأخير المثلى نستعين بمعايير إحصائية، لان كما نعلم نماذج VAR كما ذكرنا سابقا لا تستند إلى النظرية الاقتصادية، وبالتالي ليس لدينا معلومات حول الشكل الديناميكي للنموذج ودرجة تأخير كل متغير. من بين الطرق المعتمدة لتحديد درجة التأخير نجد:

- نقوم أولا بافتراض عدد التأخيرات (نبدأ بالدرجة الأولى) ثم نتحقق من فرضية التشويش الأبيض للبواقي، ففي حالة لم تتوفر هذه الخاصية نضيف درجة تأخير أخرى ونعيد التقدير وهكذا حتى نتحصل على عدد تأخيرات مناسب والذي تتحقق فيه فرضية التشويش الأبيض للأخطاء.
- يمكن استخدام المعايير الإحصائية منها معيار (Akaike(AIC) و Schwarz(SC) و Hannan-Quin واختيار درجة التأخير التي تعطينا أقل قيمة لهذه المعايير، حيث يتم تقدير نماذج VAR بدابة من التأخير 0 إلى التأخير الموح به من خلال البيانات المتاحة). يحسب معيار h (حيث h يمثل الحد الأقصى للتأخير المسموح به من خلال البيانات المتاحة). يحسب معيار HQ(p) ،SC(p)،AIC(p)

$$AIC(p) = \ln(\det |\Omega| + \frac{2k^2p}{n}$$

$$SC(p) = \ln(\det |\Omega| + \frac{k^2\ln(n)}{n}$$

$$HQ(p) = \ln(\det |\Omega| + \frac{2k^2p\ln(n)}{n}$$

. عدد متغيرات النظام، n: عدد المشاهدات، p: عدد التأخيرات.

## 2. توصيف وتقدير معالم النموذج

لتوصيف النموذج يتم اختيار أكبر عدد ممكن من التأخيرات واختيار درجة الإبطاء المثلى للمتغيرات. لابد من اختيار العدد المناسب للمتغيرات الداخلية، فكما ذكرنا سابقا زيادة عدد المتغيرات يؤدي إلى زيادة عدد المعلمات في كل معادلة ولكل متأخرة في المعادلة. يمكننا الاستعانة باختبار Granger للسببية في تحديد المتغيرات.

يمكن تقدير معلمات كل معادلة من معادلات نموذج VAR بواسطة طريقة المربعات الصغرى العادية، وحتى تكون مقدراتها متسقة يجب توفر الشروط:

<sup>&</sup>lt;sup>37</sup> Bourbonnais régis, op cit, P 279.

- متوسط الأخطاء يساوي الصفر،
  - المتغيرات مستقرة،
- احتمال ضئيل لوجود قيم شاذة

كما يمكن تقدير معلمات النموذج باستعمال طريقة المعقولية العظمى.

## 3. تشخيص النموذج

بعد تقدير النموذج الأمثل نصل إلى مرحلة تشخيصه ويتم فيه تشخيص المعاملات بواسطة اختبار لعجبارات وتشخيص المعاملات التوزيع الطبيعي، اختبارات عدم ثبات التباين ، اختبار التوزيع الطبيعي، اختبارات التغير الهيكلى، ويتم تعديل النموذج عند الحاجة.

#### 4. إيجاد دوال الاستجابة النبضية وتفكيك التباين:

كنا قد تحدثنا عنها في النقاط السابقة.

#### 5. التنبؤ:

الهدف من تقدير نموذج Var هو إما للتنبؤ به أو لتحليل سببية Granger.

## مثال تطبيقي

سنحاول من خلال هذا المثال تطبيق نموذج الانحدار الذاتي وتوضيح كيفية تطبيقه على المعطيات المتعلقة بالاقتصاد الجزائري<sup>38</sup> والمتمثلة في كل من: الناتج الداخلي الخام والذي نرمز له بـ GDP، معدل التضخم TINF، معدل البطالة TCH، الصادرات EX، والواردات IMP خلال الفترة الممتدة من سنة 1991 إلى غاية 2020.

نلاحظ من خلال هذه المعطيات أن متغير التضخم ومتغيرة معدل البطالة معطاة بالنسب، أما المعطيات الأخرى معطاة بالمليارات الدولارات، لذلك نقوم بتحويل هذه الأخيرة وهذا بإدخال اللوغاريتم عليها حتى تصبح قيمها صغيرة مقارنة بمتغيرة معدل التضخم ومتغيرة معدل البطالة.

## 1. الاختبارات القبلية

وهي دراسة استقرارية أو درجة تكامل السلاسل الزمنية باستخدام اختبارات جذور الوحدة لديكي فور المطور .ADF

عند تطبيقنا لهذا الاختبار وجدنا أن كل السلاسل غير مستقرة، إلا أننا بعد أخذ الفروقات من الدرجة الأولى استقرت كلها ما عدا متغيرة لوغاريتم الواردات(lnIMP) التي استقرت بعد أخذ الفرق الثاني.

<sup>38</sup> المعطيات في الجدول 2 الملحق رقم 1.

إذن نلاحظ وجود بعض المتغيرات مستقرة عند الفرق الأول ومتغيرات مستقرة عند الفرق الثاني، لذلك يمكننا أللجود إلى استخدام نموذج شعاع الانحدار الذاتي.

### 2. الاختيارات البعدية

• تحديد درجة الإبطاء المثلى للمتغيرات: لتحديد درجة الإبطاء المثلى نتبع الخطوات التالية:

Quick  $\rightarrow$  Estimate VAR  $\rightarrow$  Endogenous variables  $\rightarrow$  ok

في الخانة: Endogenous variables ندخل جميع المتغيرات، لأن حسب Sims كل المتغيرات في نماذج شعاع الانحدار الذاتي عبارة عن متغيرات داخلية، وفي خانة Lag intervals for endogenous نضع أي قيمة أو نترك الخيار للمبرمج، في مثالنا هذا اخترنا القيمة 1، نتحصل على الجدول التالي:

Vector Autoregression Estimates Date: 06/14/22 Time: 17:56 Sample (adjusted): 1992 2020 Included observations: 29 after adjustments Standard errors in ( ) & t-statistics in []						
	LNEXP	LNGDP	LNIMP	TCH	TINF	
LNEXP(-1)	1.283976	0.293469	0.273683	-5.835019	-2.688025	
	(0.22173)	(0.10020)	(0.09490)	(1.55306)	(4.22025)	
	[5.79076]	[2.92880]	[2.88385]	[-3.75710]	[-0.63693]	
LNGDP(-1)	-1.972116	-0.176744	-0.298041	13.10279	6.709575	
	(0.83832)	(0.37884)	(0.35881)	(5.87188)	(15.9561)	
	[-2.35247]	[-0.46654]	[-0.83064]	[2.23145]	[ 0.42050]	
LNIMP(-1)	1.046619	0.506488	0.881166	-9.653653	-9.202670	
	(0.52543)	(0.23745)	(0.22489)	(3.68033)	(10.0008)	
	[1.99191]	[2.13304]	[3.91818]	[-2.62304]	[-0.92019]	
TCH(-1)	-0.015411	-0.014372	-0.008950	0.588358	-0.574602	
	(0.02015)	(0.00911)	(0.00863)	(0.14117)	(0.38360)	
	[-0.76465]	[-1.57798]	[-1.03751]	[ 4.16782]	[-1.49791]	
TINF(-1)	-0.010808	-0.004125	-0.000885	0.053430	0.808074	
	(0.00672)	(0.00304)	(0.00288)	(0.04706)	(0.12787)	
	[-1.60879]	[-1.35857]	[-0.30785]	[1.13547]	[6.31965]	
С	18.31303	10.86364	3.993204	47.62074	127.0083	
	(8.47632)	(3.83054)	(3.62796)	(59.3711)	(161.334)	
	[2.16049]	[2.83606]	[ 1.10068]	[ 0.80209]	[0.78724]	
R-squared Adj. R-squared Sum sq. resids S.E. equation F-statistic Log likelihood Akaike AIC Schwarz SC Mean dependent S.D. dependent	0.904321	0.973747	0.983931	0.964857	0.785176	
	0.883521	0.968040	0.980437	0.957217	0.738476	
	1.319150	0.269400	0.241659	64.71873	477.8913	
	0.239488	0.108227	0.102503	1.677456	4.558276	
	43.47736	170.6199	281.6576	126.2945	16.81291	
	3.660249	26.69414	28.26986	-52.78916	-81.77949	
	0.161362	-1.427182	-1.535852	4.054425	6.053758	
	0.444251	-1.144293	-1.252963	4.337314	6.336646	
	24.13605	25.30499	23.99193	18.01452	7.728828	
	0.701713	0.605387	0.732862	8.109942	8.913423	

ثم نقوم بتحديد درجات الإبطاء المثلى للنموذج، ولهذا الغرض ننقر على:

 $View \rightarrow Lag structure \rightarrow Lag Length criteria$ 

ونختار في خانة Lag to include أو 4 تأخيرات ونضغط على ok، ونتحصل على الجدول التالي:

VAR Lag Order Selection Criteria

Endogenous variables: LNEXP LNGDP LNIMP TCH TINF

Exogenous variables: C Date: 06/14/22 Time: 18:11 Sample: 1991 2020 Included observations: 27

Lag	LogL	LR	FPE	AIC	SC	HQ
0	-141.5703	NA	0.035716	10.85706	11.09703	10.92841
1	-35.78055	164.5618	9.34e-05	4.872634	6.312452*	5.300767
2	-11.92703	28.27084	0.000126	4.957558	7.597225	5.742469
3	36.70378	39.62510*	4.14e-05*	3.207128*	7.046644	4.348817*

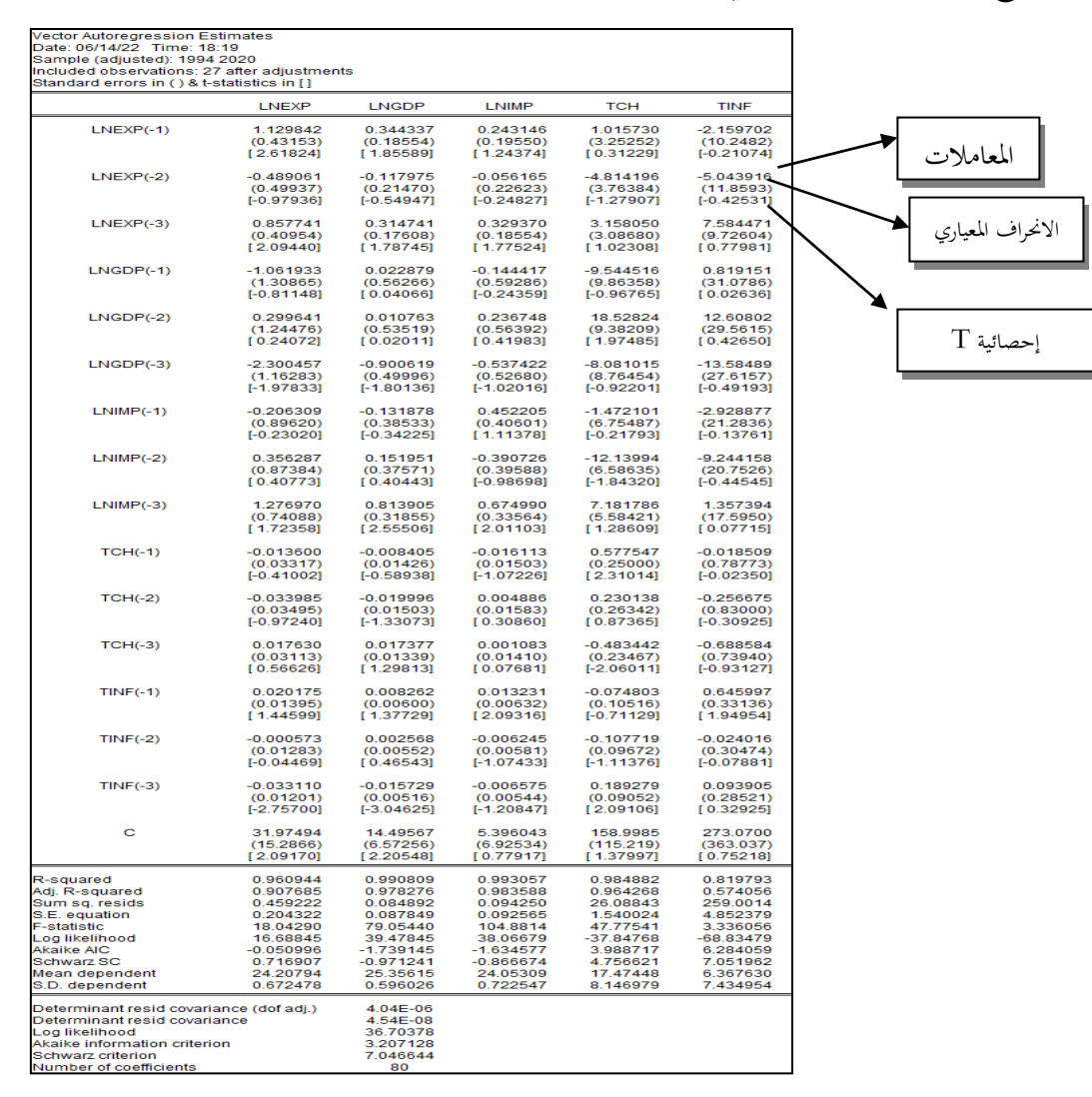
<sup>\*</sup> indicates lag order selected by the criterion

LR: sequential modified LR test statistic (each test at 5% level)

FPE: Final prediction error AIC: Akaike information criterion SC: Schwarz information criterion HQ: Hannan-Quinn information criterion

## • توصيف وتقدير معالم النموذج

من خلال نتائج هذا الجدول، وبالاعتماد على المعايير المذكورة سابقا أحسن درجة إبطاء لهذا النموذج هو 3، نعيد التقدير على هذا الأساس، حيث نضع في خانة Lag intervals for endogenous التأخير 3، ونتحصل على غوذج (VAR(3) المقدر التالي:



كيف لنا أن نفسر هذه النتائج ؟

إذن إذا كان لدينا 5 متغيرات سيكون لدينا نموذج VAR بـ 5 معادلات، بحيث في كل معادلة نجد المتغيرة بدلالة نفسها و بدلالة المتغيرات الأخرى بثلاث تأخيرات.

لمعرفة معنوية المعلمات من خلال خانة Prob والتي نلاحظ غيابها في تقدير النموذج(الجدول السابق) نقوم بتحويل النموذج إلى نظام المعادلات (Make System) وهذا بالضغط على:

#### $Proc \rightarrow Make System \rightarrow Order by Lag$

ثم نضغط على:

#### Estimate → Ordinary Least Squares → Ok

النتائج مدونة في الجدول 3 المدرج في الملحق رقم 1. نلاحظ من خلاله إعادة كتابة النموذج بشكل آخر، بحيث أضاف لنا العمود الخاص بالاحتمالات المقابلة لكل معلمة، كما يعطينا في الأسفل كل معادلة على بمعلوماتها الخاصة كما.

c(3), c(2), سبيل المثال المعاملات نلاحظ الكثير من المعلمات ليست معنوية، على سبيل المثال المعاملات كلومن المعلمات ليست معنوية، على الترتيب كلها c(5), c(4) والتي تمثل معاملات كل من c(5), c(4) المعاملات كل من c(5), c(4) المعاملات كل من c(5), c(4) المعنوية.

- 3. تشخيص النموذج: حيث نقوم في هذه الخطوة بتشخيص المعاملات وتشخيص البواقي.
- تشخيص المعلمات والبواقي: نحاول هنا تشخيص المعلمات من حيث المعنوية، حيث يمكننا التأكد من معنوية المعلمات التي تظهر فيها قيمة Probability أقل من 0,05 باستعمال /ختبار Wald الذي يتم بالطريقة التالية:

## $View \rightarrow Coefficient Diagnostics \rightarrow Wald Test$

ونضع المعاملات الغير معنوية، مثلا نريد اختبار معنوية c(3), c(2), c(5), c(4) نكتب في الإيقونة ما يلي:

ونتحصل على النتائج التالية: c(2)=c(3)=c(4)=c(5)

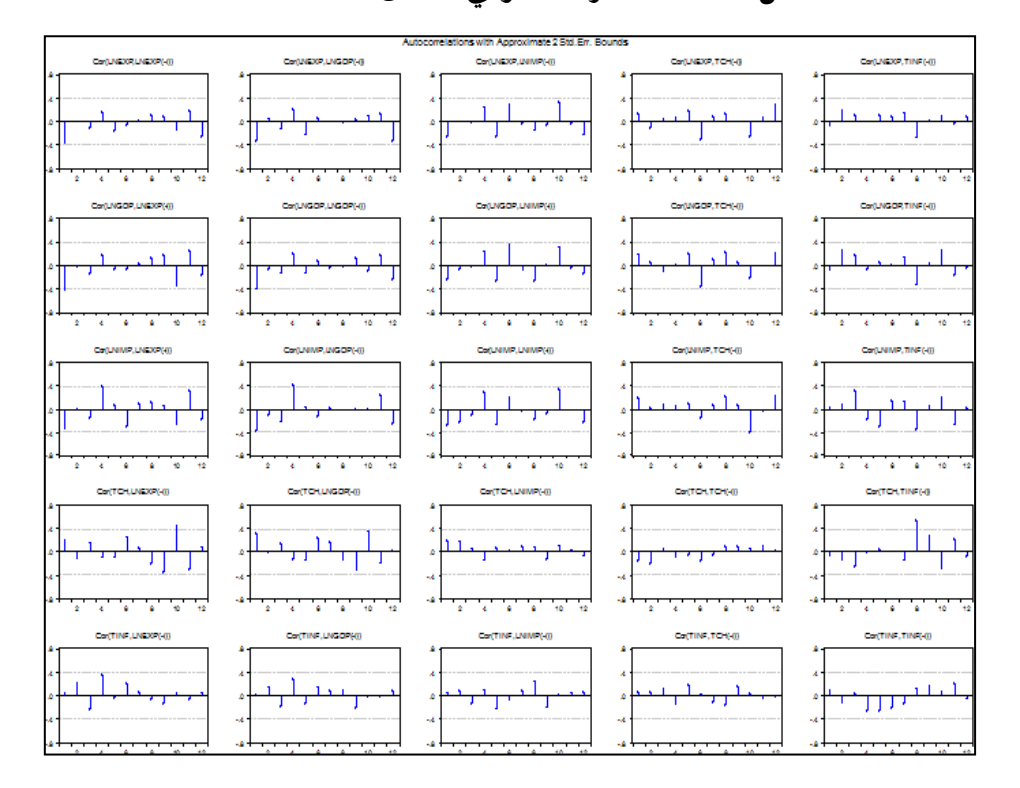
Wald Test: System: {%syster	m}		
Test Statistic	Value	df	Probability
Chi-square	5.367982	4	0.2516
Null Hypothesis:	C(2)=C(3)=C(4):	=C(5)=0	
Null Hypothesis: Null Hypothesis S Normalized Rest	Summary:	-C(5)=0 Value	Std. Err.

نلاحظ من خلال هذه النتائج أن 0,05<(Probability(Chi-square) وبالتالي نقبل الفرضية المعدومة، بمعنى أن هذه المعاملات تساوي الصفر، إذن ليست معنوية. نقوم بنزعها ونبقي على بقية المعالم الأخرى ثم نعيد تقدير النموذج من جديد وهكذا حتى نتحصل على نموذج فيه أكبر عدد من المعلمات التي لها معنوية. ويتم نزع أو حذف هذه المعاملات بالضغط على Spec ثم نقوم بحذفها وبعدها نضغط على Estimate ونحتار طريقة المربعات الصغرى للتقدير.

بعد الانتهاء من تشخيص المعالم ننتقل إلى تشخيص البواقي، والذي يتمثل هدفه في اختبار فرضيات المربعات الصغرى، بحيث نختبر الارتباط الذاتي للأخطاء، تجانس تباين الأخطاء والتوزيع الطبيعي بالإضافة إلى فرضية التشويش الأبيض.

• فرضية التشويش الأبيض: من خلال التمثيل البياني التالي والذي يمثل correlograms الأخطاء أنها تقع كلها داخل مجال الثقة، وبالتالي يمكن القول أن الأخطاء تشكل تشويش أبيض. للحصول على هذا المخطط نتبع الخطوات التالية:

 $View \rightarrow Residual Tests \rightarrow correlograms$ 



الشكل 2: مخطط الارتباط الزمني Corelogram للأخطاء

• الارتباط الذاتي للأخطاء: نحتبر ارتباط الأخطاء باستعمال اختبار LM، نضغط على:

 $View o Residual\ Tests o Autocorrelation\ LM\ Test$  النتائج موضحة في الجدول التالي:

VAR Residual Serial Correlation LM Tests Date: 06/15/22 Time: 14:24 Sample: 1991 2020 Included observations: 27 Null hypothesis: No serial correlation at lag h LRE\* stat Prob. Rao F-stat df Prob. Lag 24.50325 25 0.4905 0.828043 (25, 8.9)0.6662 Null hypothesis: No serial correlation at lags 1 to h LRE\* stat Prob. Rao F-stat df Prob. Lag 24.50325 0.4905 0.6662 25 0.828043 (25, 8.9)\*Edgeworth expansion corrected likelihood ratio statistic

من خلال هذه النتائج نلاحظ أن Prob>0,05، إذن نقبل الفرضية المعدومة وبالتالي الأخطاء غير مرتبطة.

- اختبار تجانس تباين الأخطاء:
- التوزيع الطبيعي للأخطاء: لاختبار التوزيع الطبيعي للأخطاء نضغط على:

#### View → Residual Tests → Autocorrelation LM Test

ونتحصل على الجداول التالية:

orthogonalization: Cholesky (Lutkepohl) Iull Hypothesis: Residuals are multivariate normal ate: 06/15/22 Time: 14:52 ample: 1991 2020 cluded observations: 27 Component Kurtosis Chi-sq Prob. Skewness Prob.\* 0.7189 2.660666 0.129541 0.457984 0.3313 0.943872 0.0389 0.0090 0.6224 4 265168 1.235675 1.145195 6.871012 0.0088 6.816711 5.461564 2.113072 4 5 -0.685253 0.1460 1.948145 1.244698 0.2646 -0.012849 0.000743 0.9783 0.0264 0.0073 0.5847 1.073413 11.13618 12.71834 0.0038 0.0017 2.355523 0.3080 1.245441 0.5365 28.52889 0.0015 Joint 10 Approximate p-values do not account for coefficient estimation

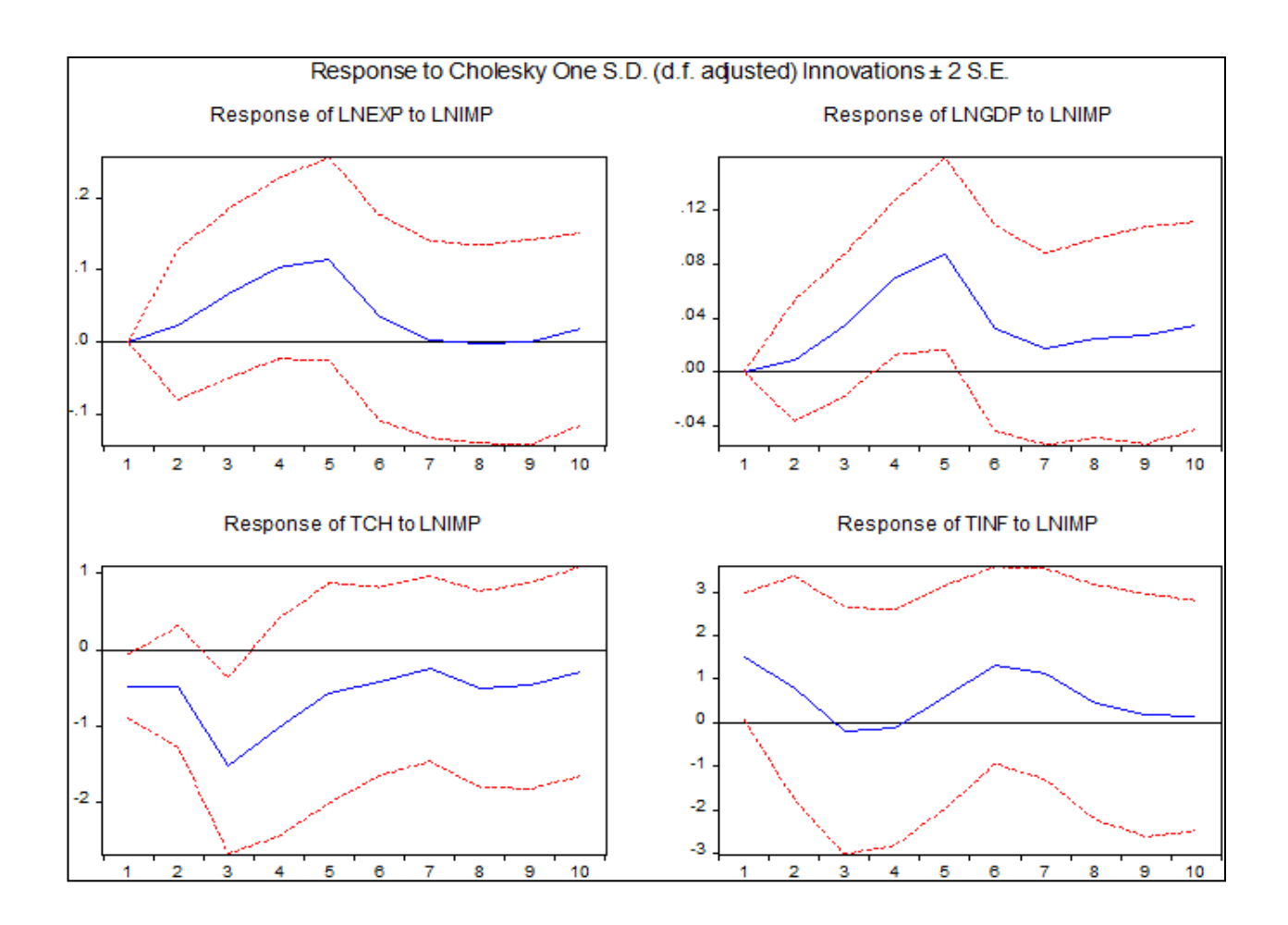
تعطينا هذه الجداول معامل الالتواء والتفلطح وكذا إحصائية JB لكل معادلة. من خلال احتمال إحصائية JB نلاحظ أن أخطاء المعادلتين 4،1و5 موزعة توزيعا طبيعيا عكس أخطاء المعادلتين 2 و3.

- 4. إيجاد دوال الاستجابة النبضية وتفكيك التباين
  - دوال الاستجابة النبضية

للحصول على هذه الدوال نضغط على الخانة Impulse، يقترح علينا البرنامج بعض الخيارات الخاصة بشكل هذه الدوال، فإذا أردنا الحصول على دوال الاستجابة على شكل جدول نختار الخانة Table، أو على شكل بيانات نضغط على Multiple graphs أو Combined Graphs.

في الخانة Impulses نضع المتغيرات حسب موضوع الدراسة، فمثلا في مثالنا هذا نريد معرفة أثر المتغيرات الكلية على الواردات، في هذه الحالة نضع هنا المتغيرة InIMP ، حيث الهدف هنا هو معرفة الصدمات التي عليها من خلال المتغيرات الأربعة المتبقية والمتمثلة في كل من بـ InGDP، معدل التضخم TCH، معدل البطالة TCH و الصادرات InEX.

أما في الخانة Responses نضع المتغيرات الأربعة الأخرى نضغط على Ok ونتحصل على منحنيات دوال الاستجابة النبضية التالية:



نلاحظ من خلال هذه المنحنيات أثر صدمات كل من TCH ،TINF ،lnGDP وInEX. كما على lnEX. عند المنحنيات عبارة عن تغيرات في الانحراف المعياري، فنلاحظ أنه عند إعطاء صدمات للمتغيرة InEX عند الفترة الأولى، فإننا نلاحظ وخلال 10 فترات بدأ المنحني في الانخفاض ثم بدأ في الارتفاع وبعدها عاود الانخفاض،

ونلاحظ نفس الشيء بالنسبة للمنحنيات الأخرى ماعدا منحنى Response Of TCH to InIMP حيث نلاحظ أن الانخفاضات كانت تحت الصفر ثم بدأت في الارتفاع لتحاول الوصول إلى الصفر.

### • تفكيك التباين

بالنسبة لتفكيك التباين نضغط على:

#### View → Variance decomposition

كما في دوال الاستجابة النبضية إذا أردنا الحصول على تفكيك التباين على شكل جدول نختار الخانة Table، أو على شكل بيانات نضغط على ok لنحصل على مكل بيانات نضغط على Multiple graphs أو Combined Graphs، ونضغط بعدها على ok لنحصل على الجداول التالية:

2 0.237641 87.98858 2.482517 1.032635 0.176283 8.319: 3 0.267276 72.55584 3.168062 7.223113 0.564993 16.48: 4 0.300876 59.77702 4.311716 17.29431 0.564993 16.48: 4 0.300876 59.77702 4.311716 17.29431 0.544993 16.48: 5 0.346567 52.86222 4.199881 24.16646 6.479538 12.29: 6 0.362314 55.47172 3.881957 22.98709 6.412340 11.24: 7 0.374857 57.54155 4.467090 21.48470 5.996066 10.51: 8 0.386992 58.48212 5.270976 20.16325 5.781037 10.30: 9 0.400654 57.80298 5.861060 18.81153 5.836024 11.68: 10 0.415204 56.75808 5.908231 17.70023 5.981110 13.65:  Variance Decomposition of LNGDP: Period S.E. LNEXP LNGDP LNIMP TCH TINI  1 0.087849 74.55321 25.44679 0.000000 0.000000 0.00000 2 0.103571 73.45363 18.54481 0.637209 0.012245 7.346: 3 0.121946 53.21303 16.78543 8.647906 1.002588 20.355 4 0.150035 39.43064 17.20166 27.73570 2.156095 13.47: 5 0.185026 31.34458 14.99259 40.85036 3.753478 9.058: 6 0.195337 34.63000 13.51606 39.42810 3.924084 8.501: 7 0.208871 41.57313 12.11732 35.14330 3.692435 7.473: 8 0.224914 47.26199 10.62373 31.53417 3.967806 6.612: 9 0.236111 49.40886 9.795402 29.95552 4.474618 63.65: 10 0.247202 49.96953 9.023321 29.24477 5.015891 6.746:  Variance Decomposition of TCH: Period S.E. LNEXP LNGDP LNIMP TCH TINI  1 0.092565 3.054816 41.84271 9.777480 45.32499 0.0000 4 0.0247202 49.96953 9.023321 29.24477 5.015891 6.746:  Variance Decomposition of TCH: Period S.E. LNEXP LNGDP LNIMP TCH TINI  1 0.092565 3.054816 41.84271 9.777480 45.32499 0.0000 5 0.126102 7.533015 50.35186 10.53118 30.12596 1.4573 5 0.188965 3.956743 30.47596 35.01601 12.38490 18.16: 6 0.210893 10.25086 27.52424 32.92869 12.34045 18.95: 7 0.228344 19.35933 24.11384 29.13139 11.72167 15.67: 8 0.248907 23.56008 22.20481 28.42510 11.33540 18.96: 9 0.266212 25.43388 21.20455 28.42194 11.10060 13.83: 9 0.266212 25.43388 21.20455 28.42194 11.10060 13.83: 10 0.281406 26.99839 20.59505 27.64307 10.86728 13.89:  Variance Decomposition of TINE: Period S.E. LNEXP LNGDP LNIMP TCH TINI  1 1.540024 34.49067 0.662383 9.773650 6.049161 49.02. 2 2.104758 38.60152 0.	Variance Do Period	ecomposition o S.E.	f LNEXP: LNEXP	LNGDP	LNIMP	TCH	TINE
2 0.237641 87.98858 2.482517 1.032635 0.176283 8.319: 3 0.267276 72.55584 3.166062 7.223113 0.564993 16.48: 4 0.300876 59.77702 4.311716 17.29431 0.564993 16.48: 4 0.300876 59.77702 4.311716 17.29431 3.470525 15.14: 5 0.346567 52.86222 4.199881 24.16646 6.479538 12.29: 6 0.362314 55.47172 3.881957 22.98709 6.412340 11.24: 7 0.374857 57.54155 4.467090 21.48470 5.996066 10.51: 8 0.386992 58.48212 5.270976 20.16325 5.781037 10.30: 9 0.400654 57.80298 5.861060 18.81153 5.836024 11.68: 10 0.415204 56.75808 5.908231 17.70023 5.981110 13.65:  Variance Decomposition of LNGDP: Period S.E. LNEXP LNGDP LNIMP TCH TINI  1 0.087849 74.55321 25.44679 0.000000 0.000000 0.00000 2 0.103571 73.455863 18.54481 0.637209 0.012245 7.346: 3 0.121946 53.21303 16.78543 8.647906 1.002588 20.355 4 0.150035 39.43064 17.20166 27.73570 2.156095 13.47: 5 0.185026 31.34458 14.99259 40.85036 3.753478 9.058: 6 0.195337 34.63000 13.51606 39.42810 3.924084 8.501: 7 0.208871 41.57313 12.11732 35.14330 3.692435 7.473 8 0.224914 47.26199 10.62373 31.53417 3.967806 6.612: 9 0.236111 49.40886 9.795402 29.95552 4.474618 6.365: 10 0.247202 49.96953 9.023321 29.24477 5.015891 6.746:  Variance Decomposition of TCH: Period S.E. LNEXP LNGDP LNIMP TCH TINI  1 0.092565 3.054816 41.84271 9.777480 45.32499 0.000: 3 0.125179 4.655711 35.96639 31.75613 18.301.2596 1.4573 8 0.224914 47.26199 10.62373 31.53417 3.967806 6.612: 2 0.126102 7.533015 50.35186 10.53118 30.12596 1.4573 3 0.135179 4.655711 35.96639 31.75613 10.71013 10.91: 3 0.1281406 26.99839 20.59505 27.64307 10.86728 13.89;  Variance Decomposition of TCH: Period S.E. LNEXP LNGDP LNIMP TCH TINI  1 0.092565 3.054816 41.84271 9.777480 45.32499 0.000: 3 0.266212 25.43388 21.20455 28.42194 11.10000 13.83: 5 0.188965 3.956743 30.47596 35.01601 12.38490 14.47. 9 0.228344 19.35993 24.11384 29.13139 11.72157 15.67: 9 0.266212 25.43388 21.20455 28.42194 11.10000 13.83: 4 1.540024 34.49067 0.662383 9.773650 6.049161 49.02. 4 2 1.04758 38.60152 0.502733 8.429337 5.688448 46.77: 3 2.866921 34.33688 0.739117 7.09325 5	1	0.204322	100 0000	0.000000	0.000000	0.000000	0.000000
3 0.267276 72.55584 3.166062 7.223113 0.564993 16.485 4 0.300876 59.77702 4.311716 17.29431 3.470525 15.141 5 0.346567 52.86222 4.199881 24.16646 6.479538 12.29 6 0.362314 55.47172 3.881957 22.98709 6.412340 11.241 7 0.374857 57.54155 4.467090 21.48470 5.996066 10.511 8 0.386992 58.48212 5.270976 20.16325 5.781037 10.303 9 0.400654 57.80298 5.861060 18.81153 5.836024 11.683 10 0.415204 56.75808 5.908231 17.70023 5.981110 13.653  Variance Decomposition of LNGDP: Period S.E. LNEXP LNGDP LNIMP TCH TINI 1 0.087849 74.55321 25.44679 0.000000 0.000000 0.00001 2 0.103571 73.45963 18.54481 0.637209 0.012245 7.3463 3 0.121946 53.21303 16.78543 8.647906 1.002588 20.355 4 0.150353 34.3664 17.20166 27.73570 2.156095 13.473 5 0.185026 31.34458 14.99259 40.85036 3.753478 9.0583 6 0.195337 34.63000 13.51506 39.42810 3.924084 8.5013 7 0.208871 41.57313 12.11732 35.14330 3.692435 7.4733 8 0.224914 47.26199 10.62373 31.53417 3.967806 6.6122  Variance Decomposition of TCH: Period S.E. LNEXP LNGDP LNIMP TCH TINI 1 0.092565 3.054816 41.84271 9.777480 45.32499 0.0004 2 0.136102 7.533015 50.35186 10.53118 30.12596 1.4573 3 0.135179 4.655711 35.96639 31.75613 16.71013 10.911 4 0.153139 3.803015 31.43503 33.53433 12.85060 18.377 5 0.228344 19.35933 24.11384 29.13139 11.72157 15.675 5 0.188965 3.956743 30.47596 35.01601 12.38490 18.161 6 0.210893 10.25086 27.52424 32.92869 12.34045 16.951 7 0.228344 19.35933 24.11384 29.13139 11.72157 15.675 8 0.248907 23.56008 22.0455 28.42194 11.10060 13.831 10 0.281406 26.99839 20.59505 27.64307 10.86728 13.891  Variance Decomposition of TINF: Period S.E. LNEXP LNGDP LNIMP TCH TINI 1 1.540024 34.49067 0.662383 9.773650 6.049161 49.02. 2 1.104758 38.60152 0.502733 8.429337 5.688448 46.77 9 0.228144 19.35933 24.11384 29.13139 11.72157 15.675 3 3.430948 40.40808 3.598175 7.593259 6.581960 41.871 3 3.610437 36.63841 6.574023 9.772802 5.694647 41.321 7 3.866921 36.13237 7.783139 1.055927 4.945430 40.572 8 4.033095 36.44952 80.050110 10.56374 4.808807 40.122							8.319986
4 0.300876 59.77702 4.311716 17.29431 3.470625 15.144 5 0.346567 52.86222 4.199881 24.16646 6.479538 12.29 6 0.362314 55.47172 3.881957 22.98709 6.412340 11.244 7 0.374857 57.54155 4.467090 21.48470 5.996066 10.511 8 0.386992 58.46212 5.270976 20.16325 5.781037 10.300 9 0.400654 57.80298 5.861060 18.81153 5.836024 11.681 10 0.415204 56.75808 5.908231 17.70023 5.981110 13.652  //ariance Decomposition of LNGDP: Period S.E. LNEXP LNGDP LNIMP TCH TINI 1 0.087849 74.55321 25.44679 0.000000 0.000000 0.00000 2 0.103571 73.45963 18.54481 0.637209 0.012245 7.3466 3 0.129146 53.21303 16.78543 8.647906 10.02588 20.355 4 0.180337 34.63000 13.51606 27.73670 2.156095 13.475 5 0.185026 31.34458 14.99259 40.85036 3.753478 9.0581 6 0.195337 34.63000 13.51606 39.42810 3.924084 8.5017 7 0.208871 41.57313 12.11732 35.14330 3.692435 7.4733 8 0.224914 47.26199 10.62373 31.53417 3.967806 6.6122 9 0.236111 49.40886 9.795402 29.95552 4.474618 6.3652 10 0.247202 49.96953 9.023321 29.24477 5.015891 6.7462  //ariance Decomposition of TCH: Period S.E. LNEXP LNGDP LNIMP TCH TINI 1 0.092565 3.054816 41.84271 9.777480 45.32499 0.0000 2 0.0000 8.E. LNEXP LNGDP LNIMP TCH TINI 1 0.092581 3.054816 41.84271 9.777480 45.32499 0.0000 2 0.126102 7.533015 50.35186 10.53118 30.12596 1.4579 3 0.236111 49.40886 9.795402 29.95552 4.474618 6.3655 10 0.247202 49.96953 9.023321 29.24477 5.015891 6.7462  //ariance Decomposition of TCH: Period S.E. LNEXP LNGDP LNIMP TCH TINI 1 0.092565 3.054816 41.84271 9.777480 45.32499 0.0000 1.0000000000000000000000000000							16.48999
5 0.346567 52.86222 4.199881 24.16646 6.479538 12.29 6 0.362314 55.47172 3.881957 22.98709 6.412340 11.24 7 0.374857 57.54155 4.467090 21.48470 5.996066 10.511 8 0.386992 58.48212 5.270976 20.16325 5.781037 10.301 9 0.400654 57.80298 5.861060 18.81153 5.836024 11.681 10 0.415204 56.75808 5.908231 17.70023 5.981110 13.652  (ariance Decomposition of LNGDP- Period S.E. LNEXP LNGDP LNIMP TCH TINI 1 0.087849 74.55321 25.44679 0.000000 0.000000 0.00001 2 0.103571 73.45963 18.54481 0.637209 0.012245 7.3467 3 0.121946 53.21303 16.78543 8.647906 1.002588 20.357 4 0.150035 39.43064 17.20166 27.73570 2.156095 13.477; 5 0.185026 31.34458 14.99259 40.85036 3.753478 9.0581 6 0.195337 34.63000 13.51606 39.42810 3.924084 8.5017 7 0.208871 41.57313 12.11732 35.14330 3.692435 7.4731 8 0.224914 47.26199 10.62373 31.53417 3.967806 6.6122  (ariance Decomposition of TCH: Period S.E. LNEXP LNGDP LNIMP TCH TINI 1 0.092565 3.054816 41.84271 9.777480 45.32499 0.0000  (ariance Decomposition of TCH: Period S.E. LNEXP LNGDP LNIMP TCH TINI 1 0.092565 3.054816 41.84271 9.777480 45.32499 0.0000 2 0.126102 7.533015 50.35186 10.53118 30.12596 1.4579 3 0.135179 4.655711 35.98639 31.75613 16.71013 10.911 4 0.153139 3.803015 31.43503 33.53433 12.85060 18.377 8 0.248907 23.56008 22.20481 28.42510 11.33540 14.479 9 0.266212 25.43388 21.20455 28.42194 11.10060 13.831 10.25086 27.52424 32.92869 12.34045 16.955 10.0248907 23.56008 22.20481 28.42510 11.33540 14.479 9.0266212 25.43388 21.20455 28.42194 11.10060 13.831 10.026140 26.98839 20.59505 27.64307 10.86728 13.891 10.0261406 26.98839 20.59505 27.64307 10.86728 13.891 10.026140 26.98839 20.59505 27.64307 10.86728 13.891 10.666 3.610437 36.63841 6.574023 9.772802 5.694647 41.321 7.3866921 36.13237 7.783139 10.55927 4.945430 40.512							15.14643
6 0.362314 55.47172 3.881957 22.98709 6.412340 11.244 7 7 0.374857 57.54155 4.467090 21.48470 5.996066 10.511 8 0.386992 58.48212 5.270976 20.16325 5.781037 10.30: 9 0.400654 57.80298 5.861060 18.81153 5.836024 11.681 10 0.415204 56.75808 5.908231 17.70023 5.981110 13.65:  Variance Decomposition of LNGDP: Period S.E. LNEXP LNGDP LNIMP TCH TINI  1 0.087849 74.55321 25.44679 0.000000 0.000000 0.00000 2 0.103571 73.45963 18.54481 0.637209 0.012245 7.346 3 0.121946 53.21303 16.78543 8.647906 1.002588 20.35: 4 0.150035 39.43064 17.20166 27.73570 2.156095 13.475: 5 0.185026 31.34458 14.99259 40.85036 3.753478 9.058: 6 0.195337 34.63000 13.51606 39.42810 3.924084 8.501: 7 0.208871 41.57313 12.11732 35.14330 3.692435 7.473; 8 0.224914 47.26199 10.62373 31.53417 3.967806 6.612: 9 0.236111 49.40886 9.795402 29.95552 4.474618 6.3651: 10 0.247202 49.96953 9.023321 29.24477 5.015891 6.746:  Variance Decomposition of TCH: Period S.E. LNEXP LNGDP LNIMP TCH TINI  1 0.092565 3.054816 41.84271 9.777480 45.32499 0.0000 2 0.126102 7.533015 50.35186 10.53118 30.12596 1.4575: 3 0.135179 4.655711 35.96639 31.75613 16.71013 10.91: 4 0.153139 3.803015 31.43563 33.53433 12.85060 18.37: 5 0.188965 3.956743 30.47596 35.01501 12.38490 11.4575 8 0.228344 19.35993 24.11384 29.13139 11.72157 15.67: 8 0.228344 19.35993 24.11384 29.13139 11.72157 15.67: 9 0.228344 19.35993 24.11384 29.13139 11.72157 15.67: 8 0.288907 23.56008 22.20481 28.42510 11.33540 14.47. 9 0.2265212 25.43388 21.20455 28.42194 11.10060 13.83: 10 0.266212 25.43388 21.20455 28.42194 11.10060 13.83: 10 0.266212 25.43388 21.20455 28.42194 11.10060 13.83: 11 1.540024 34.49067 0.662383 9.773650 6.049161 49.02.2 2.104758 38.60152 0.502733 8.429337 5.688448 46.77: 2 2 2 104758 38.60152 0.502733 8.429337 5.688448 46.77: 3 2.951956 43.23868 0.739111 7.408432 5.01302 43.600 43.6							12.2919
7 0.374867 57.54155 4.467090 21.48470 5.996066 10.511 8 0.386992 58.48212 5.270976 20.16325 5.781037 10.30: 9 0.400654 57.80298 5.861060 18.81153 5.836024 11.68: 10 0.415204 56.75808 5.908231 17.70023 5.981110 13.65:  /ariance Decomposition of LNGDP: Period S.E. LNEXP LNGDP LNIMP TCH TINI  1 0.087849 74.55321 25.44679 0.000000 0.000000 0.000000 20.00000 12.000000 0.0103571 73.45963 18.54481 0.637209 0.012245 7.346: 3 0.121946 53.21303 16.78543 8.647906 10.022588 20.35: 4 0.150035 39.43064 17.20166 27.73570 2.156095 13.47: 5 0.185026 31.34458 14.99259 40.85036 3.753478 9.058: 6 0.195337 34.63000 13.51606 39.42810 3.924084 8.5011 7 0.208871 41.57313 12.11732 35.14310 3.692435 7.473: 8 0.224914 47.26199 10.62373 31.53417 3.967806 6.612: 9 0.236111 49.40886 9.795402 29.95552 4.474618 6.365: 10 0.247202 49.96953 9.023321 29.24477 5.015891 6.746:  /ariance Decomposition of TCH: Period S.E. LNEXP LNGDP LNIMP TCH TINI  1 0.092565 3.054816 41.84271 9.777480 45.32499 0.0000 2.00000 0.000000							11.24689
8 0.386992 58.48212 5.270976 20.16325 5.781037 10.30: 9 0.400654 57.80298 5.861060 18.81153 5.836024 11.68: 10 0.415204 56.75808 5.908231 17.70023 5.981110 13.65:  /ariance Decomposition of LNGDP: Period S.E. LNEXP LNGDP LNIMP TCH TINI  1 0.087849 74.55321 25.44679 0.000000 0.000000 0.00000 2 0.103571 73.45963 18.54481 0.637209 0.012245 7.346: 3 0.121946 53.21303 16.78543 8.647906 1.002588 20.35: 4 0.150035 39.43064 17.20166 27.73570 2.156095 13.47: 5 0.185026 31.34458 14.99259 40.85036 3.753478 9.0583 6 0.1955337 34.63000 13.51606 39.42810 3.924084 8.501: 7 0.208871 41.57313 12.11732 35.14330 3.692435 7.4733 8 0.224914 47.26199 10.622373 31.53417 3.967806 6.612: 9 0.236111 49.40886 9.795402 29.95552 4.474618 6.365: 10 0.247202 49.96953 9.023321 29.24477 5.015891 6.746:  //ariance Decomposition of TCH: Period S.E. LNEXP LNGDP LNIMP TCH TINI  1 0.092565 3.054816 41.84271 9.777480 45.32499 0.0000 2 0.126102 7.533015 50.35186 10.53118 30.12596 1.457: 3 0.135179 4.655711 35.96639 31.75613 16.71013 10.91: 4 0.0135139 3.803015 31.43503 33.53433 12.85060 18.37: 5 0.188965 3.956743 30.47596 35.01601 12.38490 18.16: 6 0.210893 10.25086 27.52424 32.92869 12.344045 16.95: 7 0.228344 19.35933 24.11384 29.13139 11.72157 15.67: 8 0.248907 23.56008 22.20481 28.42510 11.33540 14.47. 9 0.266212 25.43388 21.20455 28.42194 11.10060 13.83: 10 0.281406 26.99839 20.59505 27.64307 10.86728 13.89:  //ariance Decomposition of TINF: Period S.E. LNEXP LNGDP LNIMP TCH TINI  1 1.540024 34.49067 0.662383 9.773650 6.049161 49.02. 2 1.04758 38.60152 0.502733 8.429337 5.688448 46.77 3 2.951956 43.23868 0.739111 7.408432 5.013102 43.60 4 3.367291 42.84281 1.386539 7.72233 5.900674 42.64* 4 3.367291 42.84281 1.386539 7.72203 5.694647 41.32; 7 3.866821 36.13237 7.783139 10.55637 4.945430 40.57* 8 4.030395 36.44952 8.050110 10.56374 4.986807 40.12*							
9 0.400654 57.80298 5.861060 18.81153 5.836024 11.68: 10 0.415204 56.75808 5.908231 17.70023 5.981110 13.65:  Arriance Decomposition of LNGDP: Period S.E. LNEXP LNGDP LNIMP TCH TINI  1 0.087849 74.55321 25.44679 0.000000 0.000000 0.00000 2 0.103571 73.45963 18.54481 0.637209 0.012245 7.346 3 0.121946 53.21303 16.78543 8.647906 1.002588 20.35 4 0.150035 39.43064 17.20166 27.73570 2.156095 13.47: 5 0.185026 31.34458 14.99259 40.85036 3.753478 9.058: 6 0.195337 34.63000 13.51606 39.42810 3.924084 8.501: 7 0.208871 41.57313 12.11732 35.14330 3.692435 7.473: 8 0.224914 47.26199 10.62373 31.53417 3.967806 6.6122: 9 0.236111 49.40886 9.795402 29.95552 4.474618 6.365: 10 0.247202 49.96953 9.023321 29.24477 5.015891 6.746:  Arriance Decomposition of TCH: Period S.E. LNEXP LNGDP LNIMP TCH TINI  1 0.092565 3.054816 41.84271 9.777480 45.32499 0.0000 2 0.126102 7.533015 50.35186 10.53118 30.12596 1.457: 3 0.138179 4.655711 35.96639 31.75613 16.71013 10.91: 4 0.153139 3.803015 31.43503 33.53433 12.85606 18.37: 5 0.188965 3.956743 30.47596 35.01601 12.38490 18.16: 6 0.210893 10.25086 27.52424 32.92869 12.34045 16.95: 8 0.248907 23.56008 22.20481 28.42510 11.33540 14.47; 9 0.266212 25.43388 21.20455 28.42194 11.10060 13.83: 10 0.281406 26.99839 20.59505 27.64307 10.86728 13.89:  Arriance Decomposition of TINF: Period S.E. LNEXP LNGDP LNIMP TCH TINI  1 1.540024 34.49067 0.662383 9.773650 6.049161 49.02: 2 2.104758 38.60152 0.502733 8.42930 5.688484 46.77 18.600 1.28490 40.7000 1.284406 26.99839 20.59505 27.64307 10.86728 13.89:  Arriance Decomposition of TINF: Period S.E. LNEXP LNGDP LNIMP TCH TINI  1 1.540024 34.49067 0.662383 9.773650 6.049161 49.02: 2 2.104758 38.60152 0.502733 8.429307 5.688484 46.77 18.600 1.000000000000000000000000000000000							
10							
1							13.65234
1	/ariance D	ecomposition o	f LNGDP:				
2 0.103571 73.45963 18.54481 0.637209 0.012245 7.346: 3 0.121946 53.21303 16.78543 8.647906 1.002588 20.35 4 0.150035 39.43064 17.20166 27.73570 2.156095 13.47: 5 0.185026 31.34458 14.99259 40.85036 3.753478 9.058: 6 0.195337 34.63000 13.51606 39.42810 3.924084 8.5017 7 0.208871 41.57313 12.11732 35.14330 3.692435 7.473: 8 0.224914 47.26199 10.62373 31.53417 3.967806 6.612: 9 0.236111 49.40886 9.795402 29.95552 4.474618 6.365: 10 0.247202 49.96953 9.023321 29.24477 5.015891 6.746:  Variance Decomposition of TCH: Period S.E. LNEXP LNGDP LNIMP TCH TINI  1 0.092565 3.054816 41.84271 9.777480 45.32499 0.000: 2 0.126102 7.533015 50.35186 10.53118 30.12596 1.457: 3 0.135179 4.655711 35.96639 31.75613 16.71013 10.91: 4 0.153139 3.803015 31.43503 33.53433 12.85060 18.37: 5 0.188965 3.956743 30.47596 35.01601 12.38490 18.16: 6 0.210893 10.25086 27.52424 32.92869 12.34045 16.95: 7 0.228344 19.35933 24.11384 29.13139 11.72157 15.67: 8 0.248907 23.56008 22.20481 28.42510 11.33540 14.47.9 0.266212 25.43388 21.20455 28.42194 11.10060 13.83: 10 0.281406 26.99839 20.59505 27.64307 10.86728 13.89:  Variance Decomposition of TINF: Period S.E. LNEXP LNGDP LNIMP TCH TINI  1 1.540024 34.49067 0.662383 9.773650 6.049161 49.02.4 22.104758 38.60152 0.502733 8.429337 5.688448 46.77: 3 2.951956 43.23868 0.739111 7.408432 5.013102 43.60: 4 3.367291 42.84281 1.386539 7.222133 5.900674 42.64: 5 3.430948 40.40808 3.598175 7.593259 6.581960 41.81: 6 3.610437 36.63841 6.574023 9.772802 5.694647 41.32: 7 3.866921 36.13237 7.783139 10.55927 4.945430 40.57: 8 4.030395 36.44952 8.050110 10.56374 4.808807 40.12:		•		LNGDP	LNIMP	TCH	TINF
3 0.121946 53.21303 16.78543 8.647906 1.002588 20.35 4 0.150035 39.43064 17.20166 27.73570 2.156095 13.47; 5 0.185026 31.34458 14.99259 40.85036 3.753478 9.058; 6 0.195337 34.63000 13.51606 39.42810 3.924084 8.501; 7 0.208871 41.57313 12.11732 35.14330 3.692435 7.473; 8 0.224914 47.26199 10.62373 31.53417 3.967806 6.612; 9 0.236111 49.40886 9.795402 29.95552 4.474618 6.365; 10 0.247202 49.96953 9.023321 29.24477 5.015891 6.746; 2eriod S.E. LNEXP LNGDP LNIMP TCH TINI  1 0.092565 3.054816 41.84271 9.777480 45.32499 0.000; 2 0.126102 7.533015 50.35186 10.53118 30.12596 1.457; 3 0.135179 4.655711 35.96639 31.75613 16.71013 10.91; 4 0.153139 3.803015 31.43503 33.53433 12.85060 18.37; 5 0.188965 3.956743 30.47596 35.01601 12.38490 18.16; 6 0.210893 10.25086 27.52424 32.92869 12.34045 16.95; 7 0.228344 19.35933 24.11384 29.13139 11.72157 15.67; 8 0.248907 23.56008 22.20481 28.42510 11.33540 14.47; 9 0.266212 25.43388 21.20455 28.42194 11.10060 13.83; 10 0.281406 26.99839 20.59505 27.64307 10.86728 13.89;  Variance Decomposition of TINF: Period S.E. LNEXP LNGDP LNIMP TCH TINI  1 1.540024 34.49067 0.662383 9.773650 6.049161 49.024  2 2.104758 38.60152 0.502733 8.429337 5.688448 46.77; 3 2.951956 43.23868 0.739111 7.408432 5.013102 43.60; 4 3.367291 42.84281 1.386539 7.222133 5.900674 42.64 5 3.430948 40.40808 3.598175 7.593259 6.581960 41.81; 6 3.610437 36.63841 6.574023 9.772802 5.694647 41.32; 7 3.866921 36.13237 7.783139 10.55927 4.945430 40.57; 8 4.030395 36.44952 8.050110 10.56374 4.808807 40.12;	1	0.087849	74.55321	25.44679	0.000000	0.000000	0.000000
4 0.150035 39.43064 17.20166 27.73570 2.156095 13.47: 5 0.185026 31.34458 14.99259 40.85036 3.753478 9.058: 6 0.195337 34.63000 13.51606 39.42810 3.924084 8.501: 7 0.208871 41.57313 12.11732 35.14330 3.692435 7.473: 8 0.224914 47.26199 10.62373 31.53417 3.967806 6.612: 9 0.236111 49.40886 9.795402 29.95552 4.474618 6.365: 10 0.247202 49.96953 9.023321 29.24477 5.015891 6.746:  Variance Decomposition of TCH: Period S.E. LNEXP LNGDP LNIMP TCH TINI  1 0.092565 3.054816 41.84271 9.777480 45.32499 0.000: 2 0.126102 7.533015 50.35186 10.53118 30.12596 1.457: 3 0.135179 4.655711 35.96639 31.75613 16.71013 10.91: 4 0.153139 3.803015 31.43503 33.53433 12.85060 18.37: 5 0.188965 3.956743 30.47596 35.01601 12.38490 18.16: 6 0.210893 10.25086 27.52424 32.92869 12.34045 16.95: 7 0.228344 19.35933 24.11384 29.13139 11.72157 15.67: 8 0.248807 23.56008 22.20481 28.42510 11.33540 14.47: 9 0.266212 25.43388 21.20455 28.42194 11.10060 13.83: 10 0.281406 26.99839 20.59505 27.64307 10.86728 13.89:  Variance Decomposition of TINF: Period S.E. LNEXP LNGDP LNIMP TCH TINI  1 1.540024 34.49067 0.662383 9.773650 6.049161 49.022 2 2.104758 38.60152 0.502733 8.429337 5.688448 46.77: 3 2.951956 43.23868 0.739111 7.408432 5.013102 43.60: 4 3.367291 42.84281 1.386539 7.222133 5.900674 42.64: 5 3.430948 40.40808 3.598175 7.593259 6.581960 41.81: 6 3.610437 36.63841 6.574023 9.772802 5.694647 41.32: 7 3.866921 36.13237 7.783139 10.55927 4.945430 40.12: 8 4.030395 36.44952 8.050110 10.56374 4.808807 40.12:	2	0.103571	73.45963	18.54481	0.637209	0.012245	7.34610
4 0.150035 39.43064 17.20166 27.73570 2.156095 13.47: 5 0.185026 31.34458 14.99259 40.85036 3.753478 9.058: 6 0.195337 34.63000 13.51606 39.42810 3.924084 8.501: 7 0.208871 41.57313 12.11732 35.14330 3.692435 7.473: 8 0.224914 47.26199 10.62373 31.53417 3.967806 6.612: 9 0.236111 49.40886 9.795402 29.95552 4.474618 6.365: 10 0.247202 49.96953 9.023321 29.24477 5.015891 6.746:  Variance Decomposition of TCH: Period S.E. LNEXP LNGDP LNIMP TCH TINI:  1 0.092565 3.054816 41.84271 9.777480 45.32499 0.000: 2 0.126102 7.533015 50.35186 10.53118 30.12596 1.457: 3 0.135179 4.655711 35.96639 31.75613 16.71013 10.91: 4 0.153139 3.803015 31.43503 33.53433 12.85060 18.37: 5 0.188965 3.956743 30.47596 35.01601 12.38490 18.16: 6 0.210893 10.25086 27.52424 32.92869 12.34045 16.95: 7 0.228344 19.35933 24.11384 29.13139 11.72157 15.67: 8 0.248907 23.56008 22.20481 28.42510 11.33540 14.47: 9 0.266212 25.43388 21.20455 28.42194 11.10060 13.83: 10 0.281406 26.99839 20.59505 27.64307 10.86728 13.89:  Variance Decomposition of TINF: Period S.E. LNEXP LNGDP LNIMP TCH TINI:  1 1.540024 34.49067 0.662383 9.773650 6.049161 49.022 2 2.104758 38.60152 0.502733 8.429337 5.688448 46.77: 3 2.951956 43.23868 0.739111 7.408432 5.013102 43.60: 4 3.367291 42.84281 1.386539 7.222133 5.900674 42.64: 5 3.430948 40.40808 3.598175 7.593259 6.581960 41.81: 6 3.610437 36.63841 6.574023 9.772802 5.694647 41.32: 7 3.866921 36.13237 7.783139 10.55927 4.945430 40.57: 8 4.030395 36.44952 8.050110 10.56374 4.808807 40.12:							20.3510
5         0.185026         31.34458         14.99259         40.85036         3.753478         9.0581           6         0.195337         34.63000         13.51606         39.42810         3.94084         8.5011           7         0.208871         41.57313         12.11732         35.14330         3.692435         7.473           8         0.224914         47.26199         10.62373         31.53417         3.967806         6.612           9         0.236111         49.40886         9.795402         29.95552         4.474618         6.3661           10         0.247202         49.96953         9.023321         29.24477         5.015891         6.766           Variance Decomposition of TCH:         Ceriod         S.E.         LNEXP         LNGDP         LNIMP         TCH         TINI           1         0.092565         3.054816         41.84271         9.777480         45.32499         0.000           2         0.126102         7.533015         50.35186         10.53118         30.12596         1.4573           3         0.135179         4.655711         35.96639         31.75613         16.71013         10.911           4         0.153139         3.803015         31.							13.4759
6 0.195337 34.63000 13.51606 39.42810 3.924084 8.501' 7 0.208871 41.57313 12.11732 35.14330 3.692435 7.473' 8 0.224914 47.26199 10.62373 31.53417 3.967806 6.612: 9 0.236111 49.40886 9.795402 29.95552 4.474618 6.365: 10 0.247202 49.96953 9.023321 29.24477 5.015891 6.746-  Variance Decomposition of TCH: Period S.E. LNEXP LNGDP LNIMP TCH TINI  1 0.092565 3.054816 41.84271 9.777480 45.32499 0.0001 2 0.126102 7.533015 50.35186 10.53118 30.12596 1.457: 3 0.135179 4.655711 35.96639 31.75613 16.71013 10.91: 4 0.153139 3.803015 31.43503 33.53433 12.285060 18.37' 5 0.188965 3.956743 30.47596 35.01601 12.38490 18.36' 6 0.210893 10.25086 27.52424 32.92869 12.34045 16.95: 7 0.228344 19.35933 24.11384 29.13139 11.72157 15.67: 8 0.248907 23.56008 22.20481 28.42510 11.33540 14.47- 9 0.266212 25.43388 21.20455 28.42194 11.10060 13.83: 10 0.281406 26.99839 20.59505 27.64307 10.86728 13.89:  Variance Decomposition of TINF: Period S.E. LNEXP LNGDP LNIMP TCH TINI  1 1.540024 34.49067 0.662383 9.773650 6.049161 49.02- 2 2.104758 38.60152 0.502733 8.429337 5.688448 46.77' 3 2.951956 43.23868 0.739111 7.408432 5.013102 43.60: 4 3.367291 42.84281 1.386539 7.222133 5.00647 42.64- 5 3.430948 40.40808 3.598175 7.593259 6.581960 41.81: 6 3.610437 36.63841 6.574023 9.772802 5.694647 41.32: 7 3.866921 36.13237 7.783139 10.55927 4.945430 40.57: 8 4.030395 36.44952 8.050110 10.56374 4.808807 40.12:							9.058994
7 0.208871 41.57313 12.11732 35.14330 3.692435 7.47318 0.224914 47.26199 10.62373 31.53417 3.967806 6.6122 9.95552 4.474618 6.3651 0 0.247202 49.96953 9.023321 29.24477 5.015891 6.7461 0.247202 49.96953 9.023321 29.24477 5.015891 6.7461 0.247202 49.96953 9.023321 29.24477 5.015891 6.7461 0.247202 49.96953 9.023321 29.24477 5.015891 6.7461 0.247202 49.96953 9.023321 0.29.24477 5.015891 6.7461 0.247202 49.96953 9.023321 0.29.24477 5.015891 0.7461 0.7461 0.247202 49.96953 9.023321 0.29.24477 5.015891 0.7461 0.7461 0.747202 0.23321 0.25861 0.23321 0.25861 0.24816 0.25814 0.24816 0.24816 0.25814 0.24816 0.24816 0.25814 0.24816 0.25814 0.24816 0.25814							8.501762
8         0.224914         47.26199         10.62373         31.53417         3.967806         6.612: 99         0.236111         49.40886         9.795402         29.95552         4.474618         6.366: 6.							7.47381
9 0.236111 49.40886 9.795402 29.95552 4.474618 6.3655							6.612310
10 0.247202 49.96953 9.023321 29.24477 5.015891 6.746-  /ariance Decomposition of TCH: Period S.E. LNEXP LNGDP LNIMP TCH TINI  1 0.092565 3.054816 41.84271 9.777480 45.32499 0.000 2 0.126102 7.533015 50.35186 10.53118 30.12596 1.457: 3 0.135179 4.655711 35.96639 31.75613 16.71013 10.91: 4 0.153139 3.803015 31.43503 33.53433 12.85060 18.37: 5 0.188965 3.956743 30.47596 35.01601 12.38490 18.16: 6 0.210893 10.25086 27.52424 32.92869 12.34045 16.95: 7 0.228344 19.35933 24.11384 29.13139 11.72157 15.67: 8 0.248907 23.56008 22.20481 28.42510 11.33540 14.47. 9 0.266212 25.43388 21.20455 28.42194 11.10060 13.83: 10 0.281406 26.99839 20.59505 27.64307 10.86728 13.89:  //ariance Decomposition of TINF: Period S.E. LNEXP LNGDP LNIMP TCH TINI  1 1.540024 34.49067 0.662383 9.773650 6.049161 49.02: 2 2.104758 38.60152 0.502733 8.429337 5.688448 46.77: 3 2.951956 43.23868 0.739111 7.408432 5.013102 43.60: 4 3.367291 42.84281 1.386539 7.222133 5.900674 42.64: 5 3.430948 40.40808 3.598175 7.593259 6.581960 41.81: 6 3.610437 36.63841 6.574023 9.772802 5.694647 41.32: 7 3.866921 36.13237 7.783139 10.55927 4.945430 40.57: 8 4.030395 36.44952 8.050110 10.56374 4.808807 40.12:							6.365597
Period S.E. LNEXP LNGDP LNIMP TCH TINI  1 0.092565 3.054816 41.84271 9.777480 45.32499 0.0001 2 0.126102 7.533015 50.35186 10.53118 30.12596 1.457: 3 0.135179 4.655711 35.96639 31.75613 16.71013 10.91: 4 0.153139 3.803015 31.43503 33.53433 12.85060 18.37: 5 0.188965 3.956743 30.47596 35.01601 12.38490 18.16: 6 0.210893 10.25086 27.52424 32.92869 12.34045 16.95: 7 0.228344 19.35933 24.11384 29.13139 11.72157 15.67: 8 0.248907 23.56608 22.20481 28.42510 11.33540 14.47. 9 0.266212 25.43388 21.20455 28.42194 11.10060 13.83: 10 0.281406 26.99839 20.59505 27.64307 10.86728 13.89:  Variance Decomposition of TINF: Period S.E. LNEXP LNGDP LNIMP TCH TINI  1 1.540024 34.49067 0.662383 9.773650 6.049161 49.02. 2 2.104758 38.60152 0.502733 8.429337 5.688448 46.77: 3 2.951956 43.23868 0.739111 7.408432 5.013102 43.60: 4 3.367291 42.84281 1.386539 7.222133 5.900674 42.64: 5 3.430948 40.40808 3.598175 7.593259 6.581960 41.81: 6 3.610437 36.63841 6.574023 9.772802 5.694647 41.32: 7 3.866921 36.13237 7.783139 10.55927 4.945430 40.57: 8 4.030395 36.44952 8.050110 10.56374 4.808807 40.12:							6.746494
2 0.126102 7.533015 50.35186 10.53118 30.12596 1.457: 3 0.135179 4.655711 35.96639 31.75613 16.71013 10.91: 4 0.153139 3.803015 31.43503 33.53433 12.85060 18.37: 5 0.188965 3.956743 30.47596 35.01601 12.38490 18.16: 6 0.210893 10.25086 27.52424 32.92869 12.34045 16.95: 7 0.228344 19.35933 24.11384 29.13139 11.72157 15.67: 8 0.248907 23.56008 22.20481 28.42510 11.33540 14.47. 9 0.266212 25.43388 21.20455 28.42194 11.10060 13.83; 10 0.281406 26.99839 20.59505 27.64307 10.86728 13.89:  Variance Decomposition of TINF: Period S.E. LNEXP LNGDP LNIMP TCH TINI  1 1.540024 34.49067 0.662383 9.773650 6.049161 49.02. 2 2.104758 38.60152 0.502733 8.429337 5.688448 46.77: 3 2.951956 43.23868 0.739111 7.408432 5.013102 43.60: 4 3.367291 42.84281 1.386539 7.222133 5.900674 42.64* 5 3.430948 40.40808 3.598175 7.593259 6.581960 41.81: 6 3.610437 36.63841 6.574023 9.772802 5.694647 41.32: 7 3.866921 36.13237 7.783139 10.55927 4.945430 40.57: 8 4.030395 36.44952 8.050110 10.56374 4.808807 40.12*				LNGDP	LNIMP	тсн	TINF
2 0.126102 7.533015 50.35186 10.53118 30.12596 1.457: 3 0.135179 4.655711 35.96639 31.75613 16.71013 10.91: 4 0.153139 3.803015 31.43503 33.53433 12.85060 18.37: 5 0.188965 3.956743 30.47596 35.01601 12.38490 18.16: 6 0.210893 10.25086 27.52424 32.92869 12.34045 16.95: 7 0.228344 19.35933 24.11384 29.13139 11.72157 15.67: 8 0.248907 23.56008 22.20481 28.42510 11.33540 14.47. 9 0.266212 25.43388 21.20455 28.42194 11.10060 13.83; 10 0.281406 26.99839 20.59505 27.64307 10.86728 13.89:  Variance Decomposition of TINF: Period S.E. LNEXP LNGDP LNIMP TCH TINI  1 1.540024 34.49067 0.662383 9.773650 6.049161 49.02. 2 2.104758 38.60152 0.502733 8.429337 5.688448 46.77: 3 2.951956 43.23868 0.739111 7.408432 5.013102 43.60: 4 3.367291 42.84281 1.386539 7.222133 5.900674 42.64* 5 3.430948 40.40808 3.598175 7.593259 6.581960 41.81: 6 3.610437 36.63841 6.574023 9.772802 5.694647 41.32: 7 3.866921 36.13237 7.783139 10.55927 4.945430 40.57: 8 4.030395 36.44952 8.050110 10.56374 4.808807 40.12*	1	0.092565	3.054816	41.84271	9.777480	45.32499	0.000000
3 0.135179 4.655711 35.96639 31.75613 16.71013 10.91: 4 0.153139 3.803015 31.43503 33.53433 12.85060 18.37: 5 0.188965 3.956743 30.47596 35.01601 12.38490 18.16: 6 0.210893 10.25086 27.52424 32.92869 12.34045 16.95: 7 0.228344 19.35933 24.11384 29.13139 11.72157 15.67: 8 0.248907 23.56008 22.20481 28.42510 11.33540 14.47: 9 0.266212 25.43388 21.20455 28.42194 11.10060 13.83: 10 0.281406 26.99839 20.59505 27.64307 10.86728 13.89:  Variance Decomposition of TINF: Period S.E. LNEXP LNGDP LNIMP TCH TINI  1 1.540024 34.49067 0.662383 9.773650 6.049161 49.02- 2 2.104758 38.60152 0.502733 8.429337 5.688448 46.77: 3 2.951956 43.23868 0.739111 7.408432 5.013102 43.60: 4 3.367291 42.84281 1.386539 7.222133 5.900674 42.64- 5 3.430948 40.40808 3.598175 7.593259 6.581960 41.81: 6 3.610437 36.63841 6.574023 9.772802 5.694647 41.32: 7 3.866921 36.13237 7.783139 10.55927 4.945430 40.57: 8 4.030395 36.44952 8.050110 10.56374 4.808807 40.12:							1.457987
4         0.153139         3.803015         31.43503         33.53433         12.85060         18.37           5         0.188965         3.956743         30.47596         35.01601         12.38490         18.161           6         0.210893         10.25086         27.52424         32.92869         12.34045         16.955           7         0.228344         19.35933         24.11384         29.13139         11.72157         15.673           8         0.248907         23.56008         22.20481         28.42510         11.33540         14.47           9         0.266212         25.43388         21.20455         28.42194         11.03540         14.47           10         0.281406         26.99839         20.59505         27.64307         10.86728         13.896           Variance Decomposition of TINF:           Period         S.E.         LNEXP         LNGDP         LNIMP         TCH         TINI           1         1.540024         34.49067         0.662383         9.773650         6.049161         49.02           2         2.104758         38.60152         0.502733         8.429337         5.688448         46.77           3         2.951956         <							10.91164
5         0.188965         3.956743         30.47596         35.01601         12.38490         18.166           6         0.210893         10.25086         27.52424         32.92869         12.34045         16.955           7         0.228344         19.35933         24.11384         29.13139         11.72157         15.675           8         0.248907         23.56008         22.20481         28.42510         11.33540         14.47           9         0.266212         25.43388         21.20455         28.42194         11.10060         13.831           10         0.281406         26.99839         20.59505         27.64307         10.86728         13.891           Variance Decomposition of TINF:         Period         S.E.         LNEXP         LNGDP         LNIMP         TCH         TINI           1         1.540024         34.49067         0.662383         9.773650         6.049161         49.02           2         2.104758         38.60152         0.502733         8.429337         5.688448         46.77           3         2.951956         43.23868         0.739111         7.408432         5.013102         43.600           4         3.367291         42.84281							18.37703
6 0.210893 10.25086 27.52424 32.92869 12.34045 16.95: 7 0.228344 19.35933 24.11384 29.13139 11.72157 15.67: 8 0.248907 23.56008 22.20481 28.42510 11.33540 14.47. 9 0.266212 25.43388 21.20455 28.42194 11.10060 13.83: 10 0.281406 26.99839 20.59505 27.64307 10.86728 13.89:  Variance Decomposition of TINF: Period S.E. LNEXP LNGDP LNIMP TCH TINI  1 1.540024 34.49067 0.662383 9.773650 6.049161 49.02. 2 2.104758 38.60152 0.502733 8.429337 5.688448 46.77: 3 2.951956 43.23868 0.739111 7.408432 5.013102 43.60: 4 3.367291 42.84281 1.386539 7.222133 5.900674 42.64: 5 3.430948 40.40808 3.598175 7.593259 6.581960 41.81: 6 3.610437 36.63841 6.574023 9.772802 5.694647 41.32: 7 3.866921 36.13237 7.783139 10.55927 4.945430 40.57: 8 4.030395 36.44952 8.050110 10.56374 4.808807 40.12:							18.1663
7 0.228344 19.35933 24.11384 29.13139 11.72157 15.67: 8 0.248907 23.56008 22.20481 28.42510 11.33540 14.47: 9 0.266212 25.43338 21.20455 28.42194 11.10060 13.83: 10 0.281406 26.99839 20.59505 27.64307 10.86728 13.89i  Variance Decomposition of TINF: Period S.E. LNEXP LNGDP LNIMP TCH TINI  1 1.540024 34.49067 0.662383 9.773650 6.049161 49.02: 2 2.104758 38.60152 0.502733 8.429337 5.688448 46.77: 3 2.951956 43.23868 0.739111 7.408432 5.013102 43.60i 4 3.367291 42.84281 1.386539 7.222133 5.900674 42.64* 5 3.430948 40.40808 3.598175 7.593259 6.581960 41.81: 6 3.610437 36.63841 6.574023 9.772802 5.694647 41.32: 7 3.866921 36.13237 7.783139 10.55927 4.945430 40.57: 8 4.030395 36.44952 8.050110 10.56374 4.808807 40.12*							16.9557
8         0.248907         23.56008         22.20481         28.42510         11.33540         14.47-99         0.266212         25.43388         21.20455         28.42194         11.10060         13.831           10         0.281406         26.99839         20.59505         27.64307         10.86728         13.891           Variance Decomposition of TINF:           Period         S.E.         LNEXP         LNGDP         LNIMP         TCH         TINI           1         1.540024         34.49067         0.662383         9.773650         6.049161         49.02-           2         2.104758         38.60152         0.502733         8.429337         5.688448         46.77-           3         2.951956         43.23868         0.739111         7.408432         5.013102         43.60           4         3.367291         42.84281         1.386539         7.222133         5.900674         42.64           5         3.430948         40.40808         3.598175         7.593259         6.581960         41.81           6         3.610437         36.63841         6.574023         9.772802         5.694647         41.32           7         3.866921         36.44952         8.0501							15.67387
9 0.266212 25.43388 21.20455 28.42194 11.10060 13.839   10 0.281406 26.99839 20.59505 27.64307 10.86728 13.899   Variance Decomposition of TINF: Period S.E. LNEXP LNGDP LNIMP TCH TINI  1 1.540024 34.49067 0.662383 9.773650 6.049161 49.02-2 2.104758 38.60152 0.502733 8.429337 5.688448 46.77   3 2.951956 43.23868 0.739111 7.408432 5.013102 43.600   4 3.367291 42.84281 1.386539 7.222133 5.900674 42.64   5 3.430948 40.40808 3.598175 7.593259 6.581960 41.813   6 3.610437 36.63841 6.574023 9.772802 5.694647 41.321   7 3.866921 36.13237 7.783139 10.55927 4.945430 40.573   8 4.030395 36.44952 8.050110 10.56374 4.808807 40.122							14.47460
10         0.281406         26.99839         20.59505         27.64307         10.86728         13.896           Variance Decomposition of TINF: Period         S.E.         LNEXP         LNGDP         LNIMP         TCH         TINI           1         1.540024         34.49067         0.662383         9.773650         6.049161         49.02           2         2.104758         38.60152         0.502733         8.429337         5.688448         46.77           3         2.951956         43.23868         0.739111         7.408432         5.013102         43.604           4         3.367291         42.84281         1.386539         7.222133         5.900674         42.64           5         3.430948         40.40808         3.598175         7.593259         6.581960         41.81           6         3.610437         36.63841         6.574023         9.772802         5.694647         41.32           7         3.866921         36.13237         7.783139         10.55927         4.945430         40.57           8         4.030395         36.44952         8.050110         10.56374         4.808807         40.12							13.83903
Period S.E. LNEXP LNGDP LNIMP TCH TINI  1 1.540024 34.49067 0.662383 9.773650 6.049161 49.02. 2 2.104758 38.60152 0.502733 8.429337 5.688448 46.77 3 2.951956 43.23868 0.739111 7.408432 5.013102 43.601 4 3.367291 42.84281 1.386539 7.222133 5.900674 42.64 5 3.430948 40.40808 3.598175 7.593259 6.581960 41.818 6 3.610437 36.63841 6.574023 9.772802 5.694647 41.321 7 3.866921 36.13237 7.783139 10.55927 4.945430 40.573 8 4.030395 36.44952 8.050110 10.56374 4.808807 40.12							13.8962
Period S.E. LNEXP LNGDP LNIMP TCH TINI  1 1.540024 34.49067 0.662383 9.773650 6.049161 49.02. 2 2.104758 38.60152 0.502733 8.429337 5.688448 46.77 3 2.951956 43.23868 0.739111 7.408432 5.013102 43.601 4 3.367291 42.84281 1.386539 7.222133 5.900674 42.64 5 3.430948 40.40808 3.598175 7.593259 6.581960 41.818 6 3.610437 36.63841 6.574023 9.772802 5.694647 41.321 7 3.866921 36.13237 7.783139 10.55927 4.945430 40.573 8 4.030395 36.44952 8.050110 10.56374 4.808807 40.12	/ariance D	ecomposition o	fTINE:				
2     2.104758     38.60152     0.502733     8.429337     5.688448     46.77       3     2.951956     43.23868     0.739111     7.408432     5.013102     43.601       4     3.367291     42.84281     1.386539     7.222133     5.900674     42.642       5     3.430948     40.40808     3.598175     7.593259     6.581960     41.818       6     3.610437     36.63841     6.574023     9.772802     5.694647     41.321       7     3.866921     36.13237     7.783139     10.55927     4.945430     40.573       8     4.030395     36.44952     8.050110     10.56374     4.808807     40.122				LNGDP	LNIMP	тсн	TINF
3     2.951956     43.23868     0.739111     7.408432     5.013102     43.60       4     3.367291     42.84281     1.386539     7.222133     5.90674     42.64       5     3.430948     40.40808     3.598175     7.593259     6.581960     41.81       6     3.610437     36.63841     6.574023     9.772802     5.694647     41.32       7     3.866921     36.13237     7.783139     10.55927     4.945430     40.57       8     4.030395     36.44952     8.050110     10.56374     4.808807     40.12		1.540024	34.49067	0.662383	9.773650	6.049161	49.02413
4     3.367291     42.84281     1.386539     7.222133     5.900674     42.64*       5     3.430948     40.40808     3.598175     7.593259     6.581960     41.81*       6     3.610437     36.63841     6.574023     9.772802     5.694647     41.32*       7     3.866921     36.13237     7.783139     10.55927     4.945430     40.57*       8     4.030395     36.44952     8.050110     10.56374     4.808807     40.12*	2	2.104758	38.60152	0.502733	8.429337	5.688448	46.7779
4     3.367291     42.84281     1.386539     7.222133     5.900674     42.64*       5     3.430948     40.40808     3.598175     7.593259     6.581960     41.81*       6     3.610437     36.63841     6.574023     9.772802     5.694647     41.32*       7     3.866921     36.13237     7.783139     10.55927     4.945430     40.57*       8     4.030395     36.44952     8.050110     10.56374     4.808807     40.12*	3	2.951956	43.23868	0.739111	7.408432	5.013102	43.60067
5     3.430948     40.40808     3.598175     7.593259     6.581960     41.81       6     3.610437     36.63841     6.574023     9.772802     5.694647     41.32       7     3.866921     36.13237     7.783139     10.55927     4.945430     40.57       8     4.030395     36.44952     8.050110     10.56374     4.808807     40.12			42.84281			5.900674	42.6478
6 3.610437 36.63841 6.574023 9.772802 5.694647 41.324 7 3.866921 36.13237 7.783139 10.55927 4.945430 40.575 8 4.030395 36.44952 8.050110 10.56374 4.808807 40.125							41.81852
7 3.866921 36.13237 7.783139 10.55927 4.945430 40.579 8 4.030395 36.44952 8.050110 10.56374 4.808807 40.12		3.610437	36.63841	6.574023	9.772802	5.694647	41.32012
8 4.030395 36.44952 8.050110 10.56374 4.808807 40.12							40.57979
							40.1278
							40.0163
10 4.219529 36.29338 8.199458 10.57840 4.998500 39.93							39.9302

ومن خلال نتائج الجدول السابق الذي يبين عملية تفكيك تباين التقديرات حسب طريقة تشولسكي يما 10 النظام خلال 10 متغيرة من تباين نفسها ومن تباين متغيرات النظام خلال الكورية من كل متغيرة من كل متغيرة من كل متغيرة من خلال Variance Decomposition الذي يبين لنا نسبة تفسير كل متغيرة من

تباين InEXP ، مثلا في السنة الأولى، نسبة تفسير InEXP من تباين نفسها هي 100%، أي أثرت InEXP على نفسها بالمطلق أي 100%، وفسرت المتغيرات الأخرى %0 من تباين InEXP.

#### 5. التنبؤ

بعد تحقق كل الشروط المذكورة سابقا نصل إلى مرحلة التنبؤ، بإتباع نفس الخطوات التي ذكرناها في طريقة بوكس جينكينز نتحصل على القيم المتنبؤ بما لكل متغيرة على حداكما يعطينا معايير قياس دقة التنبؤ الموضحة في الجدول التالى:

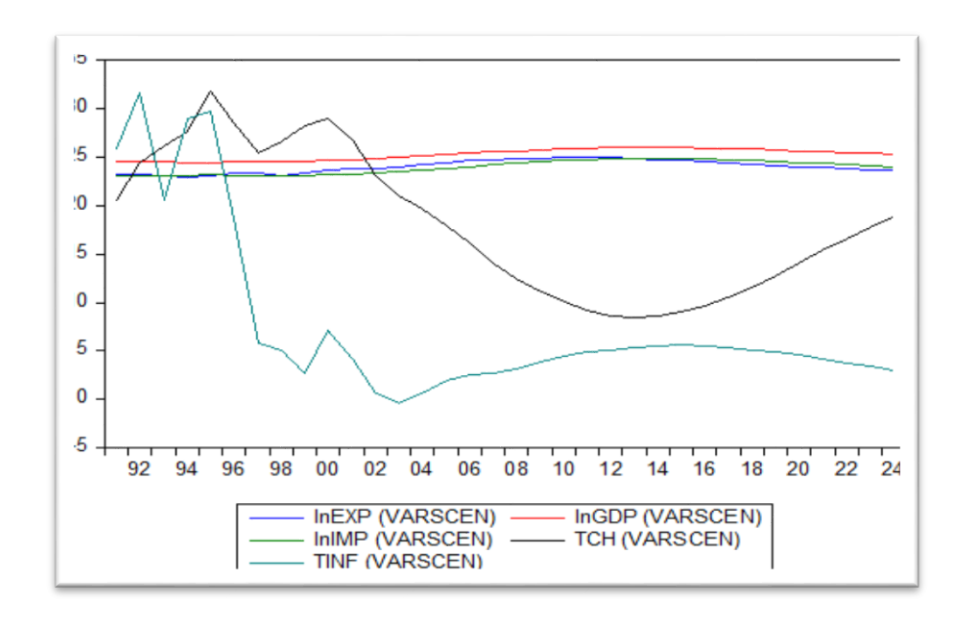
Forecast Evaluation Date: 06/15/22 Time: 19:15 Sample: 2000 2020 Included observations: 21						
Variable	Inc. obs.	RMSE	MAE	MAPE	Theil	
LNEXP	21	0.178085	0.149898	0.610841	0.003635	
LNGDP	21	0.095111	0.078837	0.307181	0.001858	
LNIMP	21	0.078332	0.059153	0.243474	0.001610	
TCH	21	1.807364	1.513105	11.28357	0.057376	
TINF	21	2.488655	1.833005	121.3414	0.288409	

RMSE: Root Mean Square Error MAE: Mean Absolute Error

MAPE: Mean Absolute Percentage Error

Theil: Theil inequality coefficient

- من خلال هذه المؤشرات وحسب مؤشر Theil الخاص بكل متغيرة نلاحظ أن التنبؤ بكل المتغيرات جيدة لأن كلما كان هذا المعامل يؤول إلى الصفر فإن دقة التنبؤ تكون جيدة، وكلما كان هذا المعامل يؤول إلى الصفر فإن دقة التنبؤ سيئة كما هو الحال لمتغيرة معدل التضخم الذي يقدر فيه قيمة 0,28.
- هذا بالنسبة للتنبؤ داخل العينة، فيما يخص التنبؤ خارج العينة، سنقوم بالتنبؤ إلى غاية 2024، النتائج موضحة في البيان التالى:



من خلال هذا المنحنى نلاحظ أن كل من الواردات والصادرات والناتج الداخلي الخام ستبقى ثابتة خلال فترة التنبؤ، أما متغيرة معدلات البطالة فستعرف ارتفاعا، عكس متغيرة الضخم التي ستعرف انخفاضا.

من خلال هذه النتائج يمكننا أن نستنتج مجموعة من النتائج بالنسبة إلى سياسة تسيير الاقتصاد الجزائري، فانخفاض معدلات البطالة التي سترتفع وهو مشكل عويص يعاني معدلات البطالة التي سترتفع وهو مشكل عويص يعاني منه الاقتصاد الجزائري خصوصا بعد الأزمات المتتالية وانخفاض أسعار البترول والأزمة الوبائية التي حدثت في العالم.

المراجع

# المراجع بالغة العربية

- شيخى محمد، طرق الاقتصاد القياسي، محاضرات وتطبيقات، الحامد، الجزائر، الطبعة الأولى، 2011.
- عطية عبد القادر محمد عبد القادر، الحديث في الاقتصاد القياسي بين النظرية والتطبيق، الدار الجامعة للنشر، الإسكندرية، مصر الطبعة الأولى، 2005.
  - حشمان مولود، السلاسل الزمنية وتقنيات التنبؤ القصير المدى، ديوان المطبوعات الجامعية ، 2010.

## المراجع بالغة الفرنسية

- Baltagi Badi, Econometrics, Springer edition, fourth edition, USA, 2008.
- Bourbonnais régis, Econométrie, édition Dunod, 10<sup>ème</sup> édition, Paris, France, 2018.
- Bourbonnais régis, Econométrie: Cours et exercices corrigés, édition Dunod, 9<sup>ème</sup> édition, Paris, France, 2015.
- Cadoret Isabelle et autres, Econométrie appliquées, édition de Boeck, 1<sup>ére</sup> édition, Bruxelles, Belgique, 2004.
- Christ, C. F, Econométric Models and Methods. New York: John Wiley & Sons,1966.
- Dor Eric, Économétrie: Synthèse de cours et exercices corrigés, édition Pearson, Paris, France, 2009.
- Dimitrios Asteriou and Stephen G. Hall: Applied Econometrics, Amodern Approach, Revised Edition, First edition, New York, 2006, 2007.
- Giraud René & Chaix Nicole, Econométrie, édition presses universitaires de France, Paris, France, 1989.
- Greene William.H, Econometric Analysis, edition Pearson, eighth edition, New York, USA, 2018.
- Greene William.H, Econometric analysis, Prentice hall, fifth edition, New York University, July 10, 2002.
- Grellet Gérard, Econométrie, support de cours d'économétrie, Paris, France, 2003,
- Gujarati Damodar, Econométrie, Traduction de la 4<sup>ème</sup> édition américaine par Bernier Bernard, édition de Boeck, 1<sup>ère</sup> édition, Bruxelles, Belgique, 2004.
- Gujarati Damodar, Econometrics by example, Second Edition, New York, USA, 2015.
- H.Working(1943), Statistical Laus of family expenditure, Journal of the American Statistical Association, Vol.38
- Kibala Kuma Jonas, Économétrie Appliquée: Manuel des cas pratiques sur EViews et Stata, centre de recherche économique et quantitative, Congo-Kinshasa, 2018.
- LARDIC S. et MIGNON V.,(2002) "Econométrie des séries temporelles macroéconomiques et financières" Ed. Economica-Paris.

- Malinvaud.E,"Estimation et prévision dans les modèles Economiques autorégressifs, "Revue de l'institut international de statistique,1961.
- Paul Turner, PhD Econometrics in Practice, MERCURY LEARNING AND INFORMATION Dulles, Virginia, Boston, Massachusetts, New Delhi.
- Phillipe Deschamps, cours d'économétrie, Université de Fribourg, suisse, 2006.
- Résumé du Cours d'économétrie, Yves Tille, 16 décembre 2008, Paris, France.
- Salvatore Dominick, Reagle Derrick, Theory and Problems of Statistics and Econometrics, Schaum's outline series, McGraw Hill, New York, USA, 2002.
- Zellner Arnold & Theil.H, Three-Stage Least Squares: Simultaneous Estimation of Simultaneous Equations, Econometrica, January 1962, Vol. 30, No. 1.

الملحق

 $\mathbf{Y} t$ والأسعار  $\mathbf{X} t$  والأسعار

t	الطلب Xt	الأسعار Yt	t	الطلب Xt	الأسعار Yt	t	الطلب Xt	الأسعار Yt
0001Q1	-146,4	-75,6	0007Q1	-14,4	-9	0013Q1	36	-30,6
0001Q2	19,2	1,8	0007Q2	12	-1,8	0013Q2	57,6	-34,2
0001Q3	-2,4	19,8	0007Q3	-14,4	36	0013Q3	19,2	-54
0001Q4	-9,6	21,6	0007Q4	-88,8	63	0013Q4	93,6	-84,6
0002Q1	72	-28,8	0008Q1	28,8	-10,8	0014Q1	91,2	-135
0002Q2	-2,4	-73,8	0008Q2	60	-81	0014Q2	84	-48,6
0002Q3	108	-25,2	0008Q3	38,4	-45	0014Q3	-7,2	-41,4
0002Q4	40,8	-30,6	0008Q4	93,6	-10,8	0014Q4	110,4	-39,6
0003Q1	4,8	-46,8	0009Q1	55,2	-57,6	0015Q1	40,8	-57,6
0003Q2	-40,8	36	0009Q2	21,6	54	0015Q2	84	-136,8
0003Q3	-38,4	18	0009Q3	-12	-18	0015Q3	156	-84,6
0003Q4	-9,6	19,8	0009Q4	2,4	-10,8	0015Q4	69,6	-30,6
0004Q1	19,2	41,4	0010Q1	57,6	-10,8	0016Q1	-4,8	-10,8
0004Q2	55,2	-52,2	0010Q2	-45,6	21,6	0016Q2	52,8	-48,6
0004Q3	74,4	-64,8	0010Q3	-21,6	41,4	0016Q3	0	-37,8
0004Q4	74,4	-14,4	0010Q4	-12	-23,4	0016Q4	36	-68,4
0005Q1	79,2	-77,4	0011Q1	55,2	-50,4	0017Q1	74,4	-37,8
0005Q2	33,6	-55,8	0011Q2	-7,2	-30,6	0017Q2	16,8	-28,8
0005Q3	62,4	-52,2	0011Q3	88,8	-68,4	0017Q3	14,4	-30,6
0005Q4	-16,8	-14,4	0011Q4	31,2	-25,2	0017Q4	129,6	-64,8
0006Q1	-14,4	-16,2	0012Q1	50,4	-28,8	0018Q1	72	-77,4
0006Q2	-9,6	-3,6	0012Q2	24	-5,4	0018Q2	129,6	12,6
0006Q3	31,2	-36	0012Q3	55,2	-1,8	0018Q3	19,2	-16,2
0006Q4	9,6	18	0012Q4	19,2	-27	0018Q4	50,4	3,6

# جدول رقم 2: معطيات الاقتصاد الجزائري (المصدر: https://perspective.usherbrooke.ca)

	TINF	PIB	EX	IMP	TCH
1991	25,886	45715614560	1,3311E+10	10788777393	20,6
1992	31,67	48003078389	1,2154E+10	11458089975	24,38
1993	20,54	49945599429	1,088E+10	11556880473	26,23
1994	29,048	42543178042	9585286555	11084077314	27,74
1995	29,78	41764315330	1,094E+10	12110076609	31,84
1996	18,679	46941582519	1,397E+10	11240020899	28,531
1997	5,734	48177612042	1,489E+10	10279946208	25,43
1998	4,95	48187747529	1,088E+10	10849999758	26,662
1999	2,646	48640653469	1,3692E+10	11079852615	28,302
2000	0,339	54790392746	2,305E+10	11390169785	29,77
2001	4,226	54744712815	2,0085E+10	12053066114	27,3
2002	1,418	56760355865	2,0153E+10	14547471885	25,9
2003	4,269	67863828413	2,5957E+10	16203129401	23,72
2004	3,962	85332581189	3,4178E+10	21886269334	17,65
2005	1,382	1,03198E+11	4,8715E+10	24843327242	15,27
2006	2,311	1,17027E+11	5,7122E+10	25651596909	12,27
2007	3,679	1,34977E+11	6,3531E+10	33568752129	13,79
2008	4,859	1,71001E+11	8,2035E+10	49096310473	11,33
2009	5,737	1,37211E+11	4,8534E+10	49331042818	10,16
2010	3,911	1,61207E+11	6,1975E+10	50654732073	9,96
2011	4,524	2,00013E+11	7,7581E+10	57376110362	9,96
2012	8,891	2,09059E+11	7,7123E+10	59611982821	10,97
2013	3,254	2,09755E+11	6,9659E+10	63767462869	9,82
2014	2,917	2,1381E+11	6,5186E+10	68262397151	10,21
2015	4,784	1,65979E+11	3,846E+10	60621194064	11,21
2016	6,398	1,60034E+11	3,3403E+10	56097067791	10,2
2017	5,591	1,70097E+11	3,8497E+10	55603303506	10,333
2018	4,27	1,74911E+11	4,5234E+10	56328895705	10,42
2019	1,952	1,71767E+11	3,9014E+10	50032843584	10,513
2020	2,415	1,45009E+11	2,6103E+10	40371739940	12,55

# ols بطريقة $\mathbf{VAR}\ (3)$ بطريقة الجدول رقم 3: نتائج تقدير نظام المعادلات

System: UNTITLED

Estimation Method: Least Squares Date: 06/14/22 Time: 19:29 Sample: 1994 2020

Included observations: 27

Total system (balanced) observations 135

	Coefficient	Std. Error	t-Statistic	Prob.
C(1)	1.129842	0.431527	2.618243	0.011
C(2)	-1.061933	1.308645	-0.811475	0.420
C(3)	-0.206309	0.896199	-0.230205	0.818
C(4)	-0.013600	0.033169	-0.410023	0.683
C(5)	0.020175	0.013953	1.445989	0.153
C(6)	-0.489061	0.499365	-0.979364	0.331
C(7)	0.299641	1.244763	0.240722	0.810
C(8)	0.356287	0.873840	0.407726	0.685
C(9)	-0.033985	0.034949	-0.972402	0.335
C(10)	-0.000573	0.012832	-0.044693	0.964
C(11)	0.857741	0.409540	2.094401	0.040
C(12)	-2.300457	1.162830	-1.978326	0.052
C(13)	1.276970	0.740882	1.723580	0.090
C(14)	0.017630	0.031134	0.566263	0.573
C(15)	-0.033110	0.012009	-2.757002	0.007
C(16)	31.97494	15.28661	2.091696	0.041
C(17)	0.344337	0.185537	1.855890	0.068
C(18)	0.022879	0.562659	0.040663	0.967
C(19)	-0.131878	0.385326	-0.342251	0.733
C(20)	-0.008405	0.014261	-0.589379	0.558
C(21)	0.008262	0.005999	1.377292	0.174
C(22)	-0.117975	0.214705	-0.549474	0.584
C(23)	0.010763	0.535192	0.020111	0.984
C(24)	0.151951	0.375712	0.404434	0.687
C(25)	-0.019996	0.015027	-1.330735	0.188
C(26)	0.002568	0.005517	0.465426	0.643
C(27)	0.314741	0.176084	1.787450	0.079
C(28)	-0.900619	0.499965	-1.801364	0.077
C(29)	0.813905	0.318546	2.555060	0.013
C(30)	0.017377	0.013386	1.298128	0.199
C(31)	-0.015729	0.005164	-3.046246	0.003
C(32)	14.49567	6.572560	2.205484	0.031
C(33)	0.243146	0.195496	1.243742	0.218
C(34)	-0.144417	0.592859	-0.243595	0.808
C(35)	0.452205	0.406008	1.113785	0.270
C(36)	-0.016113	0.015027	-1.072257	0.288
C(37)	0.013231	0.006321	2.093160	0.041
C(38)	-0.056165	0.226229	-0.248268	0.804
C(39)	0.236748	0.563919	0.419827	0.676
C(40)	-0.390726	0.395878	-0.986984	0.328
C(41)	0.004886	0.015833	0.308601	0.758
C(42)	-0.006245	0.005813	-1.074330	0.287
C(43)	0.329370	0.185535	1.775245	0.081
C(44)	-0.537422	0.526800	-1.020162	0.312
C(45)	0.674990	0.335644	2.011030	0.049
C(46)	0.001083	0.014105	0.076809	0.939
C(47)	-0.006575	0.005441	-1.208473	0.232
C(48)	5.396043	6.925339	0.779174	0.439
C(49)	1.015730	3.252522	0.312290	0.756
C(50)	-9.544516	9.863580	-0.967652	0.337
C(51)	-1.472101	6.754874	-0.217932	0.828
C(52)	0.577547	0.250004	2.310145	0.024
C(53)	-0.074803	0.105165	-0.711292	0.479
C(54)	-4.814196	3.763840	-1.279065	0.206
C(55)	18.52824	9.382085	1.974853	0.053

C(57)	0.230138	0.263420	0.873652	0.3861
C(58)	-0.107719	0.096717	-1.113763	0.2702
C(59)	3.158050	3.086804	1.023081	0.3107
C(60)	-8.081015	8.764536	-0.922013	0.3605
C(61)	7.181786	5.584213	1.286087	0.2038
C(62)	-0.483442	0.234668	-2.060114	0.0441
C(63)	0.189279	0.090518	2.091060	0.0412
C(64)	158.9985	115.2190	1.379968	0.1732
C(65)	-2.159702	10.24819	-0.210740	0.8339
C(66) C(67)	0.819151 -2.928877	31.07862 21.28356	0.026357 -0.137612	0.9791 0.8910
C(68)	-0.018509	0.787725	-0.137012	0.0910
C(69)	0.645997	0.331359	1.949541	0.0563
C(70)	-5.043916	11.85928	-0.425314	0.6723
C(71)	12.60802	29.56150	0.426501	0.6714
C(72)	-9.244158	20.75257	-0.445446	0.6577
C(73)	-0.256675	0.829996	-0.309249	0.7583
C(74)	-0.024016	0.304739	-0.078810	0.9375
C(75)	7.584471	9.726043	0.779810	0.4388
C(76)	-13.58489	27.61570	-0.491926	0.6247
C(77)	1.357394	17.59499	0.077147	0.9388
C(78) C(79)	-0.688584 0.093905	0.739401 0.285209	-0.931273 0.329249	0.3558 0.7432
C(80)	273.0700	363.0371	0.323243	0.7452
	270.0700		0.702.102	0.1001
Determinant residual co	variance	4.54E-08		
Equation: LNEXP = C(1)	\*  NEVD/ 1\ .	C(2)*I NGDD( 4	I) + C(2)*I NIIN	/ID/ 1) ı
C(4)*TCH(-1) + C(5)	5)*TINF(-1) + C	(6)*I NEXP(-2)	+ C(7)*I NGD	/// (-1) + P(-2) +
C(8)*LNIMP(-2) + C	C(9)*TCH(-2) +	C(10)*TINF(-2)	+ C(11)*LNE	XP(-3) +
C(12)*LNGDP(-3) -				
+ C(16)	,	, , ,	( ) ( )	,
Observations: 27				
R-squared	0.960944	Mean depende		24.20794
Adjusted R-squared	0.907685	S.D. depender	nt var	0.672478
Adjusted R-squared S.E. of regression	0.907685 0.204322		nt var	
Adjusted R-squared	0.907685	S.D. depender	nt var	0.672478
Adjusted R-squared S.E. of regression Durbin-Watson stat	0.907685 0.204322 2.646986	S.D. depender Sum squared	nt var resid	0.672478 0.459222
Adjusted R-squared S.E. of regression Durbin-Watson stat Equation: LNGDP = C(1	0.907685 0.204322 2.646986 7)*LNEXP(-1)	S.D. depender Sum squared + C(18)*LNGDF	nt var resid P(-1) + C(19)*	0.672478 0.459222 LNIMP(
Adjusted R-squared S.E. of regression Durbin-Watson stat Equation: LNGDP = C(1 -1) + C(20)*TCH(-1	0.907685 0.204322 2.646986 7)*LNEXP(-1) ) + C(21)*TINF	S.D. depender Sum squared + C(18)*LNGDF F(-1) + C(22)*LN	nt var resid P(-1) + C(19)* IEXP(-2) + C(	0.672478 0.459222 LNIMP( 23)
Adjusted R-squared S.E. of regression Durbin-Watson stat Equation: LNGDP = C(1 -1) + C(20)*TCH(-1 *LNGDP(-2) + C(24)	0.907685 0.204322 2.646986 7)*LNEXP(-1) ) + C(21)*TINF 4)*LNIMP(-2) +	S.D. depender Sum squared + C(18)*LNGDF F(-1) + C(22)*LN C(25)*TCH(-2)	nt var resid P(-1) + C(19)* IEXP(-2) + C( + C(26)*TINF	0.672478 0.459222 LNIMP( 23) F(-2) +
Adjusted R-squared S.E. of regression Durbin-Watson stat Equation: LNGDP = C(1 -1) + C(20)*TCH(-1	0.907685 0.204322 2.646986 7)*LNEXP(-1) ) + C(21)*TINF 4)*LNIMP(-2) + - C(28)*LNGDF	S.D. depender Sum squared + C(18)*LNGDF F(-1) + C(22)*LN C(25)*TCH(-2)	nt var resid P(-1) + C(19)* IEXP(-2) + C( + C(26)*TINF	0.672478 0.459222 LNIMP( 23) F(-2) +
Adjusted R-squared S.E. of regression Durbin-Watson stat Equation: LNGDP = C(1 -1) + C(20)*TCH(-1 *LNGDP(-2) + C(24 C(27)*LNEXP(-3) +	0.907685 0.204322 2.646986 7)*LNEXP(-1) ) + C(21)*TINF 4)*LNIMP(-2) + - C(28)*LNGDF 3) + C(32)	S.D. depender Sum squared + C(18)*LNGDF F(-1) + C(22)*LN C(25)*TCH(-2) P(-3) + C(29)*LN	nt var resid P(-1) + C(19)* IEXP(-2) + C( + C(26)*TINF IIMP(-3) + C(3	0.672478 0.459222 LNIMP( 23) 5(-2) + 30)*TCH(
Adjusted R-squared S.E. of regression Durbin-Watson stat  Equation: LNGDP = C(1 -1) + C(20)*TCH(-1 *LNGDP(-2) + C(24 C(27)*LNEXP(-3) + -3) + C(31)*TINF(-3 Observations: 27 R-squared	0.907685 0.204322 2.646986 7)*LNEXP(-1) ) + C(21)*TINF 4)*LNIMP(-2) + - C(28)*LNGDF 3) + C(32)	S.D. depender Sum squared + C(18)*LNGDF F(-1) + C(22)*LN C(25)*TCH(-2) P(-3) + C(29)*LN	nt var resid P(-1) + C(19)* IEXP(-2) + C( + C(26)*TINF IIMP(-3) + C(	0.672478 0.459222 LNIMP( 23) 5(-2) + 30)*TCH( 25.35615
Adjusted R-squared S.E. of regression Durbin-Watson stat  Equation: LNGDP = C(1 -1) + C(20)*TCH(-1 *LNGDP(-2) + C(24 C(27)*LNEXP(-3) + -3) + C(31)*TINF(-3 Observations: 27 R-squared Adjusted R-squared	0.907685 0.204322 2.646986 7)*LNEXP(-1) ) + C(21)*TINF 4)*LNIMP(-2) + - C(28)*LNGDF 3) + C(32) 0.990809 0.978276	S.D. depender Sum squared + C(18)*LNGDF F(-1) + C(22)*LN C(25)*TCH(-2) P(-3) + C(29)*LN Mean depender S.D. depender	nt var resid P(-1) + C(19)* IEXP(-2) + C( + C(26)*TINF IIMP(-3) + C(3	0.672478 0.459222 LNIMP( 23) 5(-2) + 30)*TCH( 25.35615 0.596026
Adjusted R-squared S.E. of regression Durbin-Watson stat  Equation: LNGDP = C(1 -1) + C(20)*TCH(-1 *LNGDP(-2) + C(24 C(27)*LNEXP(-3) + -3) + C(31)*TINF(-3 Observations: 27 R-squared Adjusted R-squared S.E. of regression	0.907685 0.204322 2.646986 7)*LNEXP(-1) ) + C(21)*TINF 4)*LNIMP(-2) + - C(28)*LNGDF 3) + C(32) 0.990809 0.978276 0.087849	S.D. depender Sum squared + C(18)*LNGDF F(-1) + C(22)*LN C(25)*TCH(-2) P(-3) + C(29)*LN	nt var resid P(-1) + C(19)* IEXP(-2) + C( + C(26)*TINF IIMP(-3) + C(3	0.672478 0.459222 LNIMP( 23) 5(-2) + 30)*TCH( 25.35615
Adjusted R-squared S.E. of regression Durbin-Watson stat  Equation: LNGDP = C(1 -1) + C(20)*TCH(-1 *LNGDP(-2) + C(24 C(27)*LNEXP(-3) + -3) + C(31)*TINF(-3 Observations: 27 R-squared Adjusted R-squared	0.907685 0.204322 2.646986 7)*LNEXP(-1) ) + C(21)*TINF 4)*LNIMP(-2) + - C(28)*LNGDF 3) + C(32) 0.990809 0.978276	S.D. depender Sum squared + C(18)*LNGDF F(-1) + C(22)*LN C(25)*TCH(-2) P(-3) + C(29)*LN Mean depender S.D. depender	nt var resid P(-1) + C(19)* IEXP(-2) + C( + C(26)*TINF IIMP(-3) + C(3	0.672478 0.459222 LNIMP( 23) 5(-2) + 30)*TCH( 25.35615 0.596026
Adjusted R-squared S.E. of regression Durbin-Watson stat  Equation: LNGDP = C(1 -1) + C(20)*TCH(-1 *LNGDP(-2) + C(24 C(27)*LNEXP(-3) + -3) + C(31)*TINF(-3 Observations: 27  R-squared Adjusted R-squared S.E. of regression Durbin-Watson stat	0.907685 0.204322 2.646986 7)*LNEXP(-1) ) + C(21)*TINF 4)*LNIMP(-2) + - C(28)*LNGDF 3) + C(32) 0.990809 0.978276 0.087849 2.758687	S.D. depender Sum squared  + C(18)*LNGDF F(-1) + C(22)*LN C(25)*TCH(-2) P(-3) + C(29)*LN  Mean depender S.D. depender Sum squared	nt var resid P(-1) + C(19)*I IEXP(-2) + C( + C(26)*TINF IIMP(-3) + C(3 ent var nt var resid	0.672478 0.459222 LNIMP( 23) 5(-2) + 30)*TCH( 25.35615 0.596026 0.084892
Adjusted R-squared S.E. of regression Durbin-Watson stat  Equation: LNGDP = C(1 -1) + C(20)*TCH(-1 *LNGDP(-2) + C(24 C(27)*LNEXP(-3) + -3) + C(31)*TINF(-3 Observations: 27 R-squared Adjusted R-squared S.E. of regression Durbin-Watson stat  Equation: LNIMP = C(33)	0.907685 0.204322 2.646986 7)*LNEXP(-1) ) + C(21)*TINF 4)*LNIMP(-2) + - C(28)*LNGDF 3) + C(32) 0.990809 0.978276 0.087849 2.758687	S.D. depender Sum squared  + C(18)*LNGDF F(-1) + C(22)*LN C(25)*TCH(-2) P(-3) + C(29)*LN  Mean depender S.D. depender Sum squared  - C(34)*LNGDP	nt var resid P(-1) + C(19)*I IEXP(-2) + C( + C(26)*TINF IIMP(-3) + C(3 ent var nt var resid	0.672478 0.459222 LNIMP( 23) 5(-2) + 30)*TCH( 25.35615 0.596026 0.084892 NIMP(-1)
Adjusted R-squared S.E. of regression Durbin-Watson stat  Equation: LNGDP = C(1 -1) + C(20)*TCH(-1 *LNGDP(-2) + C(24 C(27)*LNEXP(-3) + -3) + C(31)*TINF(-3) Observations: 27 R-squared Adjusted R-squared S.E. of regression Durbin-Watson stat  Equation: LNIMP = C(33 + C(36)*TCH(-1) +	0.907685 0.204322 2.646986 7)*LNEXP(-1) ) + C(21)*TINF 4)*LNIMP(-2) + - C(28)*LNGDF 3) + C(32) 0.990809 0.978276 0.087849 2.758687 8)*LNEXP(-1) + C(37)*TINF(-1	S.D. depender Sum squared  + C(18)*LNGDF F(-1) + C(22)*LN C(25)*TCH(-2) P(-3) + C(29)*LN  Mean depender S.D. depender Sum squared  - C(34)*LNGDP ) + C(38)*LNEX	nt var resid P(-1) + C(19)*I IEXP(-2) + C( + C(26)*TINF IIMP(-3) + C(3 ent var resid (-1) + C(35)*L P(-2) + C(39)	0.672478 0.459222 LNIMP( 23) 5(-2) + 30)*TCH( 25.35615 0.596026 0.084892 NIMP(-1) *LNGDP(
Adjusted R-squared S.E. of regression Durbin-Watson stat  Equation: LNGDP = C(1 -1) + C(20)*TCH(-1 *LNGDP(-2) + C(24 C(27)*LNEXP(-3) + -3) + C(31)*TINF(-3) Observations: 27 R-squared Adjusted R-squared S.E. of regression Durbin-Watson stat  Equation: LNIMP = C(33 + C(36)*TCH(-1) + -2) + C(40)*LNIMP(-3)	0.907685 0.204322 2.646986 7)*LNEXP(-1) ) + C(21)*TINF 4)*LNIMP(-2) + - C(28)*LNGDF 3) + C(32) 0.990809 0.978276 0.087849 2.758687 8)*LNEXP(-1) + C(37)*TINF(-1 (-2) + C(41)*TC	S.D. depender Sum squared  + C(18)*LNGDF F(-1) + C(22)*LN C(25)*TCH(-2) P(-3) + C(29)*LN  Mean depender S.D. depender Sum squared  - C(34)*LNGDP ) + C(38)*LNEX CH(-2) + C(42)*	nt var resid P(-1) + C(19)*I IEXP(-2) + C( + C(26)*TINF IIMP(-3) + C(3 ent var resid (-1) + C(35)*L P(-2) + C(39) IINF(-2) + C(4	0.672478 0.459222 LNIMP( 23) 5(-2) + 30)*TCH( 25.35615 0.596026 0.084892 NIMP(-1) *LNGDP( 43)
Adjusted R-squared S.E. of regression Durbin-Watson stat  Equation: LNGDP = C(1 -1) + C(20)*TCH(-1 *LNGDP(-2) + C(24 C(27)*LNEXP(-3) + -3) + C(31)*TINF(-3) Observations: 27 R-squared Adjusted R-squared S.E. of regression Durbin-Watson stat  Equation: LNIMP = C(33 + C(36)*TCH(-1) +	0.907685 0.204322 2.646986 7)*LNEXP(-1) ) + C(21)*TINF 4)*LNIMP(-2) + - C(28)*LNGDF 3) + C(32) 0.990809 0.978276 0.087849 2.758687 8)*LNEXP(-1) + C(37)*TINF(-1 (-2) + C(41)*TC	S.D. depender Sum squared  + C(18)*LNGDF F(-1) + C(22)*LN C(25)*TCH(-2) P(-3) + C(29)*LN  Mean depender S.D. depender Sum squared  - C(34)*LNGDP ) + C(38)*LNEX CH(-2) + C(42)*	nt var resid P(-1) + C(19)*I IEXP(-2) + C( + C(26)*TINF IIMP(-3) + C(3 ent var resid (-1) + C(35)*L P(-2) + C(39) IINF(-2) + C(4	0.672478 0.459222 LNIMP( 23) 5(-2) + 30)*TCH( 25.35615 0.596026 0.084892 NIMP(-1) *LNGDP( 43)
Adjusted R-squared S.E. of regression Durbin-Watson stat  Equation: LNGDP = C(1 -1) + C(20)*TCH(-1 *LNGDP(-2) + C(24 C(27)*LNEXP(-3) + -3) + C(31)*TINF(-3) Observations: 27 R-squared Adjusted R-squared S.E. of regression Durbin-Watson stat  Equation: LNIMP = C(33 + C(36)*TCH(-1) + -2) + C(40)*LNIMP(-2) + C(44)*LNIMP(-3) + C(44)	0.907685 0.204322 2.646986 7)*LNEXP(-1) ) + C(21)*TINF 4)*LNIMP(-2) + - C(28)*LNGDF 3) + C(32) 0.990809 0.978276 0.087849 2.758687 8)*LNEXP(-1) + C(37)*TINF(-1 (-2) + C(41)*TC	S.D. depender Sum squared  + C(18)*LNGDF F(-1) + C(22)*LN C(25)*TCH(-2) P(-3) + C(29)*LN  Mean depender S.D. depender Sum squared  - C(34)*LNGDP ) + C(38)*LNEX CH(-2) + C(42)*	nt var resid P(-1) + C(19)*I IEXP(-2) + C( + C(26)*TINF IIMP(-3) + C(3 ent var resid (-1) + C(35)*L P(-2) + C(39) IINF(-2) + C(4	0.672478 0.459222 LNIMP( 23) 5(-2) + 30)*TCH( 25.35615 0.596026 0.084892 NIMP(-1) *LNGDP( 43)
Adjusted R-squared S.E. of regression Durbin-Watson stat  Equation: LNGDP = C(1 -1) + C(20)*TCH(-1 *LNGDP(-2) + C(24 C(27)*LNEXP(-3) + -3) + C(31)*TINF(-3) Observations: 27 R-squared Adjusted R-squared S.E. of regression Durbin-Watson stat  Equation: LNIMP = C(33 + C(36)*TCH(-1) + -2) + C(40)*LNIMP(-2) + C(40)*LNIMP(-3) + C(47)*TINF(-3) + C(44) C(47)*TINF(-3) + C(44) Observations: 27 R-squared	0.907685 0.204322 2.646986 7)*LNEXP(-1) ) + C(21)*TINF 4)*LNIMP(-2) + - C(28)*LNGDF 3) + C(32) 0.990809 0.978276 0.087849 2.758687 8)*LNEXP(-1) + C(37)*TINF(-1 (-2) + C(41)*TC 	S.D. depender Sum squared  + C(18)*LNGDF F(-1) + C(22)*LN C(25)*TCH(-2) P(-3) + C(29)*LN  Mean depender S.D. depender Sum squared  - C(34)*LNGDP ) + C(38)*LNEX CH(-2) + C(42)** + C(45)*LNIMP(	nt var resid P(-1) + C(19)*I IEXP(-2) + C( + C(26)*TINF IIMP(-3) + C(36)*TINF resid (-1) + C(35)*L P(-2) + C(39) TINF(-2) + C(46)*TO ent var	0.672478 0.459222 LNIMP( 23) 5(-2) + 30)*TCH( 25.35615 0.596026 0.084892 NIMP(-1) *LNGDP( 43)
Adjusted R-squared S.E. of regression Durbin-Watson stat  Equation: LNGDP = C(1 -1) + C(20)*TCH(-1 *LNGDP(-2) + C(24 C(27)*LNEXP(-3) + -3) + C(31)*TINF(-3) Observations: 27 R-squared Adjusted R-squared S.E. of regression Durbin-Watson stat  Equation: LNIMP = C(33 + C(36)*TCH(-1) + -2) + C(40)*LNIMP(-2) + C(40)*LNIMP(-3) + C(47)*TINF(-3) + C(44) C(47)*TINF(-3) + C(44) C(47)*TINF(-3) + C(44) C(47)*TINF(-3) + C(44) Cobservations: 27 R-squared Adjusted R-squared	0.907685 0.204322 2.646986 7)*LNEXP(-1) ) + C(21)*TINF 4)*LNIMP(-2) + - C(28)*LNGDF 3) + C(32) 0.990809 0.978276 0.087849 2.758687 3)*LNEXP(-1) + C(37)*TINF(-1 (-2) + C(41)*TC 	S.D. depender Sum squared  + C(18)*LNGDF F(-1) + C(22)*LN C(25)*TCH(-2) P(-3) + C(29)*LN  Mean depender S.D. depender Sum squared  - C(34)*LNGDP ) + C(38)*LNEX CH(-2) + C(42)** + C(45)*LNIMP(  Mean depender S.D. depender	nt var resid P(-1) + C(19)*I IEXP(-2) + C( + C(26)*TINF IIMP(-3) + C(36)*I ent var resid (-1) + C(35)*L P(-2) + C(39)*I IINF(-2) + C(46)*T(36	0.672478 0.459222 LNIMP( 23) :(-2) + 30)*TCH( 25.35615 0.596026 0.084892 NIMP(-1) *LNGDP( 43) CH(-3) +
Adjusted R-squared S.E. of regression Durbin-Watson stat  Equation: LNGDP = C(1 -1) + C(20)*TCH(-1 *LNGDP(-2) + C(24 C(27)*LNEXP(-3) + -3) + C(31)*TINF(-3) Cobservations: 27  R-squared Adjusted R-squared S.E. of regression Durbin-Watson stat  Equation: LNIMP = C(33 + C(36)*TCH(-1) + -2) + C(40)*LNIMP(-2) + C(47)*TINF(-3) + C(44 C(47)*TINF(-3) +	0.907685 0.204322 2.646986 7)*LNEXP(-1) ) + C(21)*TINF 4)*LNIMP(-2) + - C(28)*LNGDF 3) + C(32) 0.990809 0.978276 0.087849 2.758687 3)*LNEXP(-1) + C(37)*TINF(-1 (-2) + C(41)*TC 	S.D. depender Sum squared  + C(18)*LNGDF F(-1) + C(22)*LN C(25)*TCH(-2) P(-3) + C(29)*LN  Mean depender S.D. depender Sum squared  - C(34)*LNGDP ) + C(38)*LNEX CH(-2) + C(42)** + C(45)*LNIMP(	nt var resid P(-1) + C(19)*I IEXP(-2) + C( + C(26)*TINF IIMP(-3) + C(36)*I ent var resid (-1) + C(35)*L P(-2) + C(39)*I IINF(-2) + C(46)*T(36	0.672478 0.459222 LNIMP( 23) :(-2) + 30)*TCH( 25.35615 0.596026 0.084892 NIMP(-1) *LNGDP( 43) CH(-3) +
Adjusted R-squared S.E. of regression Durbin-Watson stat  Equation: LNGDP = C(1 -1) + C(20)*TCH(-1 *LNGDP(-2) + C(24 C(27)*LNEXP(-3) + -3) + C(31)*TINF(-3) Observations: 27 R-squared Adjusted R-squared S.E. of regression Durbin-Watson stat  Equation: LNIMP = C(33 + C(36)*TCH(-1) + -2) + C(40)*LNIMP(-2) + C(40)*LNIMP(-3) + C(47)*TINF(-3) + C(44) C(47)*TINF(-3) + C(44) C(47)*TINF(-3) + C(44) C(47)*TINF(-3) + C(44) Cobservations: 27 R-squared Adjusted R-squared	0.907685 0.204322 2.646986 7)*LNEXP(-1) ) + C(21)*TINF 4)*LNIMP(-2) + - C(28)*LNGDF 3) + C(32) 0.990809 0.978276 0.087849 2.758687 3)*LNEXP(-1) + C(37)*TINF(-1 (-2) + C(41)*TC 	S.D. depender Sum squared  + C(18)*LNGDF F(-1) + C(22)*LN C(25)*TCH(-2) P(-3) + C(29)*LN  Mean depender S.D. depender Sum squared  - C(34)*LNGDP ) + C(38)*LNEX CH(-2) + C(42)** + C(45)*LNIMP(  Mean depender S.D. depender	nt var resid P(-1) + C(19)*I IEXP(-2) + C( + C(26)*TINF IIMP(-3) + C(36)*I ent var resid (-1) + C(35)*L P(-2) + C(39)*I IINF(-2) + C(46)*T(36	0.672478 0.459222 LNIMP( 23) :(-2) + 30)*TCH( 25.35615 0.596026 0.084892 NIMP(-1) *LNGDP( 43) CH(-3) +
Adjusted R-squared S.E. of regression Durbin-Watson stat  Equation: LNGDP = C(1 -1) + C(20)*TCH(-1 *LNGDP(-2) + C(24 C(27)*LNEXP(-3) + -3) + C(31)*TINF(-3) CONTINE (-3) CONTI	0.907685 0.204322 2.646986 7)*LNEXP(-1) ) + C(21)*TINF 4)*LNIMP(-2) + - C(28)*LNGDF 3) + C(32) 0.990809 0.978276 0.087849 2.758687 3)*LNEXP(-1) + C(37)*TINF(-1 (-2) + C(41)*TC 4)*LNGDP(-3) + 5(48) 0.993057 0.983588 0.092565 2.505884	S.D. depender Sum squared  + C(18)*LNGDF F(-1) + C(22)*LN C(25)*TCH(-2) P(-3) + C(29)*LN  Mean depender S.D. depender Sum squared  - C(34)*LNGDP ) + C(38)*LNEX CH(-2) + C(42)** - C(45)*LNIMP(  Mean depender S.D. depender	nt var resid P(-1) + C(19)*I IEXP(-2) + C( + C(26)*TINF IIMP(-3) + C(36)*I ent var resid (-1) + C(35)*L P(-2) + C(39) TINF(-2) + C(46)*TO ent var nt var resid	0.672478 0.459222 LNIMP( 23) 5(-2) + 30)*TCH( 25.35615 0.596026 0.084892 NIMP(-1) *LNGDP( 43) CH(-3) + 24.05309 0.722547 0.094250
Adjusted R-squared S.E. of regression Durbin-Watson stat  Equation: LNGDP = C(1 -1) + C(20)*TCH(-1 *LNGDP(-2) + C(24 C(27)*LNEXP(-3) + -3) + C(31)*TINF(-3) Observations: 27 R-squared Adjusted R-squared S.E. of regression Durbin-Watson stat  Equation: LNIMP = C(33 + C(36)*TCH(-1) + -2) + C(40)*LNIMP(-3) + C(44) C(47)*TINF(-3) + C(44) C(47)*TINF(-3) + C(44) C(47)*TINF(-3) + C(44) Cobservations: 27 R-squared Adjusted R-squared S.E. of regression Durbin-Watson stat  Equation: TCH = C(49)*	0.907685 0.204322 2.646986 7)*LNEXP(-1) ) + C(21)*TINF 4)*LNIMP(-2) + - C(28)*LNGDF 3) + C(32) 0.990809 0.978276 0.087849 2.758687 3)*LNEXP(-1) + C(37)*TINF(-1 (-2) + C(41)*TC 4)*LNGDP(-3) + 5(48) 0.993057 0.983588 0.092565 2.505884 LNEXP(-1) + C	S.D. depender Sum squared  + C(18)*LNGDF F(-1) + C(22)*LN C(25)*TCH(-2) P(-3) + C(29)*LN  Mean depender S.D. depender Sum squared  - C(34)*LNGDP ) + C(38)*LNEX CH(-2) + C(42)** + C(45)*LNIMP(  Mean depender S.D. depender S.D. depender S.D. depender S.D. depender S.D. depender S.D. depender Sum squared	nt var resid P(-1) + C(19)*I IEXP(-2) + C( + C(26)*TINF IIMP(-3) + C(36)*I ent var resid (-1) + C(35)*L P(-2) + C(39) TINF(-2) + C(46)*TO ent var nt var resid ent var resid	0.672478 0.459222 LNIMP( 23) 5(-2) + 30)*TCH( 25.35615 0.596026 0.084892 NIMP(-1) *LNGDP( 43) CH(-3) + 24.05309 0.722547 0.094250 MP(-1) +
Adjusted R-squared S.E. of regression Durbin-Watson stat  Equation: LNGDP = C(1 -1) + C(20)*TCH(-1 *LNGDP(-2) + C(24 C(27)*LNEXP(-3) + -3) + C(31)*TINF(-3) Observations: 27 R-squared Adjusted R-squared S.E. of regression Durbin-Watson stat  Equation: LNIMP = C(33 + C(36)*TCH(-1) + -2) + C(40)*LNIMP(-3) + C(44) C(47)*TINF(-3) + C(44) C(47)*TINF(-3) + C(44) C(47)*TINF(-3) + C(44) C(47)*TINF(-3) + C(44) C(52)*TCH(-1) + C(52)*TCH(-1) + C(52)*TCH(-1) + C(52)*TCH(-1) + C(49)* C(52)*TCH(-1) + C(49)*	0.907685 0.204322 2.646986 7)*LNEXP(-1) ) + C(21)*TINF 4)*LNIMP(-2) + - C(28)*LNGDF 3) + C(32) 0.990809 0.978276 0.087849 2.758687 3)*LNEXP(-1) + C(37)*TINF(-1 (-2) + C(41)*TC 4)*LNGDP(-3) + 5(48) 0.993057 0.983588 0.092565 2.505884 LNEXP(-1) + C (53)*TINF(-1) +	S.D. depender Sum squared  + C(18)*LNGDF F(-1) + C(22)*LN C(25)*TCH(-2) P(-3) + C(29)*LN  Mean depender S.D. depender Sum squared  - C(34)*LNGDP ) + C(38)*LNEX CH(-2) + C(42)** + C(45)*LNIMP(  Mean depender S.D. depender S.D. depender S.D. depender S.D. depender S.D. depender Sum squared	nt var resid P(-1) + C(19)*I IEXP(-2) + C( + C(26)*TINF IIMP(-3) + C(36)*I ent var resid (-1) + C(35)*L P(-2) + C(39) TINF(-2) + C(46)*TO ent var resid ent var resid ont var resid	0.672478 0.459222 LNIMP( 23) 5(-2) + 30)*TCH( 25.35615 0.596026 0.084892 NIMP(-1) *LNGDP( 43) CH(-3) + 24.05309 0.722547 0.094250 MP(-1) + NGDP(
Adjusted R-squared S.E. of regression Durbin-Watson stat  Equation: LNGDP = C(1 -1) + C(20)*TCH(-1 *LNGDP(-2) + C(24 C(27)*LNEXP(-3) + -3) + C(31)*TINF(-3 Observations: 27 R-squared Adjusted R-squared S.E. of regression Durbin-Watson stat  Equation: LNIMP = C(33 + C(36)*TCH(-1) + -2) + C(40)*LNIMP(-3) + C(44 C(47)*TINF(-3) + C(44 C(47)*TINF(-3) + C(44 C(47)*TINF(-3) + C(44) C(47)*TINF(-3) + C(44) C(52)*TCH(-1) + C(52)*TCH(-1)	0.907685 0.204322 2.646986 7)*LNEXP(-1) ) + C(21)*TINF 4)*LNIMP(-2) + - C(28)*LNGDF 3) + C(32) 0.990809 0.978276 0.087849 2.758687 3)*LNEXP(-1) + C(37)*TINF(-1 (-2) + C(41)*TC 4)*LNGDP(-3) + 5(48) 0.993057 0.983588 0.092565 2.505884 LNEXP(-1) + C (53)*TINF(-1) + (-2) + C(57)*TC	S.D. depender Sum squared  + C(18)*LNGDF F(-1) + C(22)*LN C(25)*TCH(-2) P(-3) + C(29)*LN  Mean depender S.D. depender Sum squared  - C(34)*LNGDP ) + C(38)*LNEX CH(-2) + C(42)* + C(45)*LNIMP(  Mean depender S.D. depender S.D. depender S.D. depender S.D. depender S.D. depender S.D. depender Sum squared  C(50)*LNGDP(-1) C(54)*LNEXP CH(-2) + C(54)*LNEXP CH(-2) + C(58)*	nt var resid P(-1) + C(19)*I IEXP(-2) + C( + C(26)*TINF IIMP(-3) + C(36)*I ent var resid (-1) + C(35)*L P(-2) + C(39) TINF(-2) + C(46)*TO ent var resid ent var resid (-1) + C(51)*LNI (-2) + C(55)*L TINF(-2) + C(55)*L TINF(-2) + C(55)*L	0.672478 0.459222 LNIMP( 23) 5(-2) + 30)*TCH( 25.35615 0.596026 0.084892 NIMP(-1) *LNGDP( 43) CH(-3) + 24.05309 0.722547 0.094250 MP(-1) + NGDP( 59)
Adjusted R-squared S.E. of regression Durbin-Watson stat  Equation: LNGDP = C(1 -1) + C(20)*TCH(-1 *LNGDP(-2) + C(24 C(27)*LNEXP(-3) + -3) + C(31)*TINF(-3) Observations: 27 R-squared Adjusted R-squared S.E. of regression Durbin-Watson stat  Equation: LNIMP = C(33 + C(36)*TCH(-1) + -2) + C(40)*LNIMP(-3) + C(44) C(47)*TINF(-3) + C(44) C(47)*TINF(-3) + C(44) C(47)*TINF(-3) + C(44) C(47)*TINF(-3) + C(44) C(52)*TCH(-1) + C(52)*TCH(-1) + C(52)*TCH(-1) + C(52)*TCH(-1) + C(49)* C(52)*TCH(-1) + C(49)*	0.907685 0.204322 2.646986 7)*LNEXP(-1) ) + C(21)*TINF 4)*LNIMP(-2) + - C(28)*LNGDF 3) + C(32) 0.990809 0.978276 0.087849 2.758687 3)*LNEXP(-1) + C(37)*TINF(-1 (-2) + C(41)*TC 4)*LNGDP(-3) + 5(48) 0.993057 0.983588 0.092565 2.505884 LNEXP(-1) + C (53)*TINF(-1) + (-2) + C(57)*TC 0)*LNGDP(-3) +	S.D. depender Sum squared  + C(18)*LNGDF F(-1) + C(22)*LN C(25)*TCH(-2) P(-3) + C(29)*LN  Mean depender S.D. depender Sum squared  - C(34)*LNGDP ) + C(38)*LNEX CH(-2) + C(42)* + C(45)*LNIMP(  Mean depender S.D. depender S.D. depender S.D. depender S.D. depender S.D. depender S.D. depender Sum squared  C(50)*LNGDP(-1) C(54)*LNEXP CH(-2) + C(54)*LNEXP CH(-2) + C(58)*	nt var resid P(-1) + C(19)*I IEXP(-2) + C( + C(26)*TINF IIMP(-3) + C(36)*I ent var resid (-1) + C(35)*L P(-2) + C(39) TINF(-2) + C(46)*TO ent var resid ent var resid (-1) + C(51)*LNI (-2) + C(55)*L TINF(-2) + C(55)*L TINF(-2) + C(55)*L	0.672478 0.459222 LNIMP( 23) 5(-2) + 30)*TCH( 25.35615 0.596026 0.084892 NIMP(-1) *LNGDP( 43) CH(-3) + 24.05309 0.722547 0.094250 MP(-1) + NGDP( 59)
Adjusted R-squared S.E. of regression Durbin-Watson stat  Equation: LNGDP = C(1 -1) + C(20)*TCH(-1 *LNGDP(-2) + C(24 C(27)*LNEXP(-3) + -3) + C(31)*TINF(-3) Cobservations: 27  R-squared Adjusted R-squared S.E. of regression Durbin-Watson stat  Equation: LNIMP = C(33 + C(36)*TCH(-1) + -2) + C(40)*LNIMP(-3) + C(47)*TINF(-3) + C(44 C(47)*TINF(-3) + C(52)*TCH(-1) + C(52)*TCH(-1) + C(52)*TCH(-1) + C(52)*TCH(-1) + C(53)*TINF(-3) + C(60)*C(63)*TINF(-3) + C(60)*C(63	0.907685 0.204322 2.646986 7)*LNEXP(-1) ) + C(21)*TINF 4)*LNIMP(-2) + - C(28)*LNGDF 3) + C(32) 0.990809 0.978276 0.087849 2.758687 3)*LNEXP(-1) + C(37)*TINF(-1 (-2) + C(41)*TC 4)*LNGDP(-3) + 5(48) 0.993057 0.983588 0.092565 2.505884 LNEXP(-1) + C (53)*TINF(-1) + (-2) + C(57)*TC 0)*LNGDP(-3) +	S.D. depender Sum squared  + C(18)*LNGDF F(-1) + C(22)*LN C(25)*TCH(-2) P(-3) + C(29)*LN  Mean depender S.D. depender Sum squared  - C(34)*LNGDP ) + C(38)*LNEX CH(-2) + C(42)** - C(45)*LNIMP(  Mean depender S.D. depender S.D. depender S.D. depender Sum squared  C(50)*LNGDP(-1) - C(54)*LNEXP CH(-2) + C(58)** - C(61)*LNIMP(	nt var resid P(-1) + C(19)*I IEXP(-2) + C( + C(26)*TINF IIMP(-3) + C(36)*I ent var resid (-1) + C(35)*L P(-2) + C(39) TINF(-2) + C(46)*T(36) ent var resid ent var resid ) + C(51)*LNI (-2) + C(55)*L TINF(-2) + C(62)*T(36) TINF(-2) + C(62)*T(36)	0.672478 0.459222 LNIMP( 23) 5(-2) + 30)*TCH( 25.35615 0.596026 0.084892 NIMP(-1) *LNGDP( 43) CH(-3) + 24.05309 0.722547 0.094250 MP(-1) + NGDP( 59) CH(-3) +
Adjusted R-squared S.E. of regression Durbin-Watson stat  Equation: LNGDP = C(1 -1) + C(20)*TCH(-1 *LNGDP(-2) + C(24 C(27)*LNEXP(-3) + -3) + C(31)*TINF(-3) Cobservations: 27  R-squared Adjusted R-squared S.E. of regression Durbin-Watson stat  Equation: LNIMP = C(33 + C(36)*TCH(-1) + -2) + C(40)*LNIMP(-3) + C(47)*TINF(-3) + C(44 C(47)*TINF(-3) + C(47)*TINF(-3) + C(47)*TINF(-3) + C(52)*TCH(-1) + C(52)*TCH(-1) + C(52)*TCH(-1) + C(52)*TCH(-1) + C(52)*TCH(-1) + C(60)*C(63)*TINF(-3) + C(60)*TINF(-3)	0.907685 0.204322 2.646986 7)*LNEXP(-1) ) + C(21)*TINF 4)*LNIMP(-2) + - C(28)*LNGDF 3) + C(32) 0.990809 0.978276 0.087849 2.758687 3)*LNEXP(-1) + C(37)*TINF(-1 (-2) + C(41)*TC 4)*LNGDP(-3) + 5(48) 0.993057 0.983588 0.092565 2.505884 LNEXP(-1) + C (53)*TINF(-1) + (-2) + C(57)*TC 0)*LNGDP(-3) +	S.D. depender Sum squared  + C(18)*LNGDF F(-1) + C(22)*LN C(25)*TCH(-2) P(-3) + C(29)*LN  Mean depender S.D. depender Sum squared  - C(34)*LNGDP ) + C(38)*LNEX CH(-2) + C(42)* + C(45)*LNIMP(  Mean depender S.D. depender S.D. depender S.D. depender S.D. depender S.D. depender S.D. depender Sum squared  C(50)*LNGDP(-1) C(54)*LNEXP CH(-2) + C(54)*LNEXP CH(-2) + C(58)*	nt var resid P(-1) + C(19)*I IEXP(-2) + C( + C(26)*TINF IIMP(-3) + C(36)*I ent var resid (-1) + C(35)*L P(-2) + C(39) TINF(-2) + C(46)*T(36) ent var resid ent var resid ) + C(51)*LNI (-2) + C(55)*L TINF(-2) + C(62)*T(36) TINF(-2) + C(62)*T(36)	0.672478 0.459222 LNIMP( 23) 5(-2) + 30)*TCH( 25.35615 0.596026 0.084892 NIMP(-1) *LNGDP( 43) CH(-3) + 24.05309 0.722547 0.094250 MP(-1) + NGDP( 59)

Adjusted R-squared0.964268S.D. dependent var8.146978S.E. of regression1.540024Sum squared resid26.08843

Durbin-Watson stat 2.255913

$$\begin{split} & \text{Equation: TINF} = \text{C}(65)^*\text{LNEXP}(-1) + \text{C}(66)^*\text{LNGDP}(-1) + \text{C}(67)^*\text{LNIMP}(-1) + \\ & \text{C}(68)^*\text{TCH}(-1) + \text{C}(69)^*\text{TINF}(-1) + \text{C}(70)^*\text{LNEXP}(-2) + \text{C}(71)^*\text{LNGDP}(\\ & -2) + \text{C}(72)^*\text{LNIMP}(-2) + \text{C}(73)^*\text{TCH}(-2) + \text{C}(74)^*\text{TINF}(-2) + \text{C}(75) \\ & ^*\text{LNEXP}(-3) + \text{C}(76)^*\text{LNGDP}(-3) + \text{C}(77)^*\text{LNIMP}(-3) + \text{C}(78)^*\text{TCH}(-3) + \\ & \text{C}(79)^*\text{TINF}(-3) + \text{C}(80) \end{split}$$

Observations: 27

R-squared	0.819793	Mean dependent var	6.367630
Adjusted R-squared	0.574056	S.D. dependent var	7.434954
S.E. of regression	4.852379	Sum squared resid	259.0014
Durbin-Watson stat	1.685022		